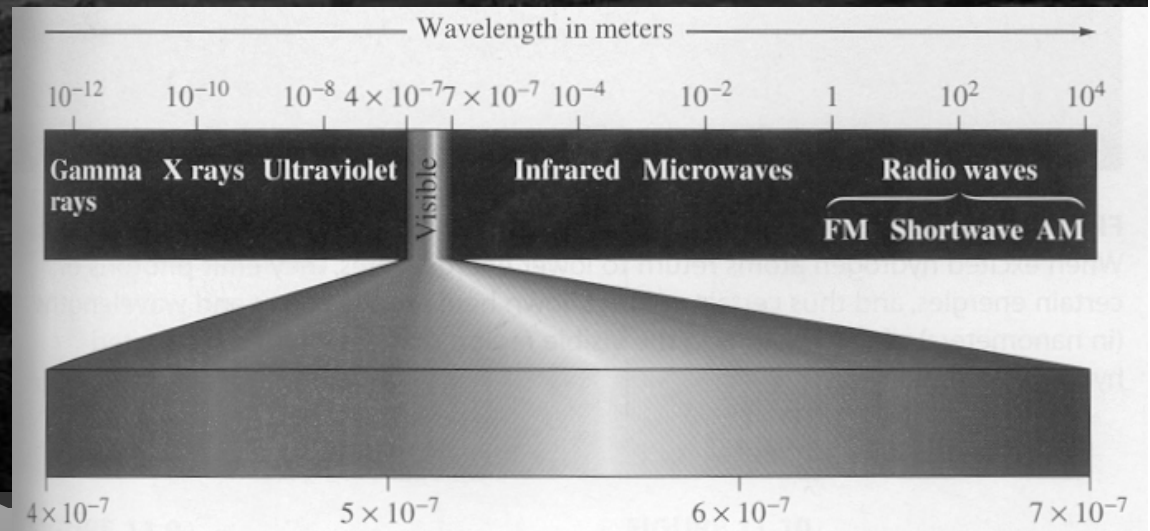


Fotorecepce



Využití vlastností světla a jeho absorpce při průchodu a odrazu.
Zrakem až 90% informací.

Tvar, barva, umístění v prostoru, rychlost a směr pohybu.



Proteiny teprve ve spojení s chromoforem – část molekuly odpovědná za absorpci záření (také zvaná prostetická skupina – nebílkovinná sl.) mohou absorbovat viditelné spektrum.

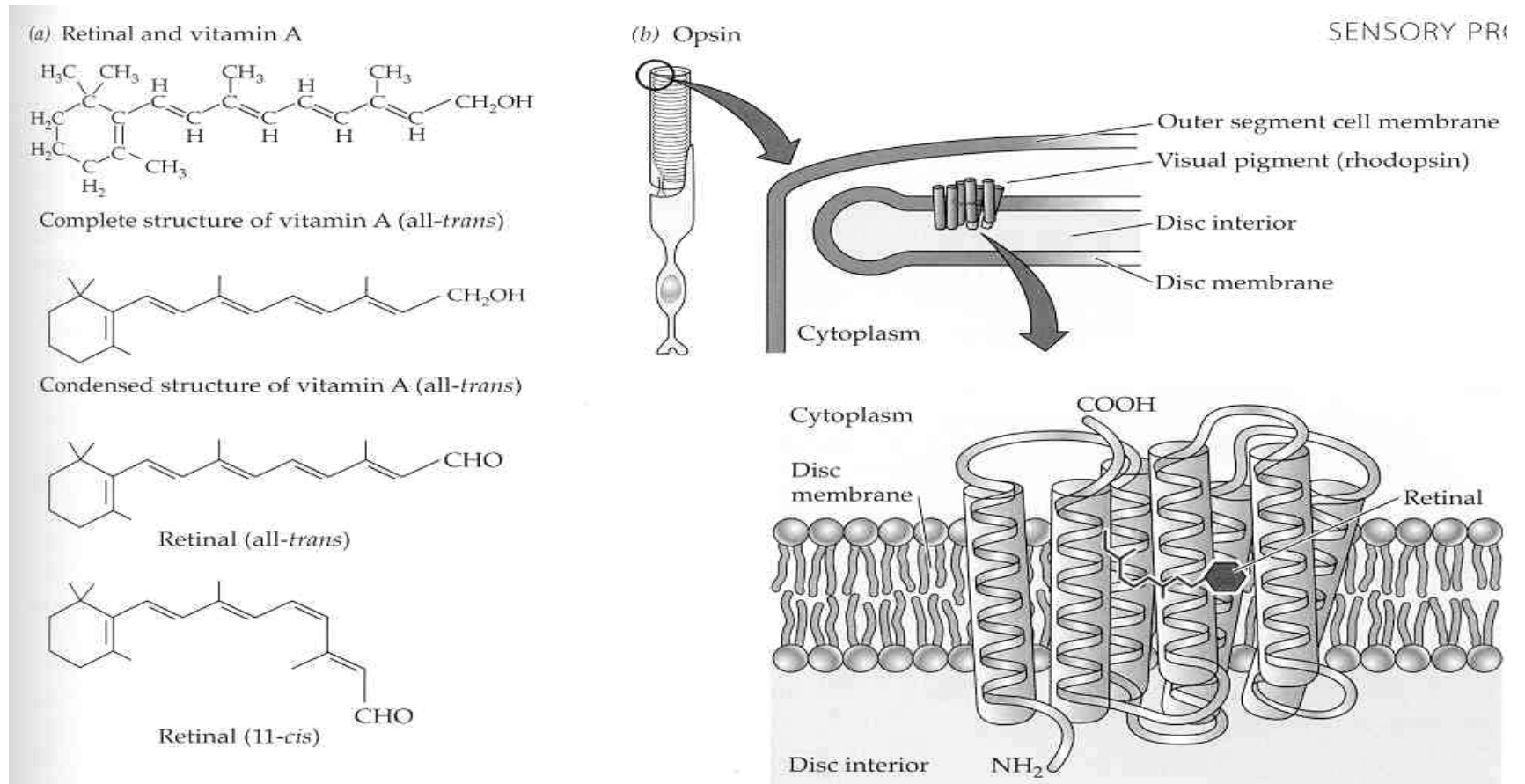


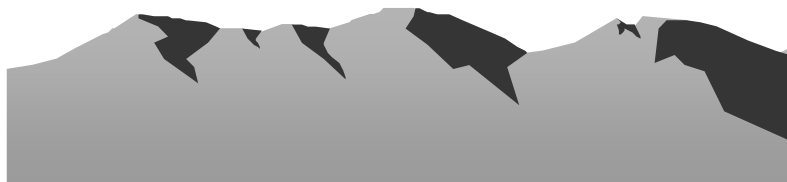
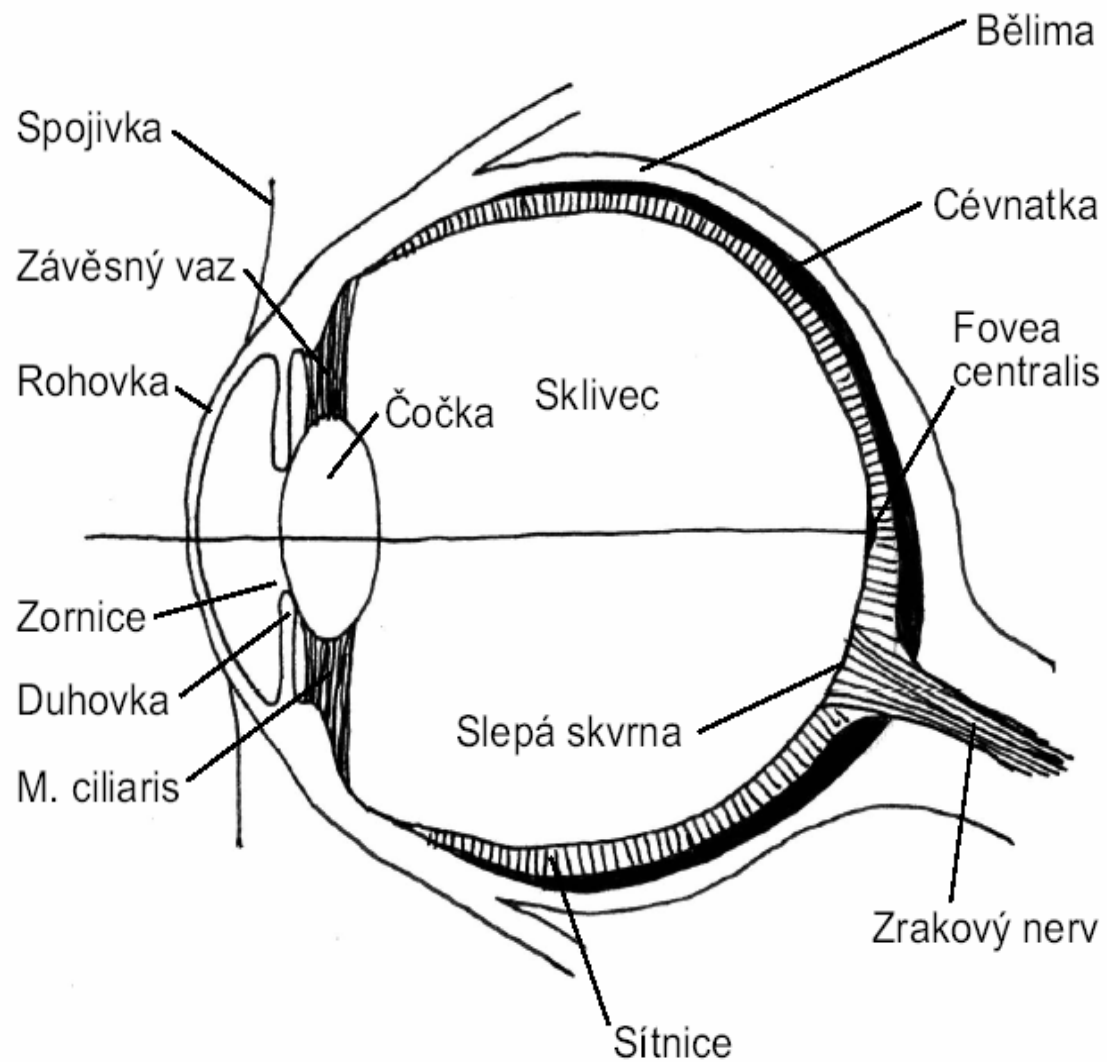
Figure 13.13 Rhodopsin is a photopigment composed of two parts: retinal and opsin
 (a) Chemical structures of vitamin A and of retinal. Vitamin A is shown both as a complete structure (top) and as a skeleton structure (middle). Vitamin A is converted to retinal, which has two isomers (11-cis and all-trans). (b) Three-dimensional structure of the protein (opsin) portion of vertebrate rhodopsin. Seven α -helical regions of the protein span the membrane; retinal is attached to an amino acid residue within the seventh membrane-spanning region.

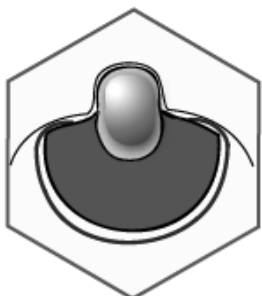
- Optický systém oka
- Fotoreceptory sítnice
- Optická dráha
- Korová zraková oblast

David Hubel's web page



Od bakterií schopnost detekce.
Komorové oko – dokonalý optický nástroj





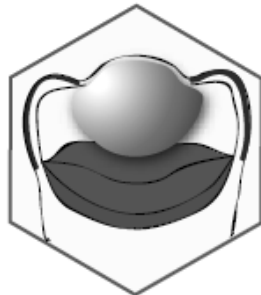
čtyřhranka



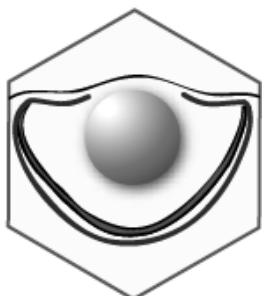
oliheň



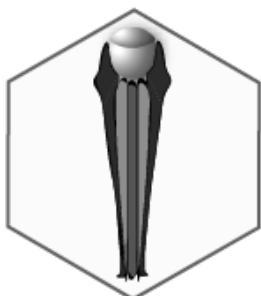
myš



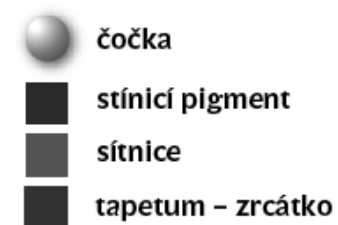
hřebenatka



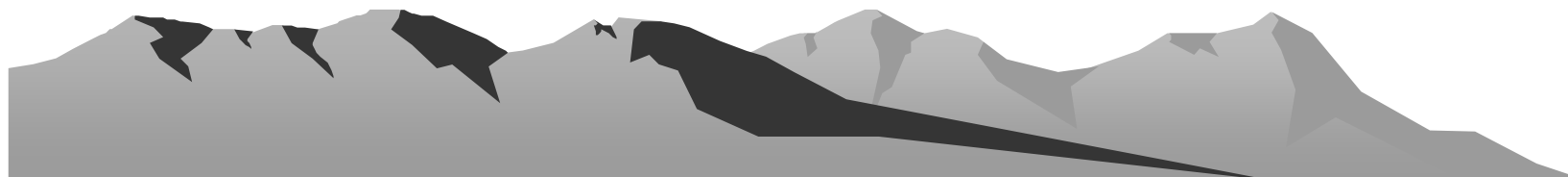
zebříčka



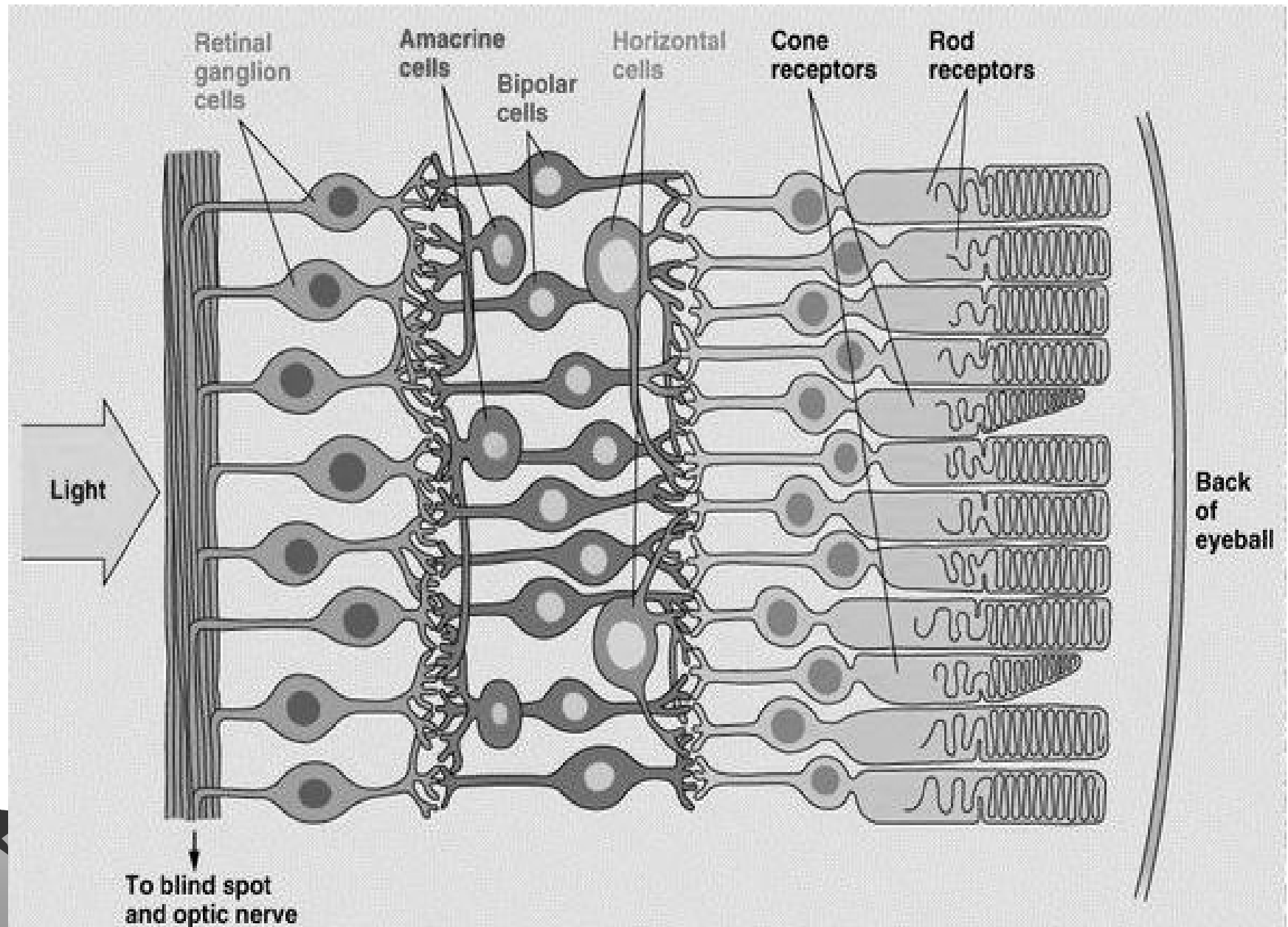
octomilka

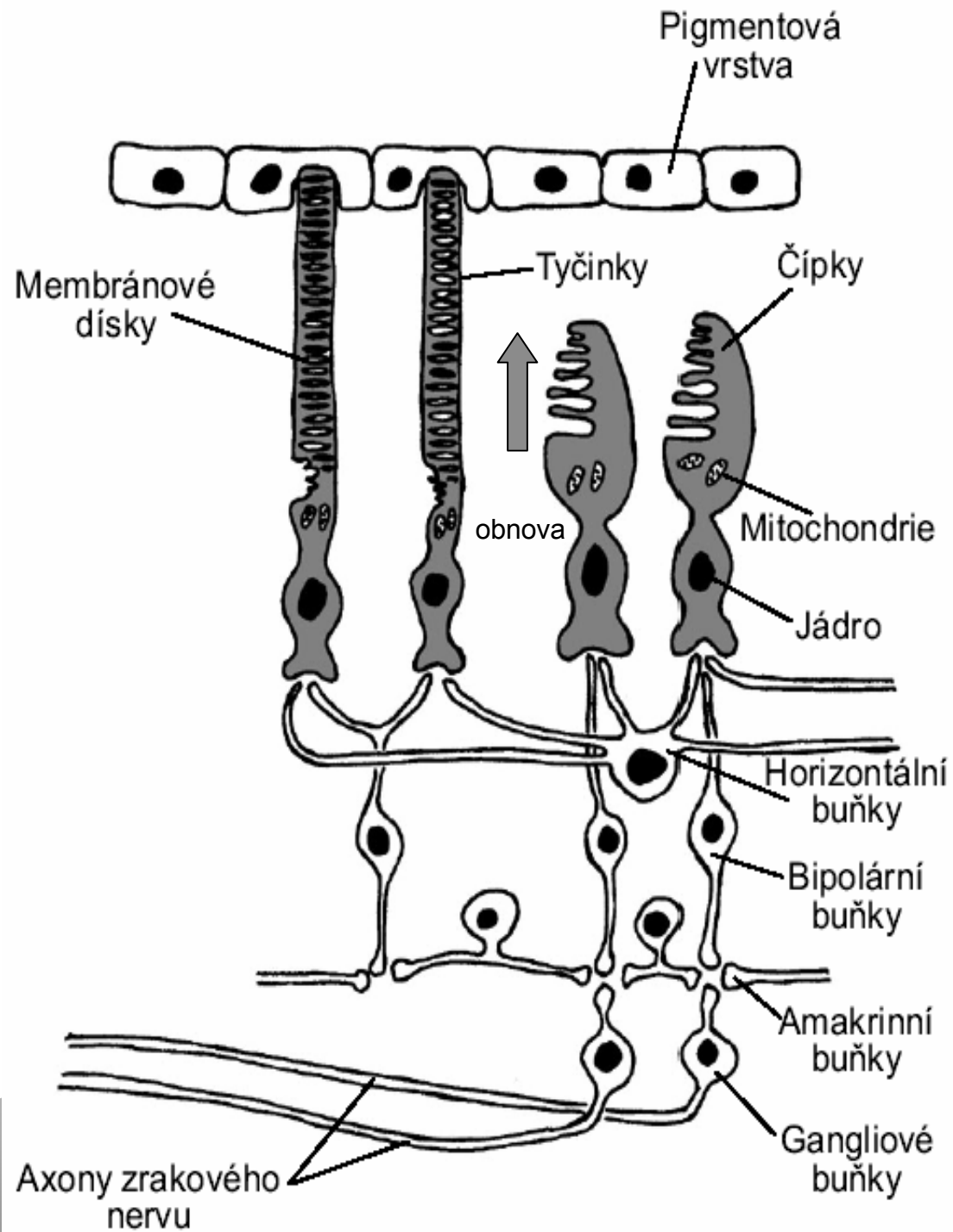


1. Šest modelových organismů a šest různých typů očí. Fotografie živočicha je vždy doplněna o schematizovaný průřez jeho okem. Snímky © Kristýna Marková-Jonášová, Jana Růžičková, Roger Hanlon a Marek Jindra.

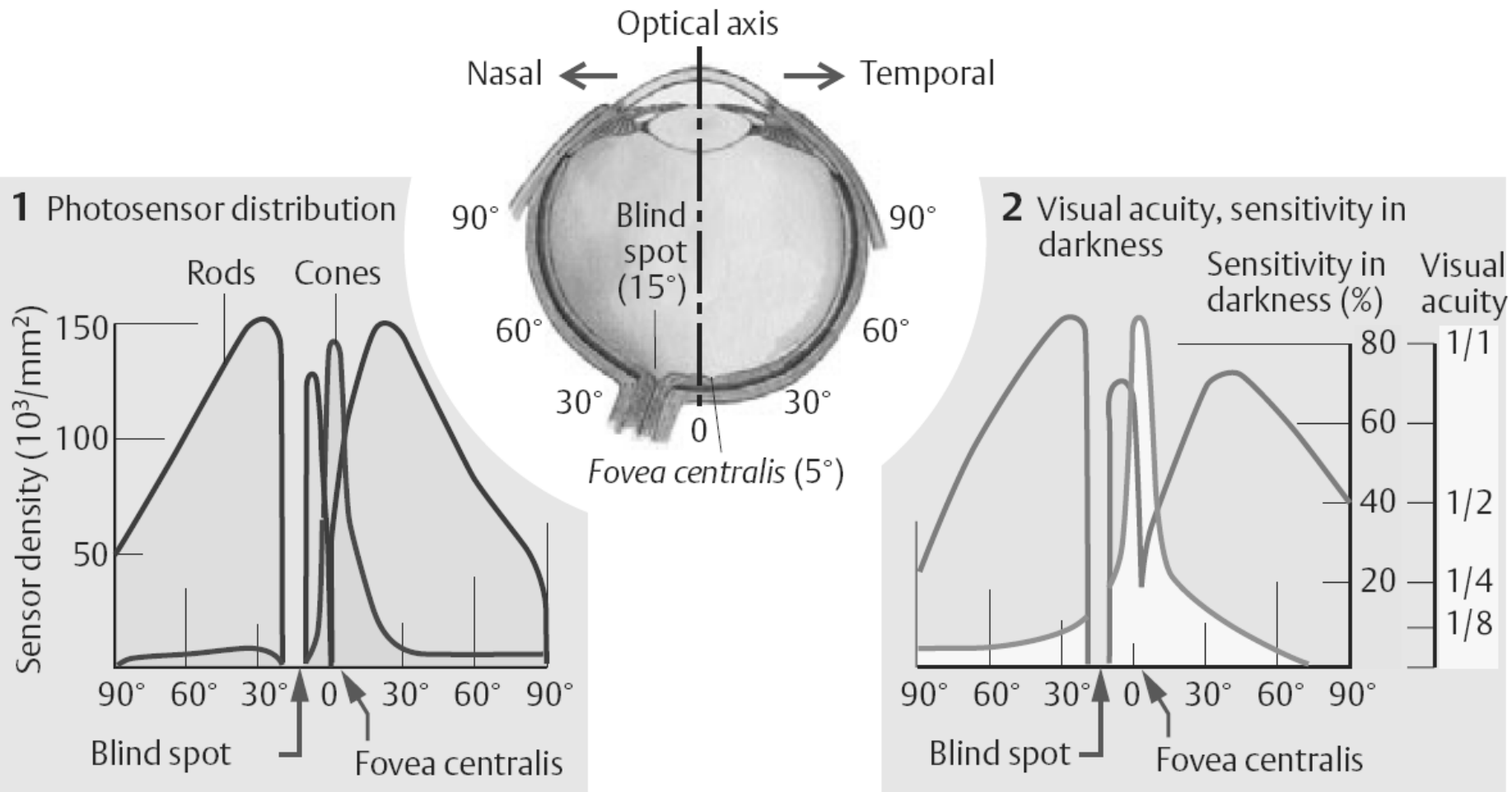


Inverzní sítnice savců.
120 mil. tyčinek, 6 mil. čípků.





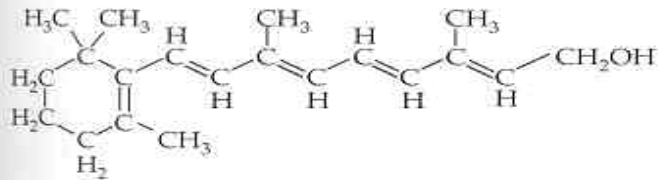
B. Retina: Photosensor distribution, sensitivity in darkness and visual acuity



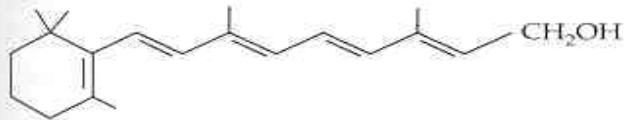
RGB čípky, ale jen RG ve fovei.

Absorbce světla - Karotenoidy (vit.A) a pyrolové kruhy

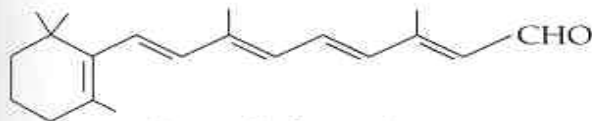
(a) Retinal and vitamin A



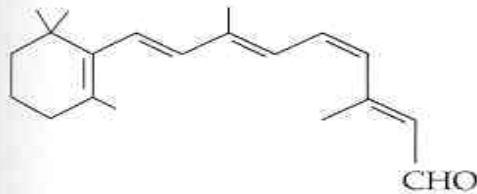
Complete structure of vitamin A (all-trans)



Condensed structure of vitamin A (all-trans)

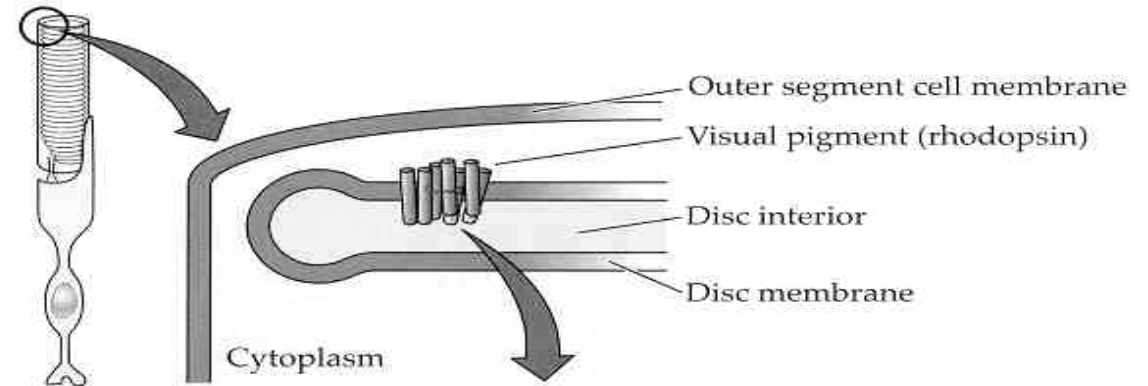


Retinal (all-trans)



Retinal (11-cis)

(b) Opsin



SENSORY PR

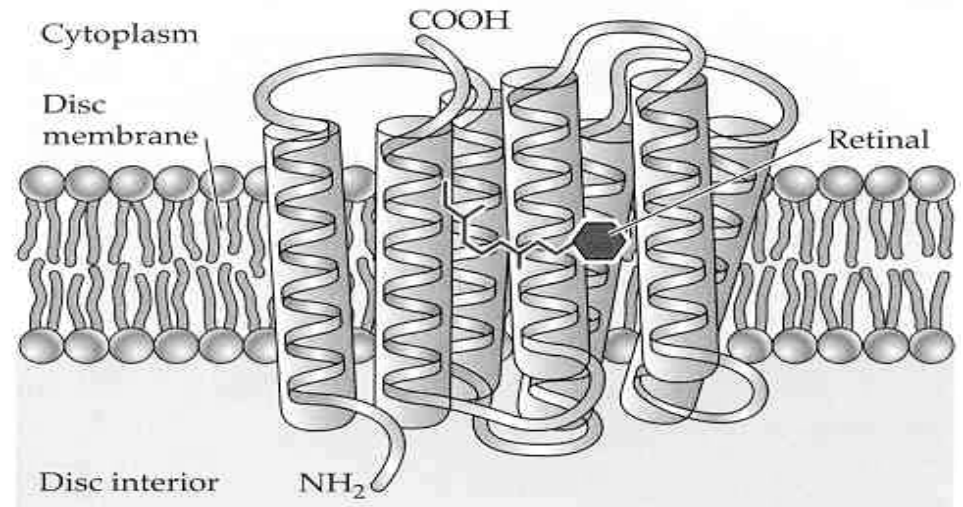
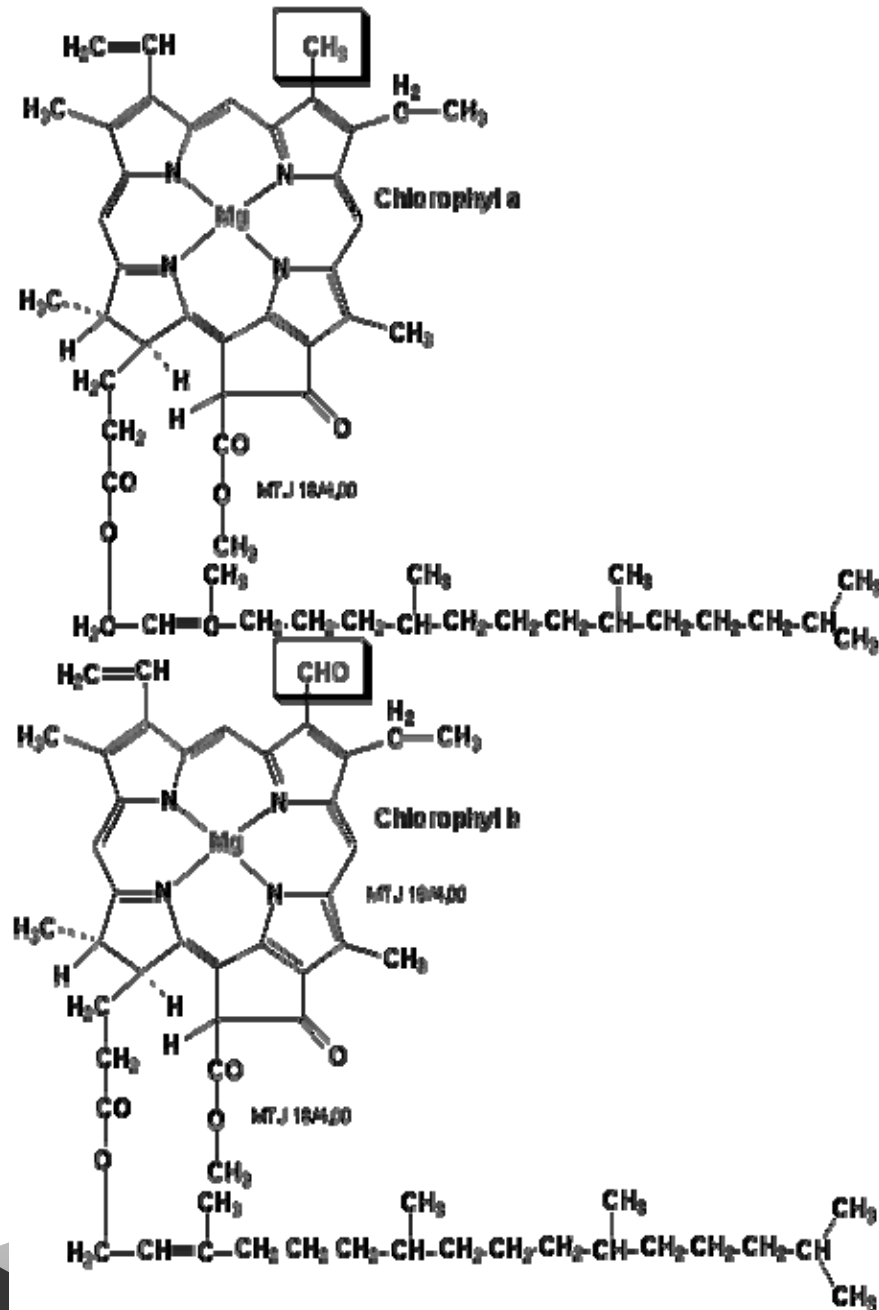


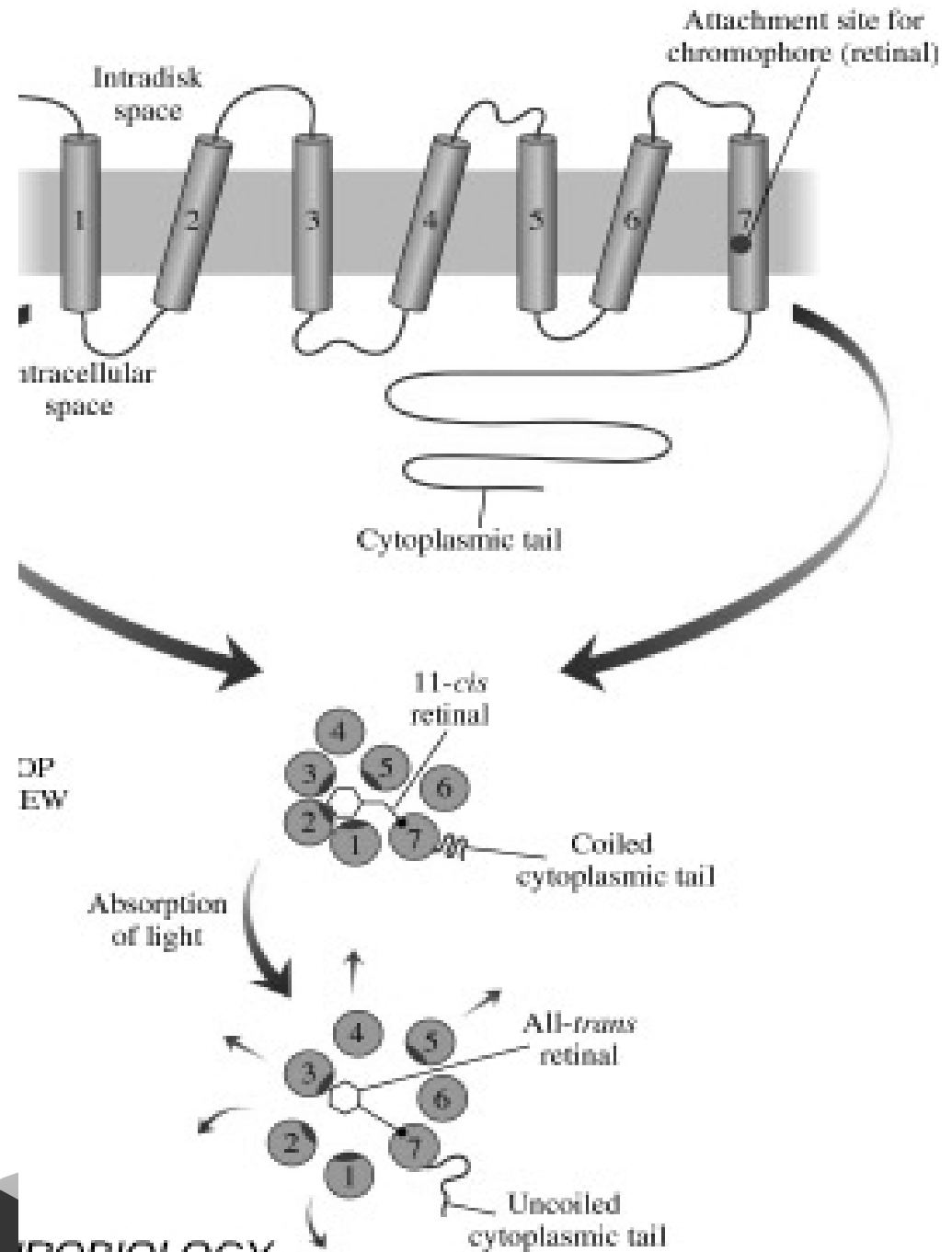
Figure 13.13 Rhodopsin is a photopigment composed of two parts: retinal and opsin
 (a) Chemical structures of vitamin A and of retinal. Vitamin A is shown both as a complete structure (top) and as a skeleton structure (middle). Vitamin A is converted to retinal, which has two isomers (11-cis and all-trans). (b) Three-dimensional structure of the protein (opsin) portion of vertebrate rhodopsin. Seven α -helical regions of the protein span the membrane; retinal is attached to an amino acid residue within the seventh membrane-spanning region.

Video cis - trans

Absorbce světla - Karotenoidy
(vit.A) a pyrolové kruhy
(chlorofyl)



Spolupráce chromoforu retinalu a apoproteinu opsinu.



Video aktivace rhodopsinu

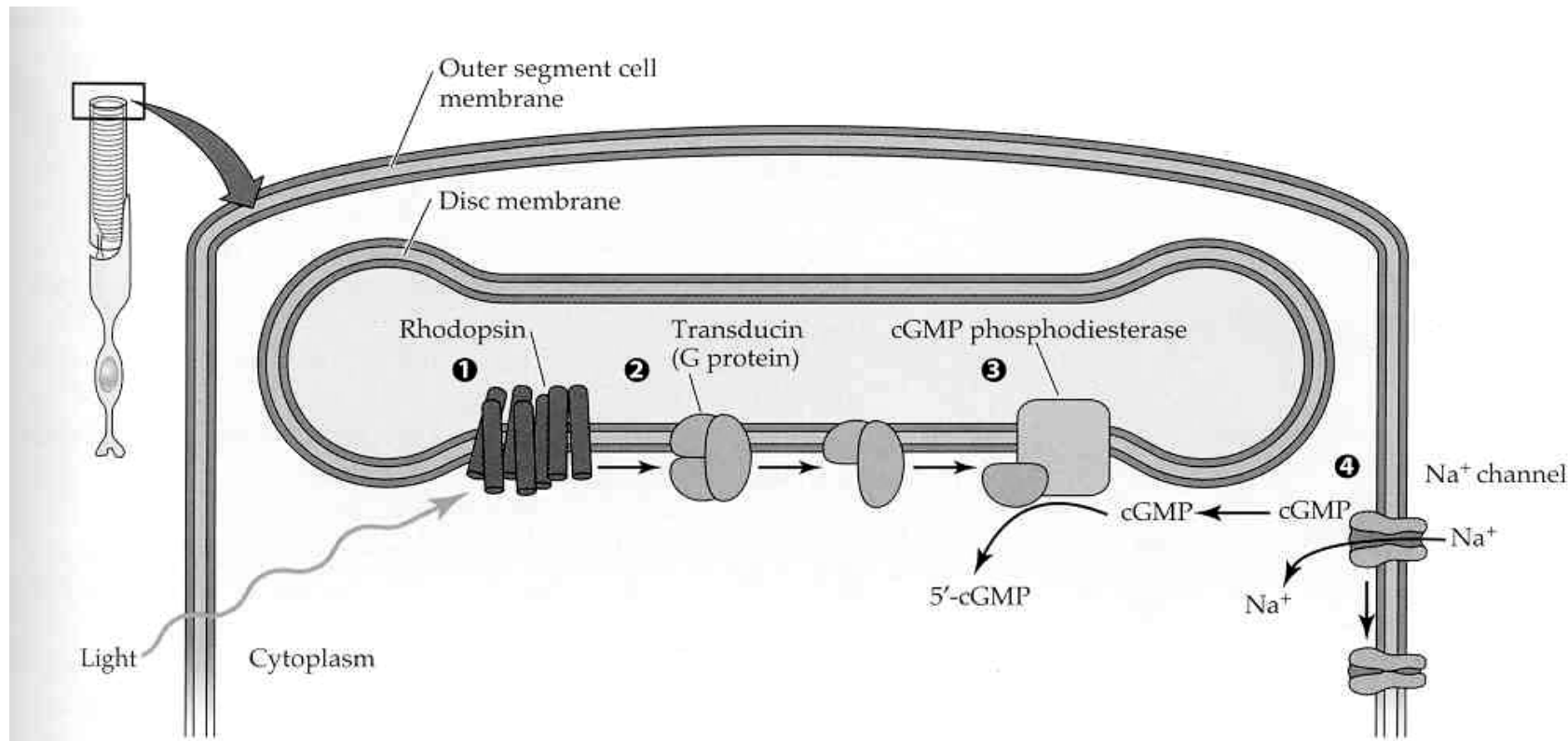
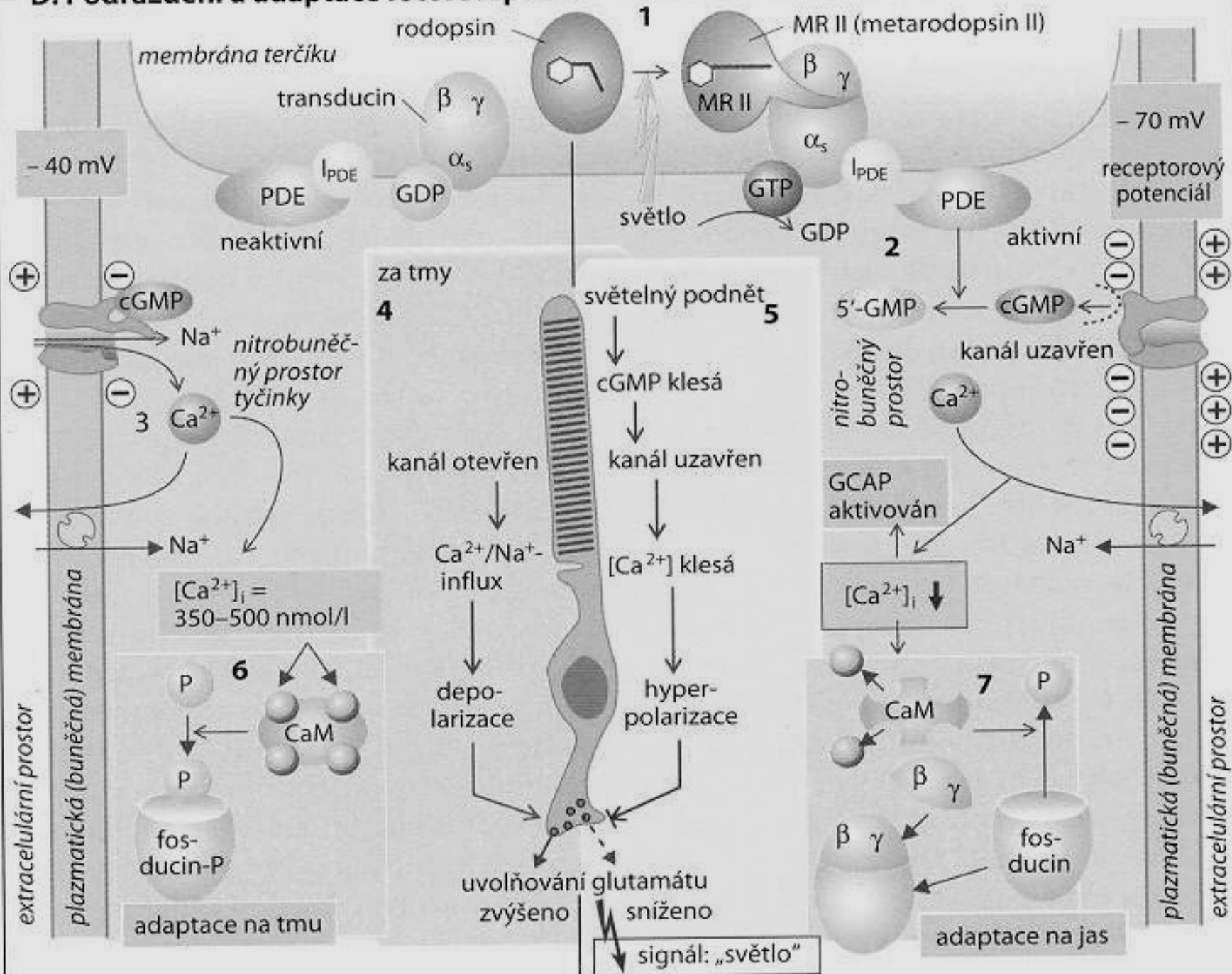


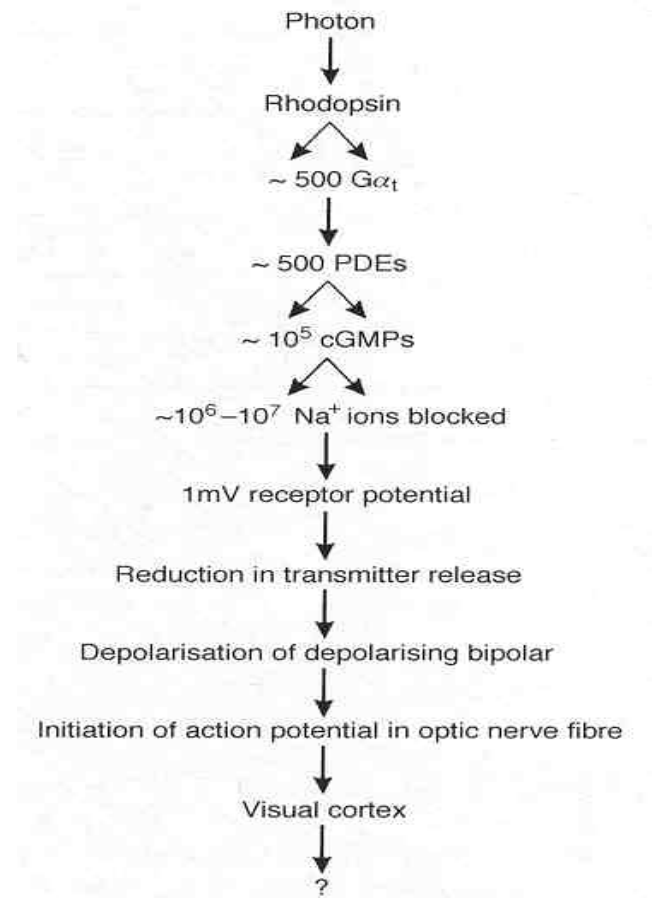
Figure 13.14 Phototransduction closes cation channels in the outer segment of the photoreceptor membrane In the dark, the cation channels are kept open by intracellular cGMP and conduct an inward current, carried largely by Na⁺. When light strikes the photoreceptor, these channels are closed by a G protein–coupled mechanism. **1** Rhodopsin molecules in the disc membrane absorb light and are acti-

vated. **2** The activated rhodopsin stimulates a G protein (transducin in rods), which in turn activates cGMP phosphodiesterase. **3** The phosphodiesterase catalyzes the breakdown of cGMP to 5'-GMP. **4** As the cGMP concentration decreases, cGMP detaches from the cation channels, which close.

D. Podráždění a adaptace fotoreceptorů



Zesílení



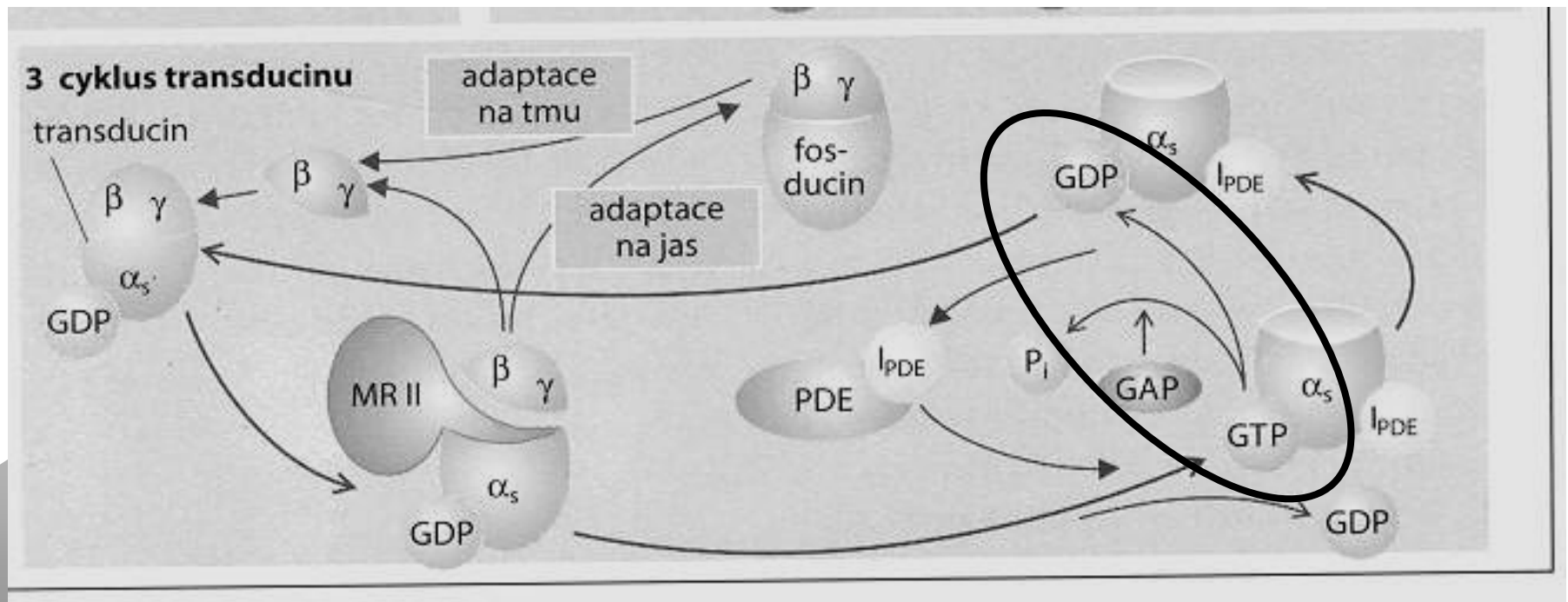
Řada zpětných vazeb:

- Vypnutí – Arestin v G-prot. signalizaci, Ca
- Adaptace – rozsah od 1 po 10^6 fotonů / sec, úloha Ca iontů (čich, sluch)
- Regenerace

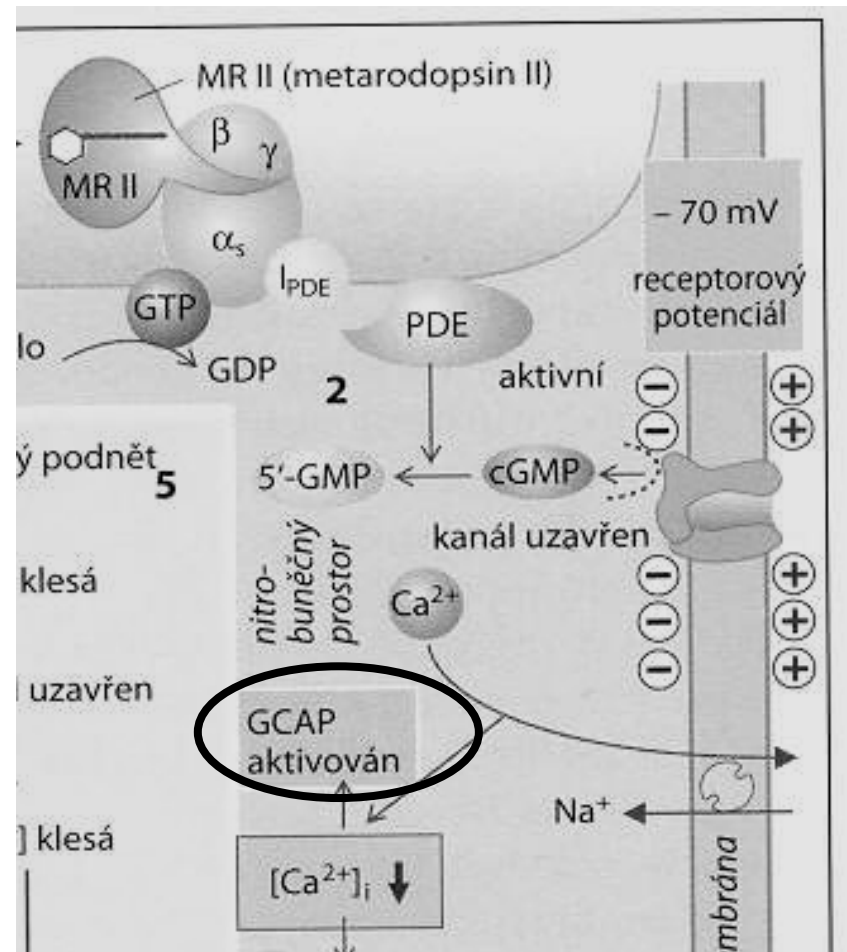


Inaktivace:

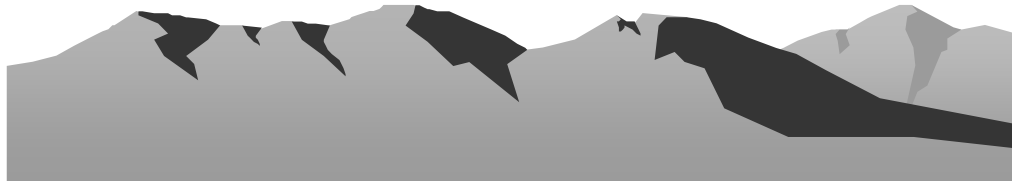
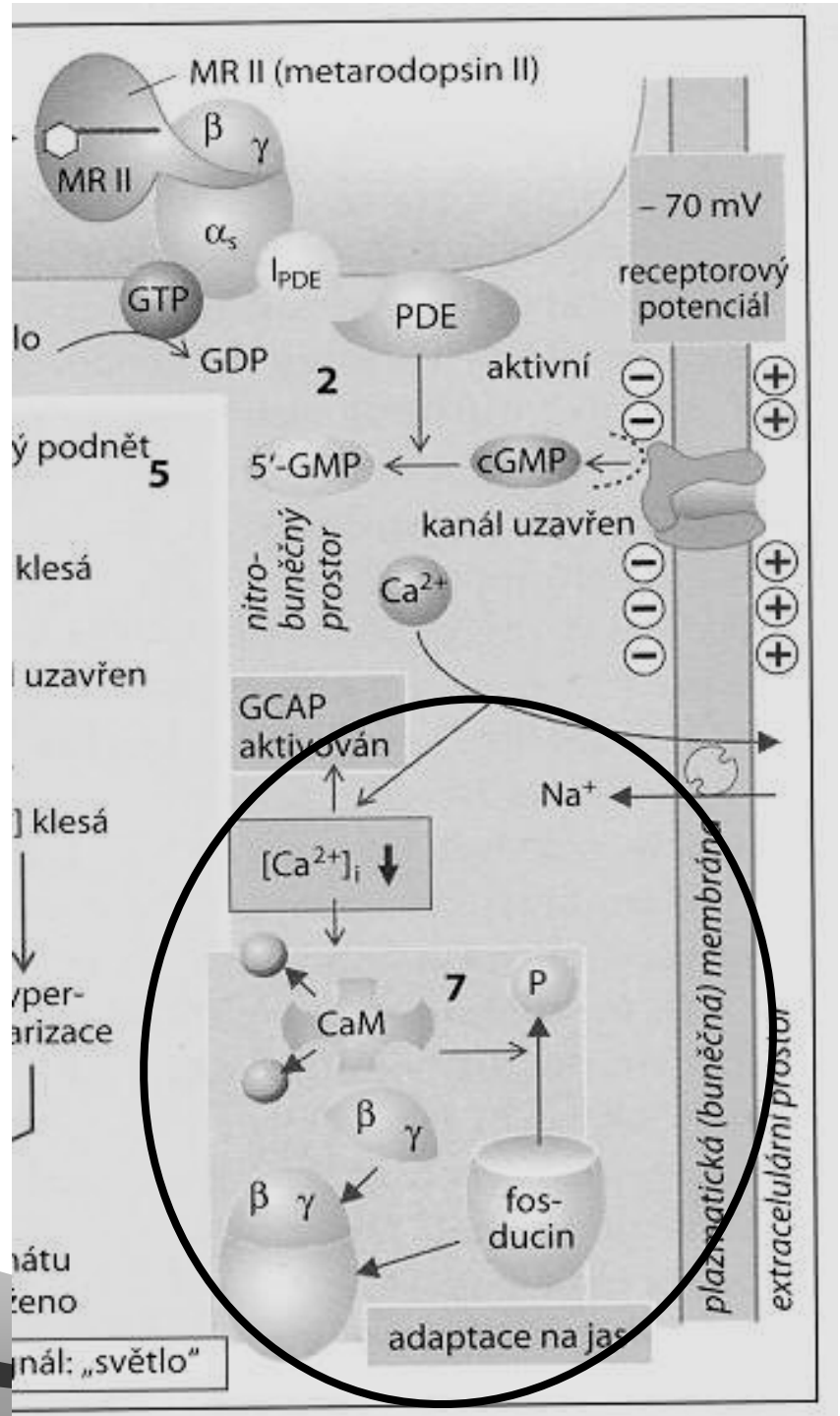
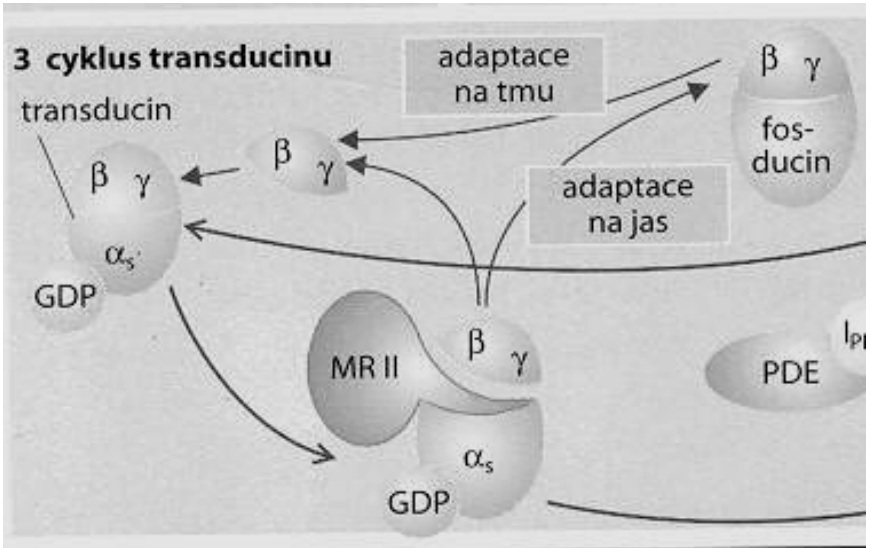
Samozhasnutí alfa Transducinu. Vlastní aktivitou štěpí GTP na GDP.



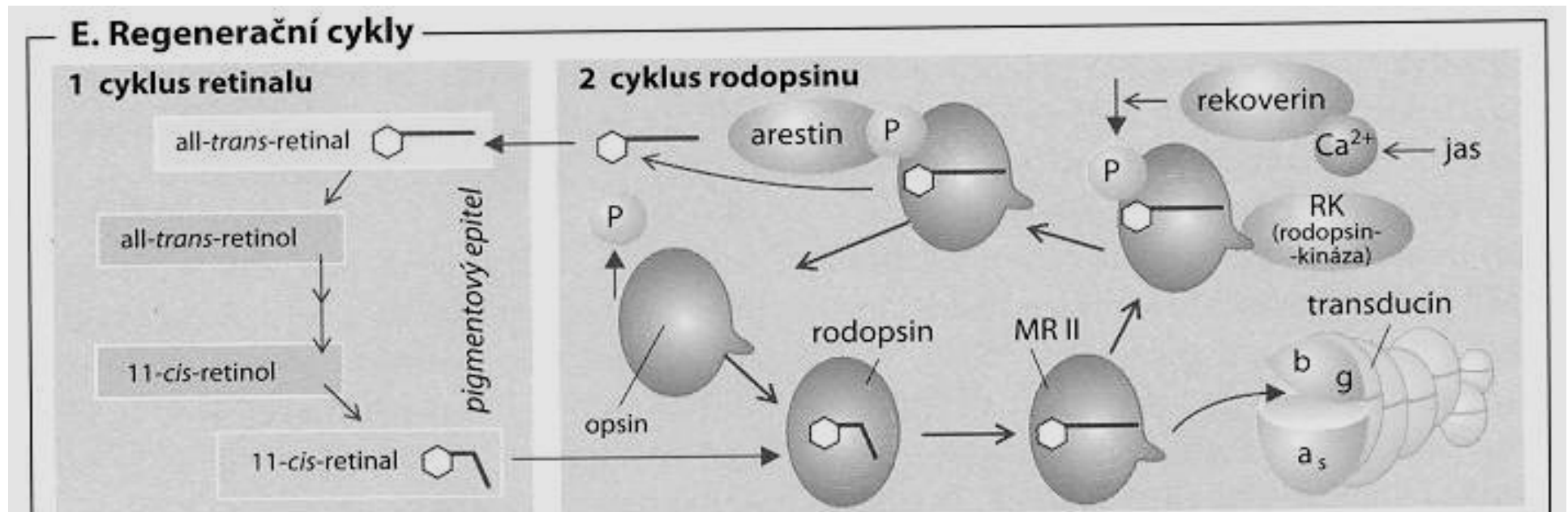
Inaktivace:
GCAP (guanylyl cyclase activating
Protein) ztratí 4 Ca a aktivuje GC. Ta
zvýší cGMP a kanály se zase otevřou



Adaptace:
 Soutěž mezi fosducinem a alfa podjednotkou o beta a gama pod.
 Ve světle je váže a tak blokuje regeneraci transducinu



Regenerace retinalu v pigmentovém epitelu



Inaktivace:

MR II odhalí vazebné místo RK. Fosforyluje se, naváže arestin a dál už nereaguje s transducinem. All-trans-retinal se oddělí.

Ca adaptace:

Rekovertin citlivý na Ca se podílí na redukci životnosti rodopsinu



Regenerace retinalu v pigmentovém epitelu

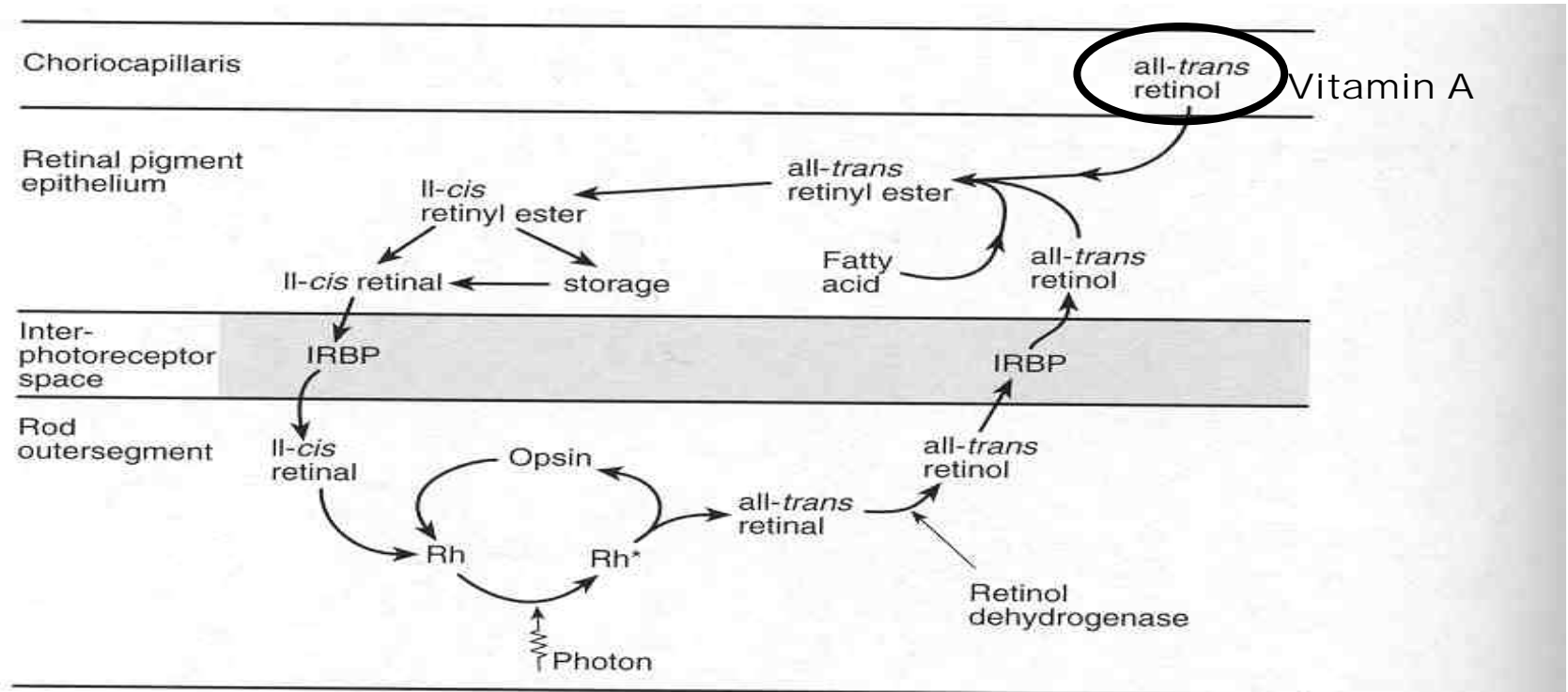
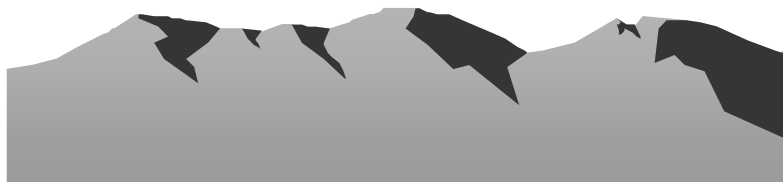
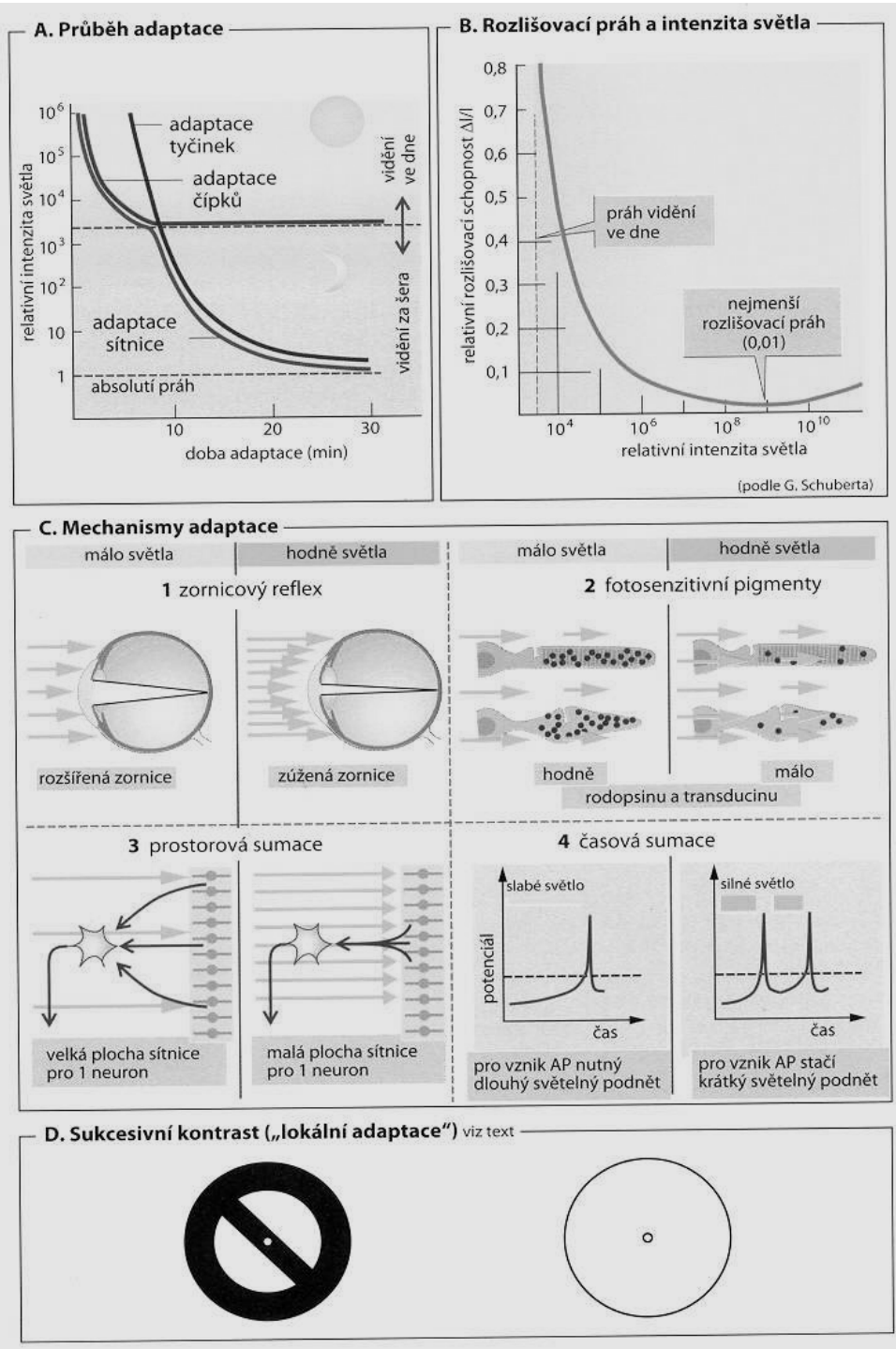
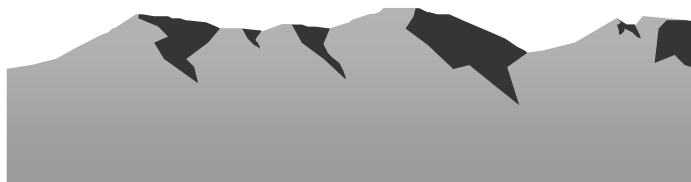
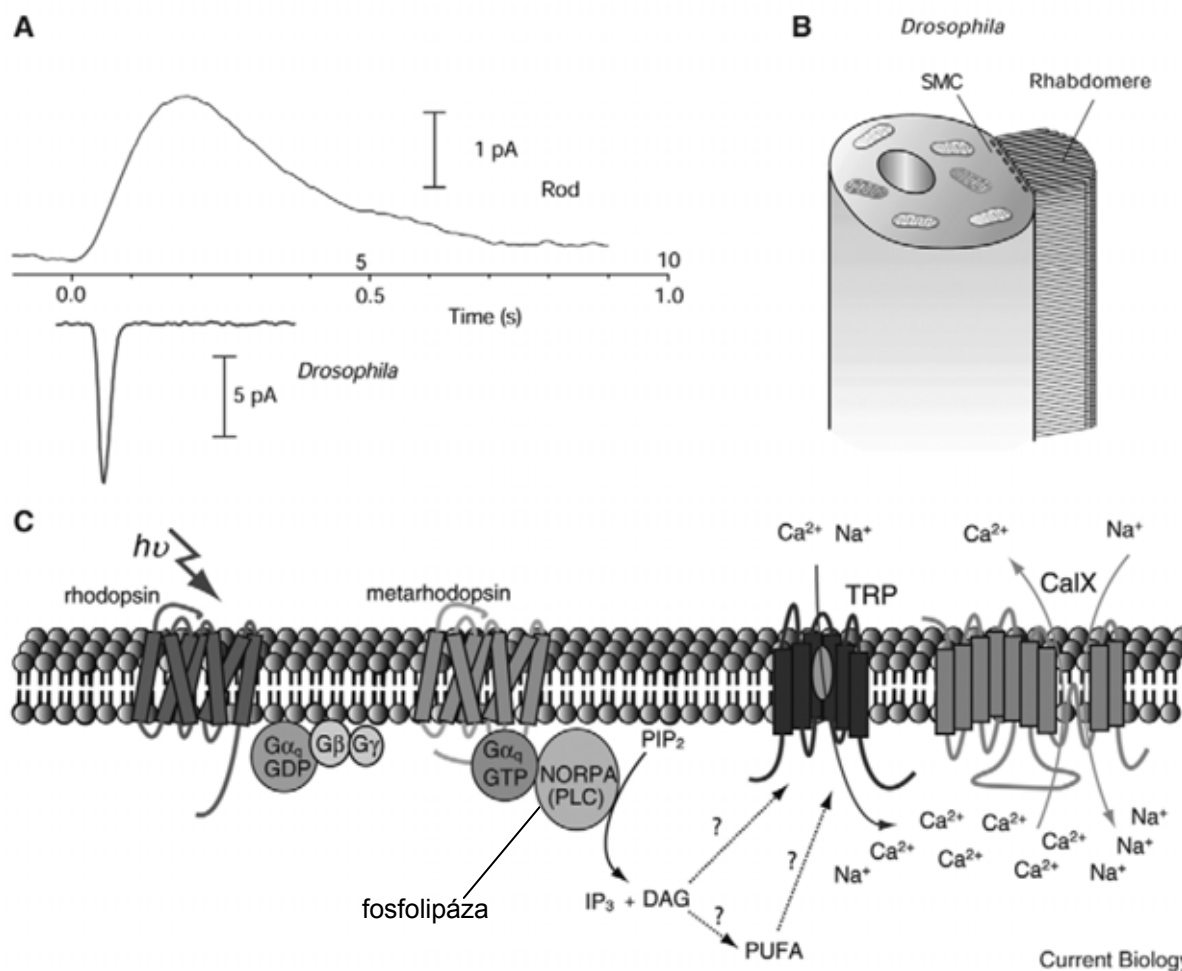


Figure 16.13 Regeneration of 11-*cis* retinal. Explanation in text. IRBP = interphotoreceptor retinoid binding protein; Rh = rhodopsin; Rh* = activated rhodopsin. Simplified from Harding, 1997

Adaptace:



Drosophila jako užitečný model zrakové transdukce:
 Mimořádné zesílení – reakce na jediný foton
 Nízký šum ve tmě (spontánní termální izomerizace)
 Široká adaptace – rozsah až 10^6 (arrestin, Ca)
 Rychlá terminace odpovědi
 Nejrychlejší známá G signální dráha – 10x než obratlovcí



Drosophila jako užitečný model zrakové transdukce:

Taková rychlost? PLC octomilky je jeden z nejvýkonnějších známých enzymů-
limitem je jen přísun cGMP

Výkonnost transdukce omezena pouze difuzním pohybem v membráně.

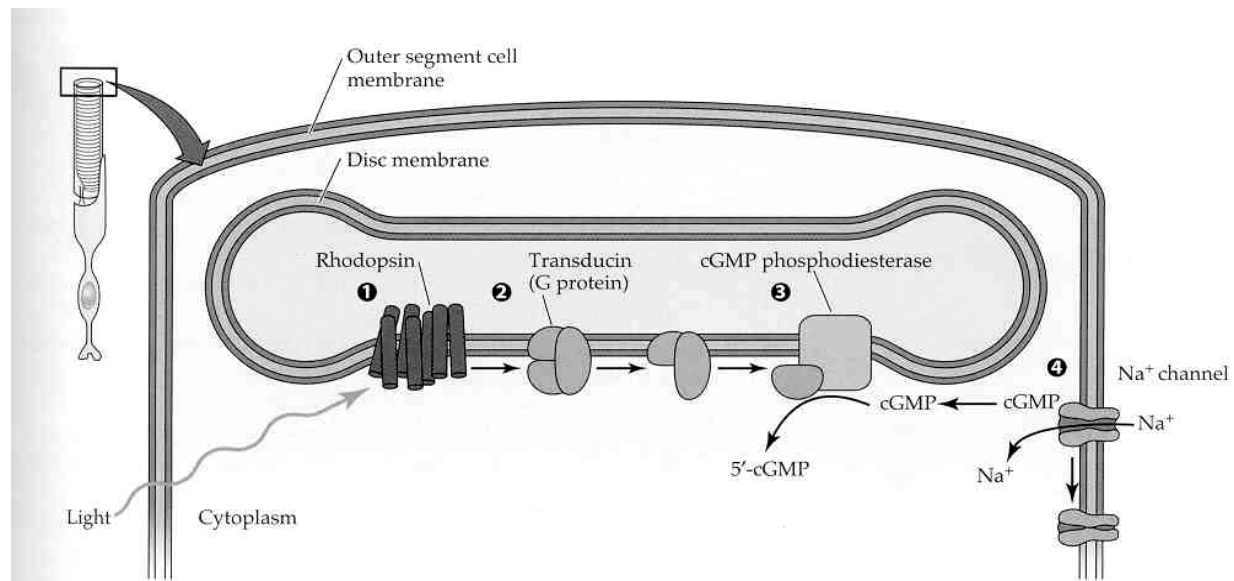
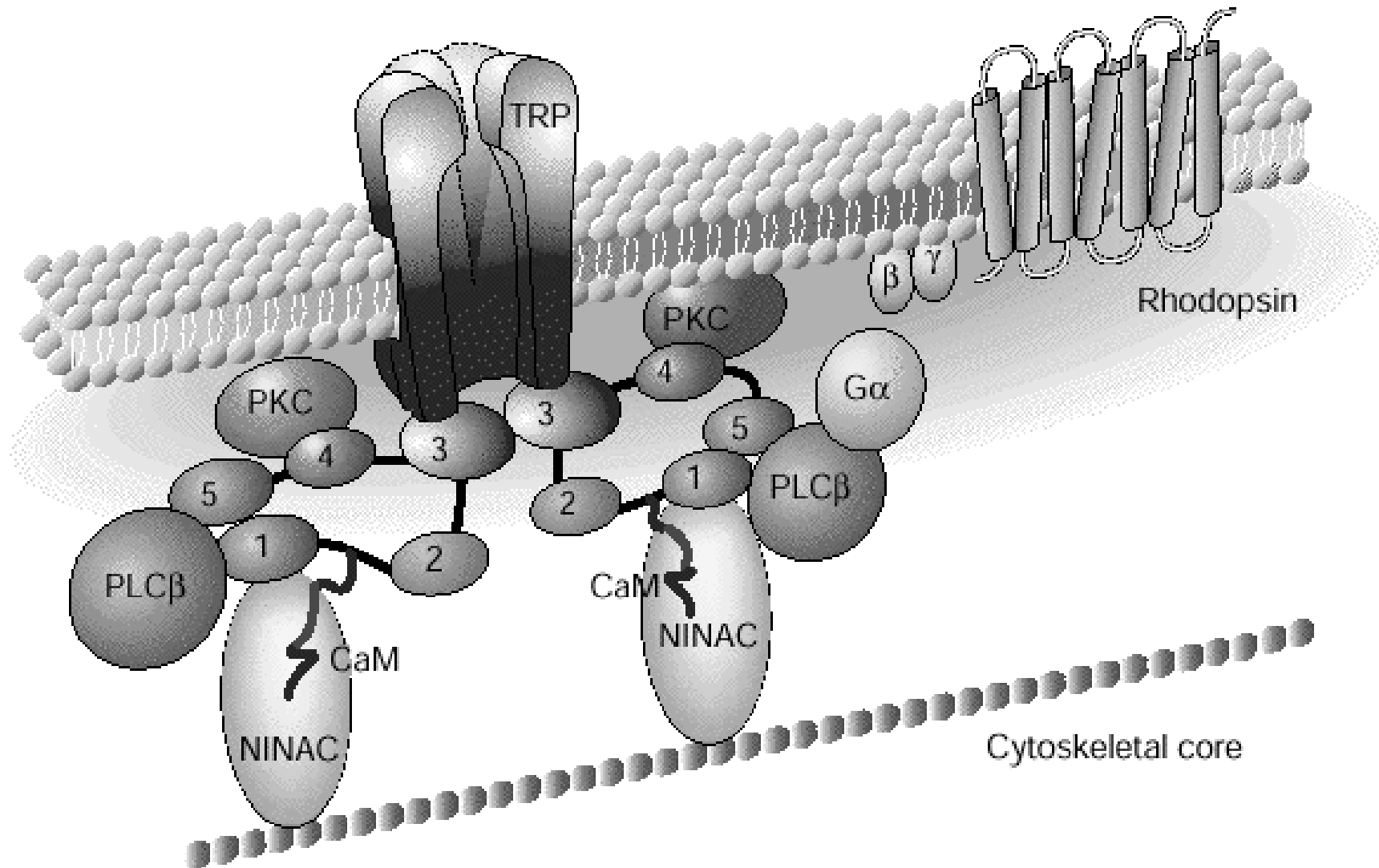


Figure 13.14 Phototransduction closes cation channels in the outer segment of the photoreceptor membrane In the dark, the cation channels are kept open by intracellular cGMP and conduct an inward current, carried largely by Na⁺. When light strikes the photoreceptor, these channels are closed by a G protein-coupled mechanism. ❶ Rhodopsin molecules in the disc membrane absorb light and are acti-

vated. ❷ The activated rhodopsin stimulates a G protein (transducin in rods), which in turn activates cGMP phosphodiesterase. ❸ The phosphodiesterase catalyzes the breakdown of cGMP to 5'-GMP. ❹ As the cGMP concentration decreases, cGMP detaches from the cation channels, which close.

Drosophila jako užitečný model zrakové transdukce:
Difuzní model signálového přenosu x Signalplex, scaffolding proteins
Multimolekulární signalizační komplex



Drosophila jako užitečný model zrakové transdukce:
 Organizace signálních proteinů
 v čase a prostoru – oddělení, zhášení
 v odpověď na světlo

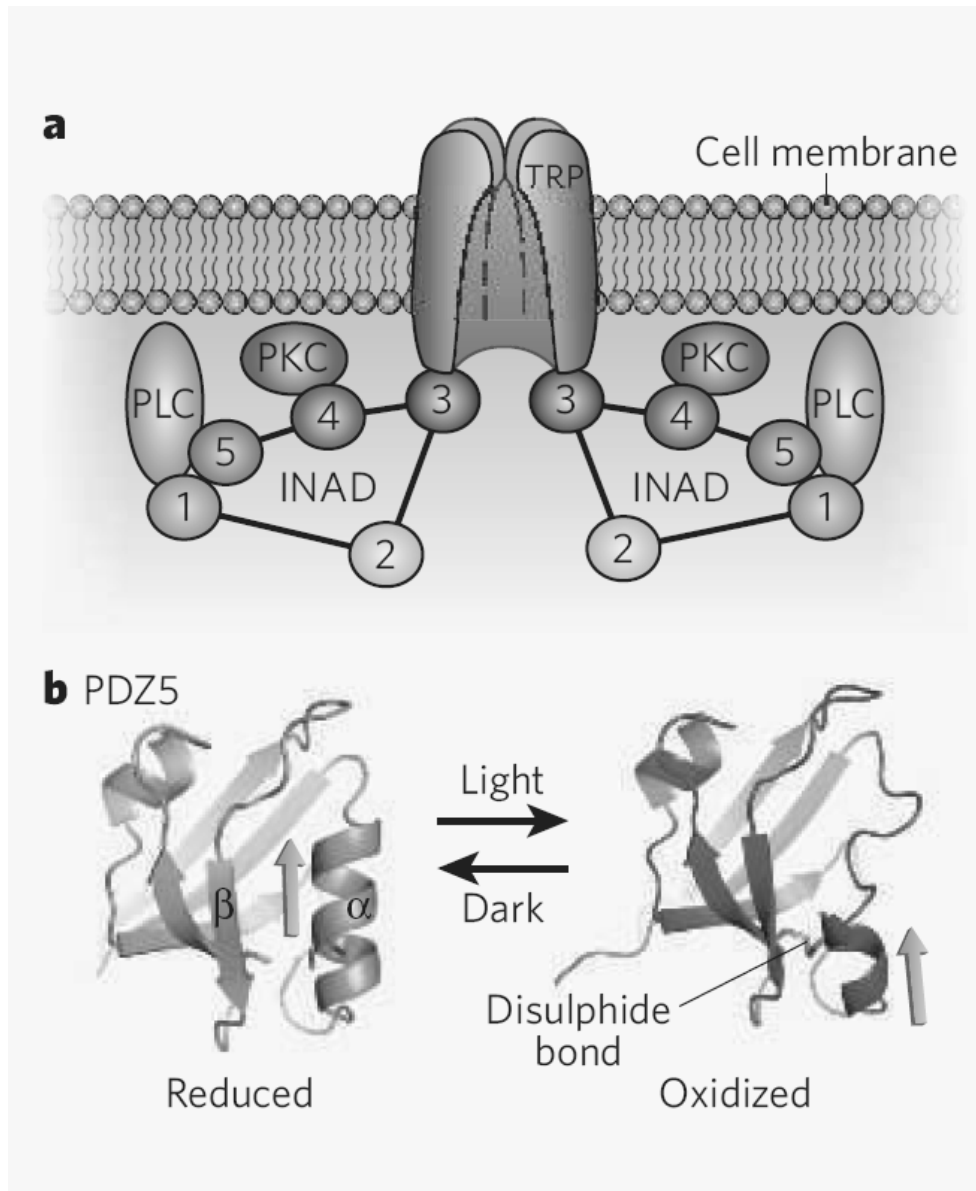
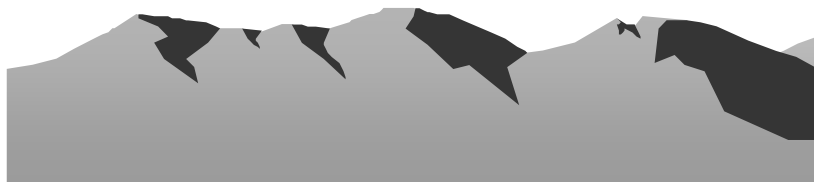
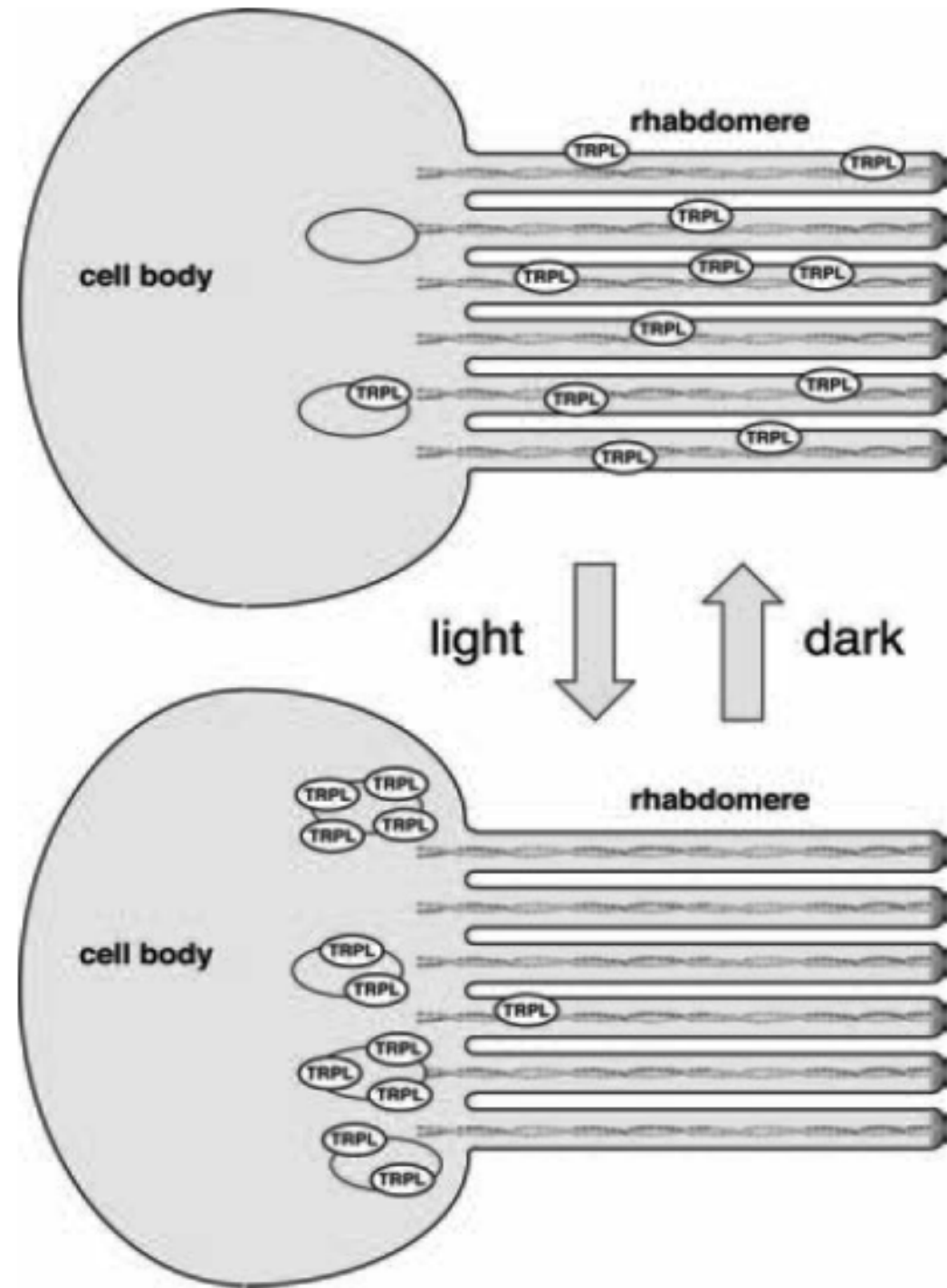
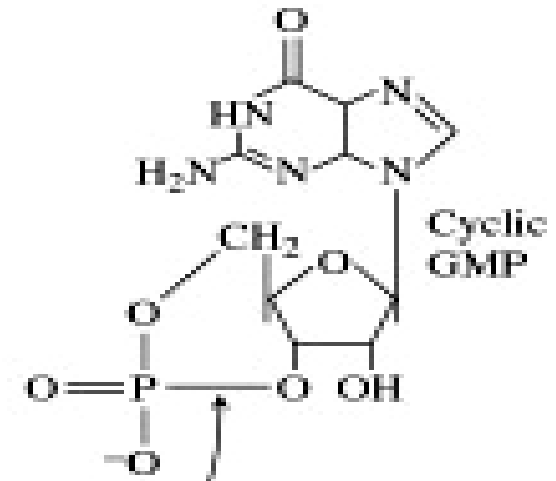
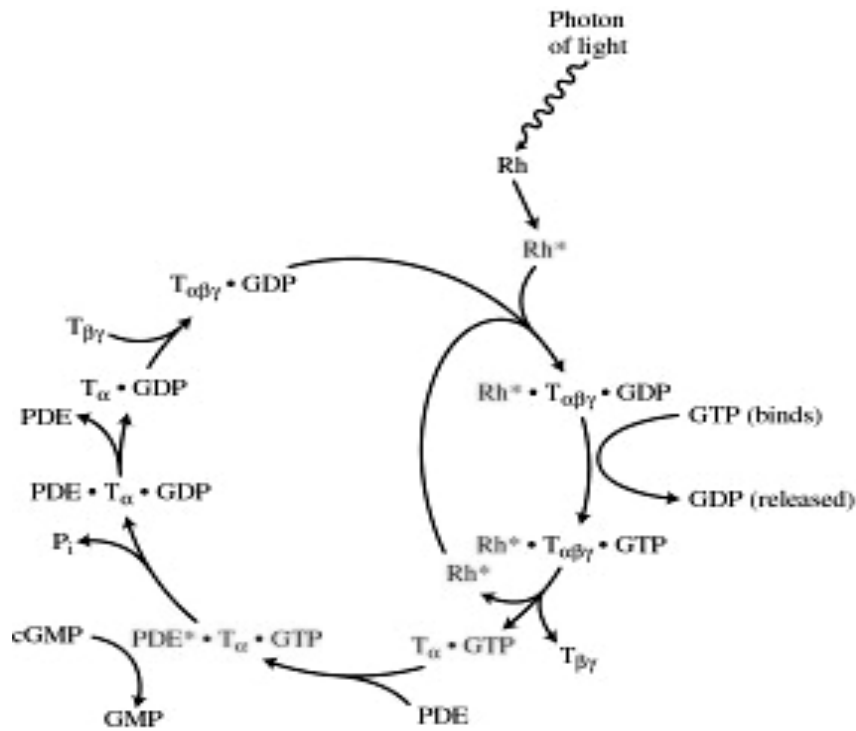


Figure 1 | Phototransduction in *Drosophila* and the INAD complex. **a**, The five PDZ domains of INAD (1–5) assemble components of the phototransduction cascade, including PLC, the TRP channel and PKC, into a signalling complex at the cell membrane. **b**, Mishra *et al.*² report that, in response to light, the PDZ5 domain of INAD undergoes a conformational change. In the dark, PDZ5 is in its canonical, reduced form, in which a groove between an α -helix and a β -sheet serves as a ligand-binding site. After stimulation with light, the PDZ5 domain undergoes a conformational change to an oxidized state, whereby the formation of a disulphide bond between two cysteine residues results in the unravelling of the α -helix and the distortion of the ligand-binding groove. Following this conformational switch, the ligand (arrowed) — putatively part of the PLC enzyme — can no longer bind. (Adapted from ref. 2.)

Drosophila jako užitečný model
zrakové transdukce:
Taková adaptace?
Translokace TRP –
mechanismus adaptace
na tmou a světlo

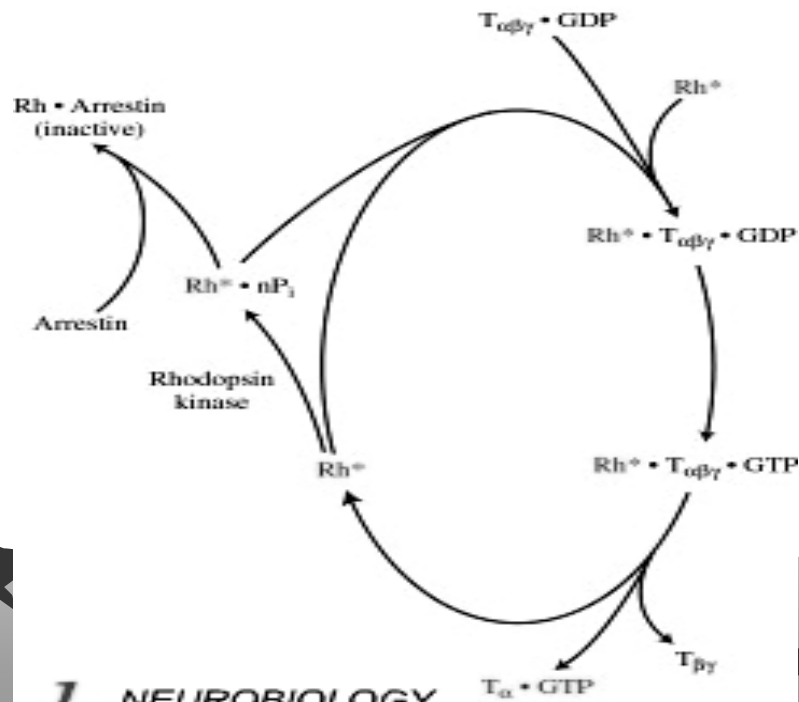
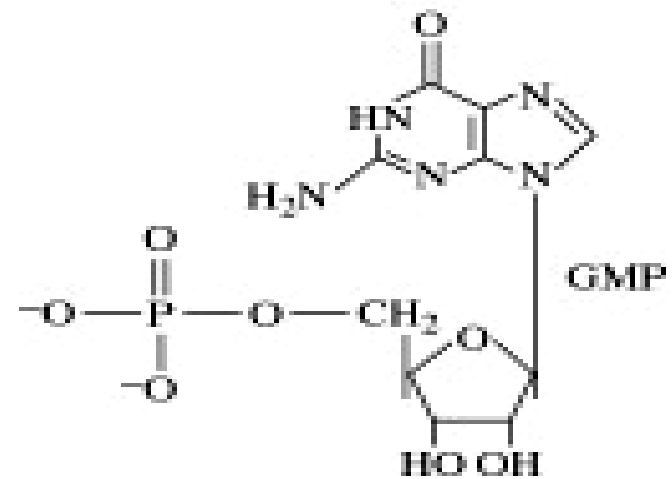


cGMP na GMP



Chemical bond broken by PDE

PDE

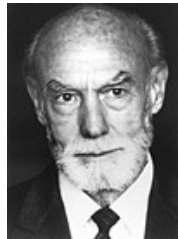


The Nobel Prize in Physiology or Medicine 1981



"for his discoveries concerning the functional specialization of the cerebral hemispheres"

"for their discoveries concerning information processing in the visual system"



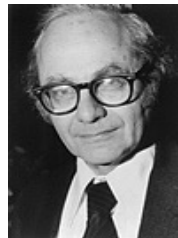
Roger W. Sperry

1/2 of the prize

USA

California Institute of Technology
Pasadena, CA, USA

b. 1913
d. 1994



David H. Hubel

1/4 of the prize

USA

Harvard Medical School
Boston, MA, USA

b. 1926
(in Windsor, ON, Canada)



Torsten N. Wiesel

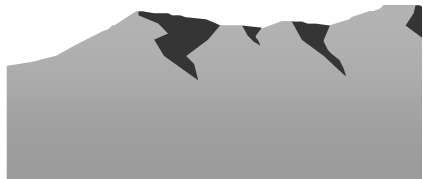
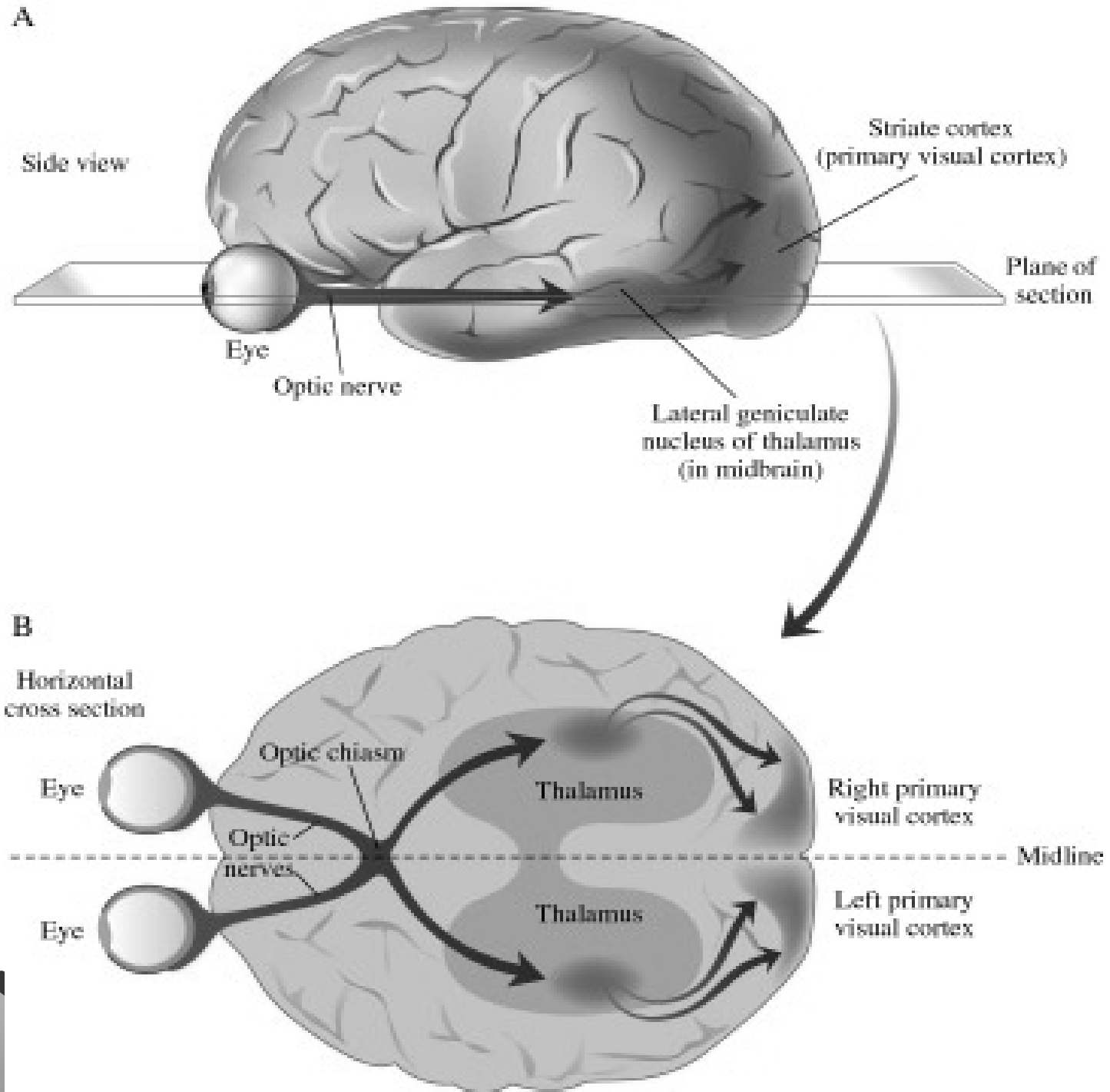
1/4 of the prize

Sweden

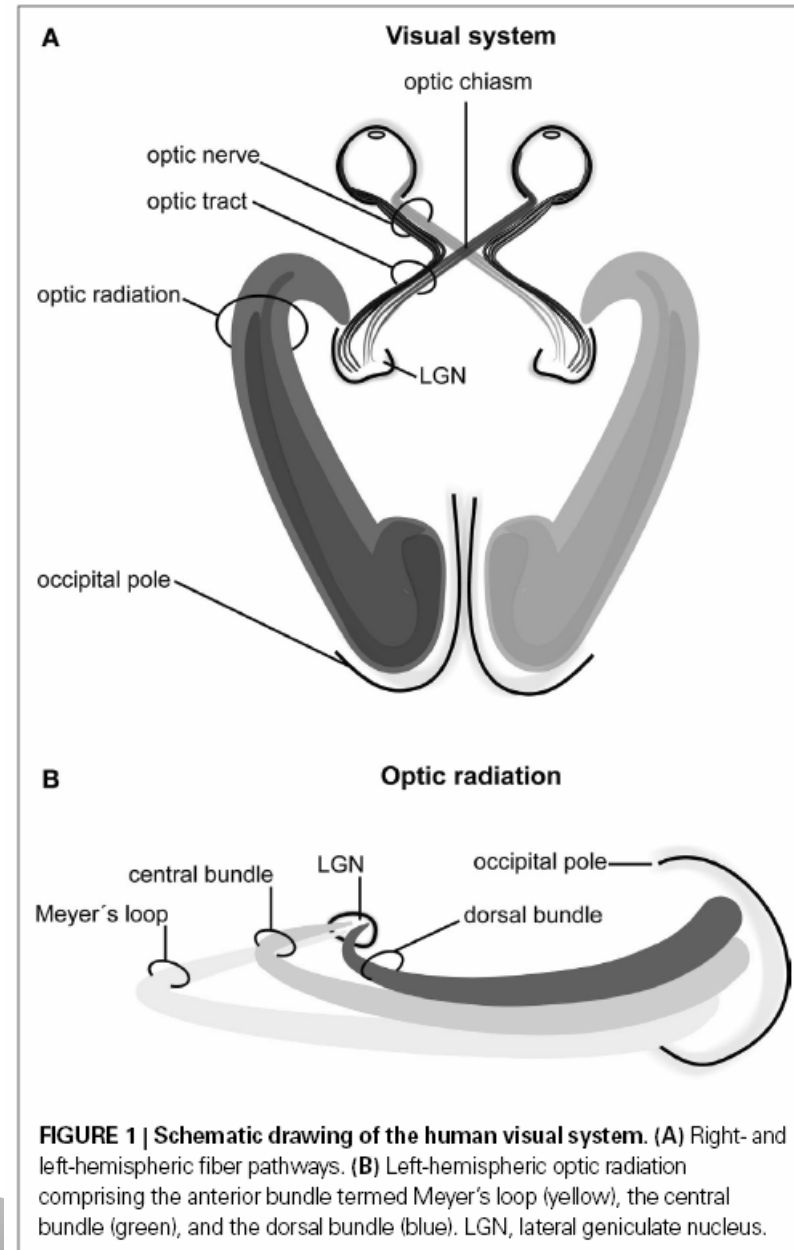
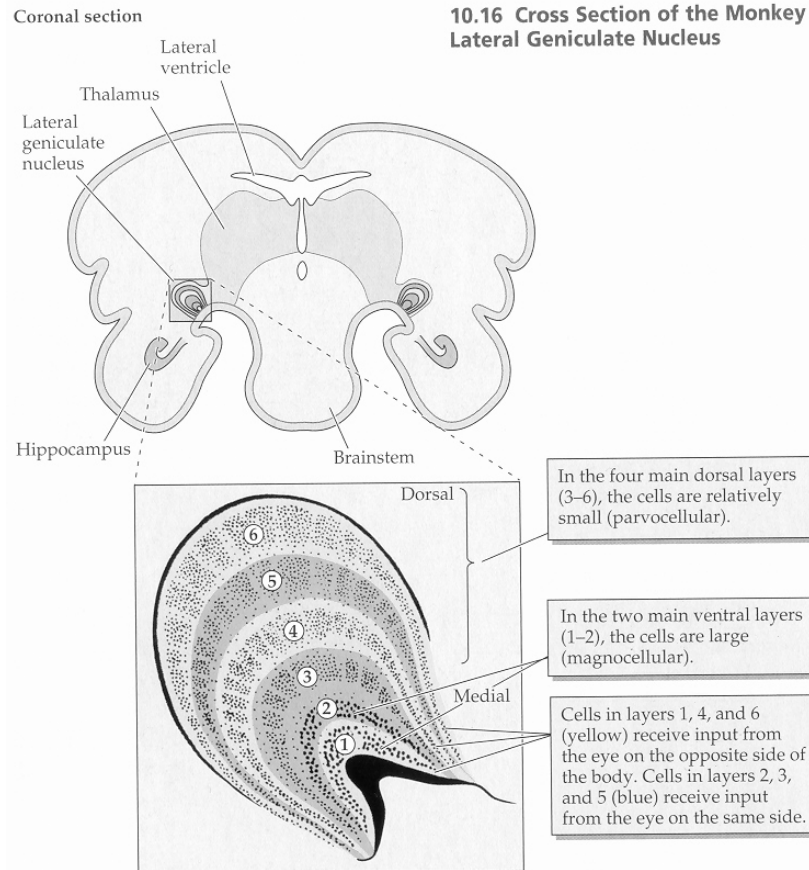
Harvard Medical School
Boston, MA, USA

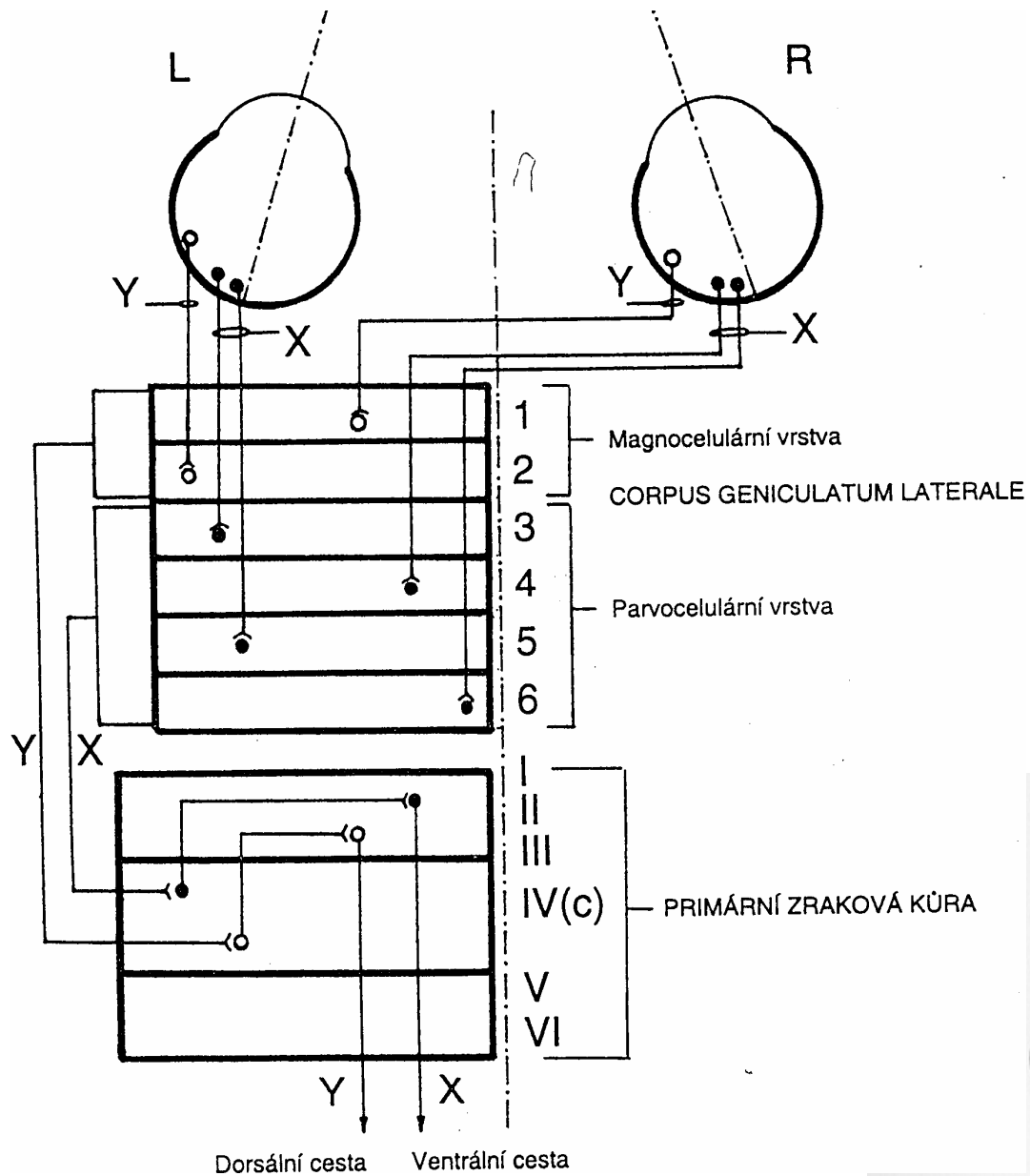
b. 1924

Zraková dráha

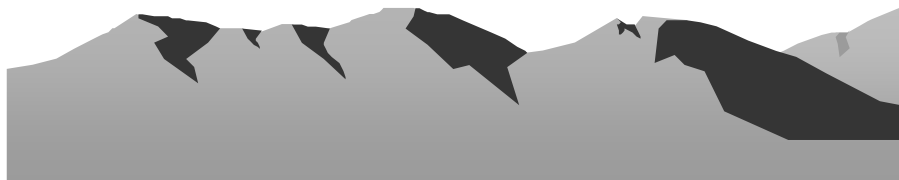
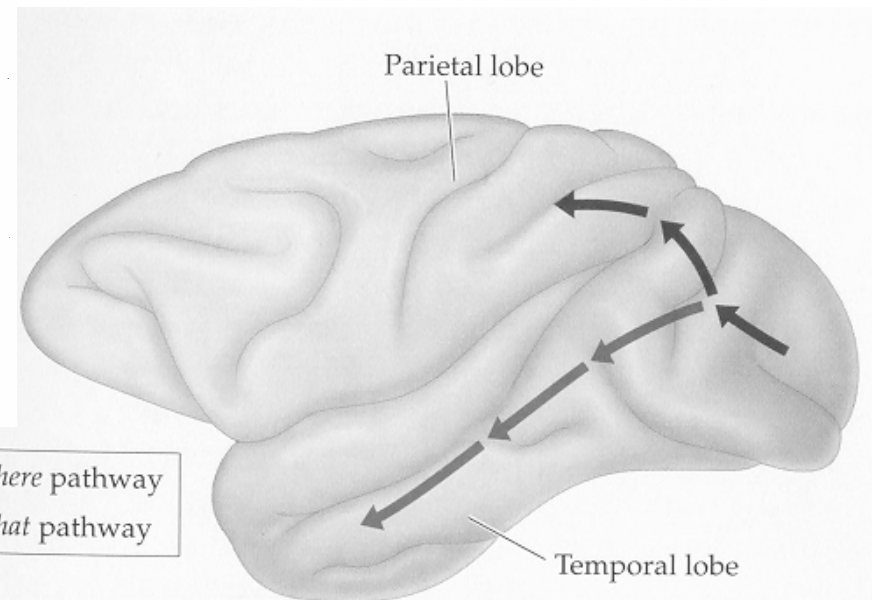


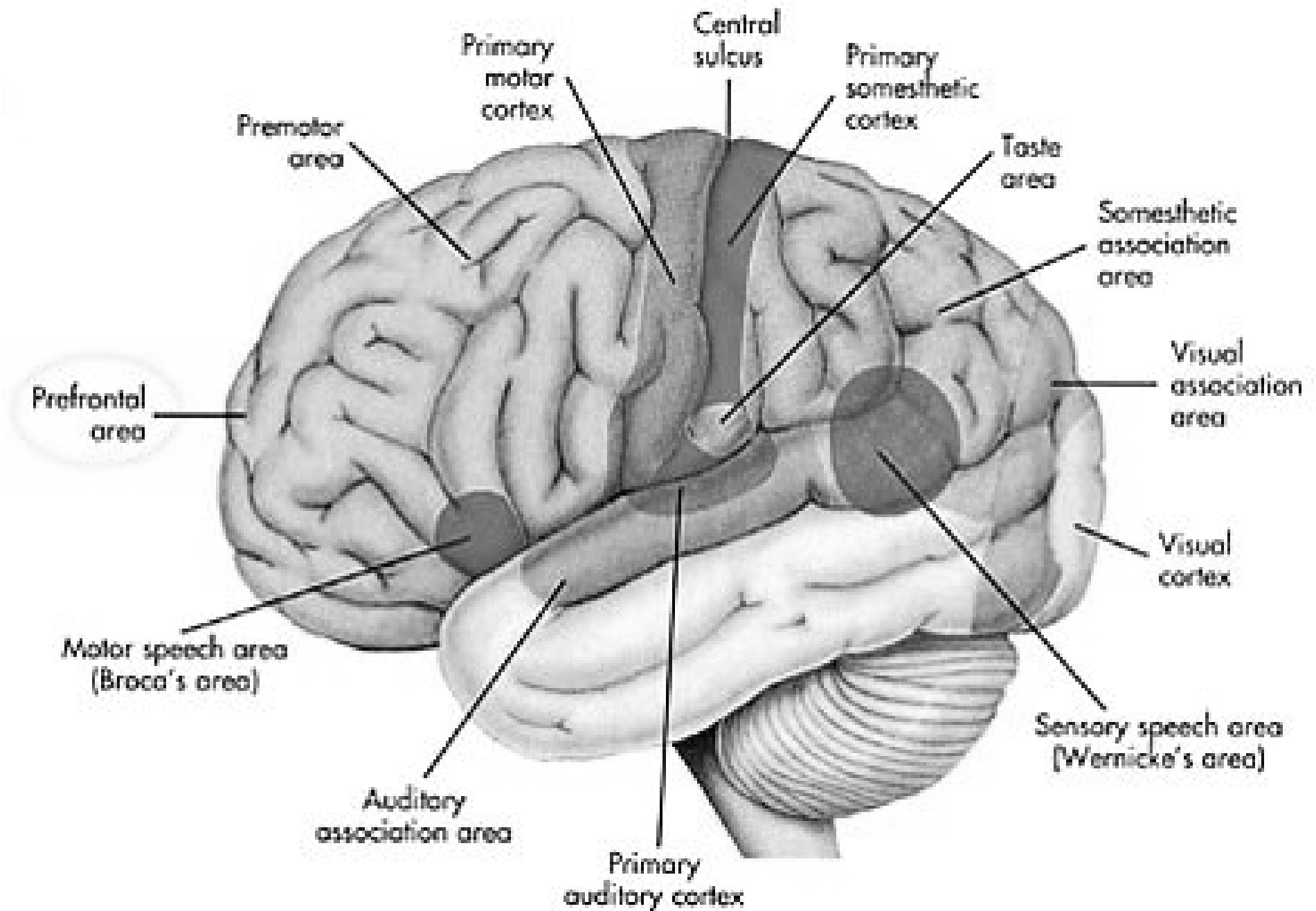
Zraková dráha

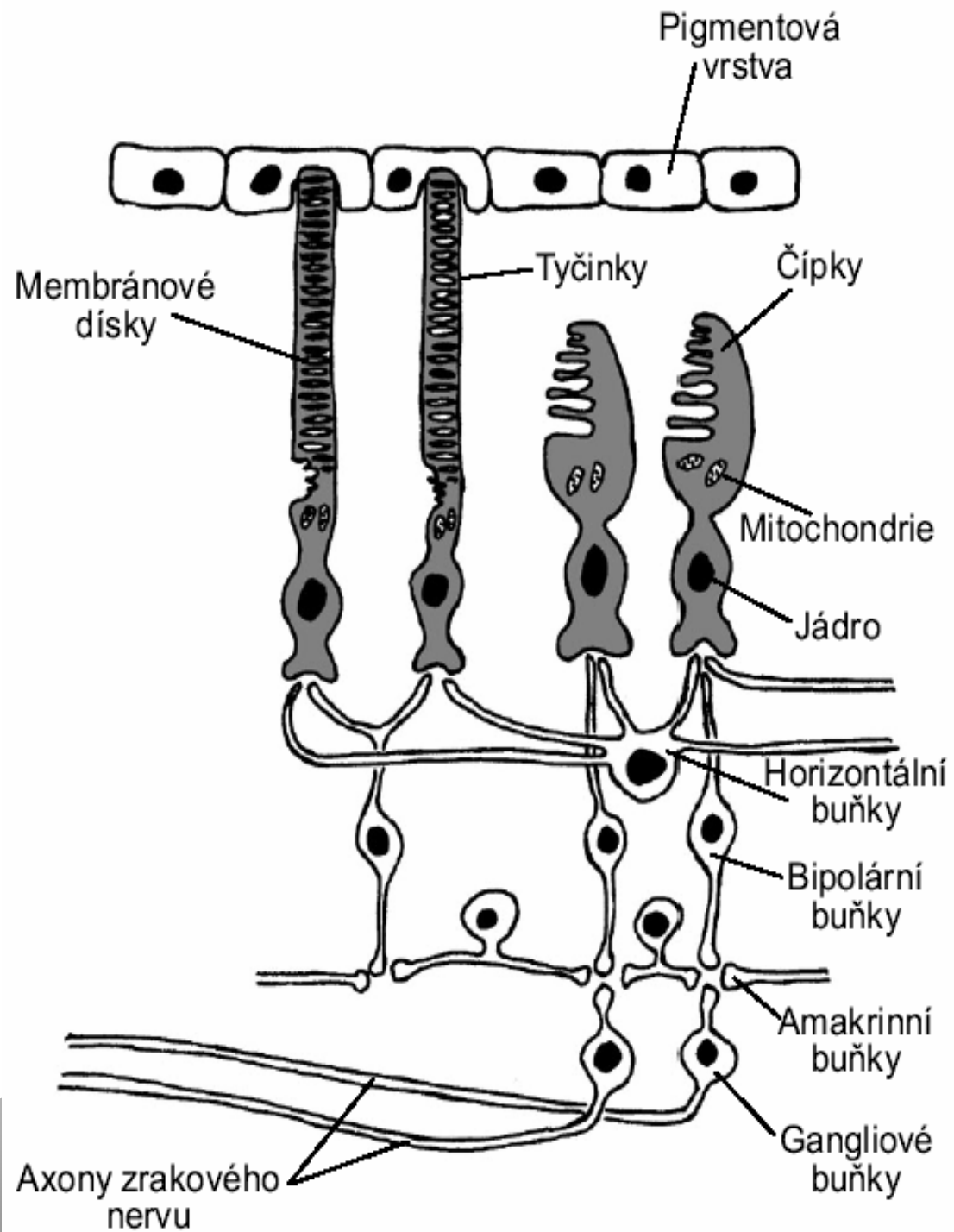




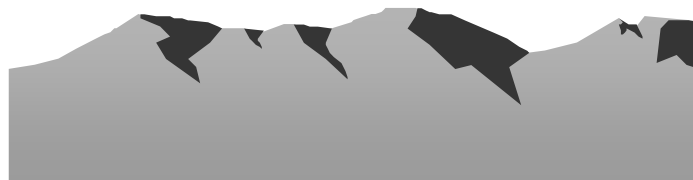
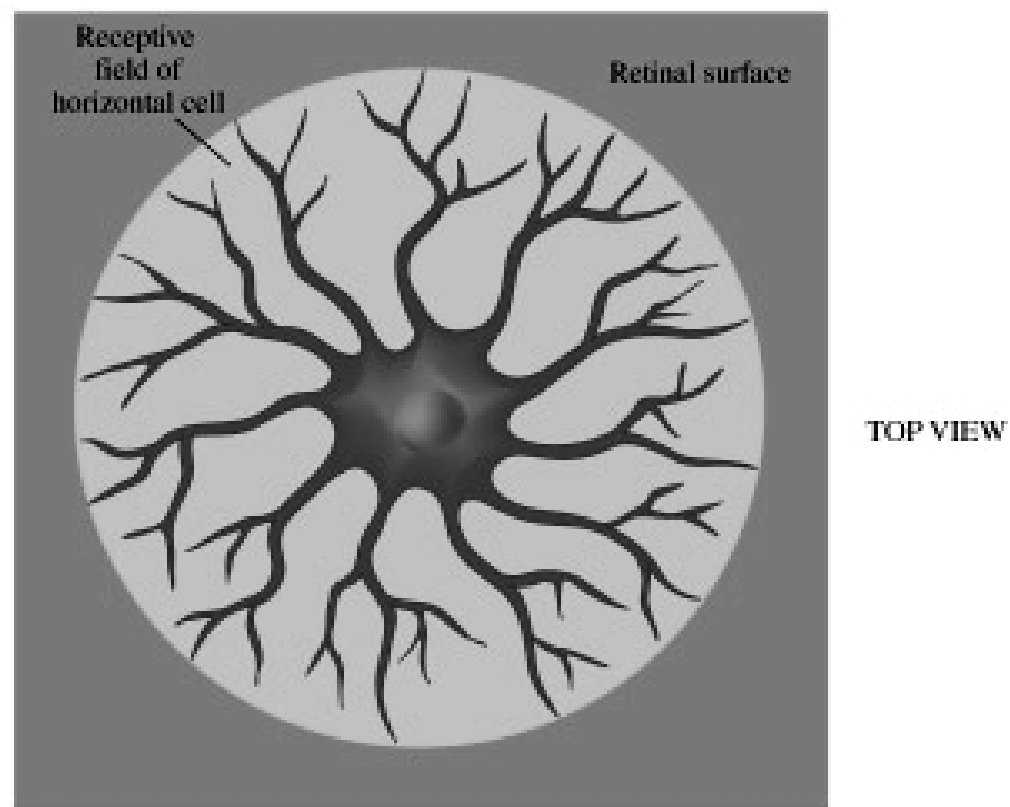
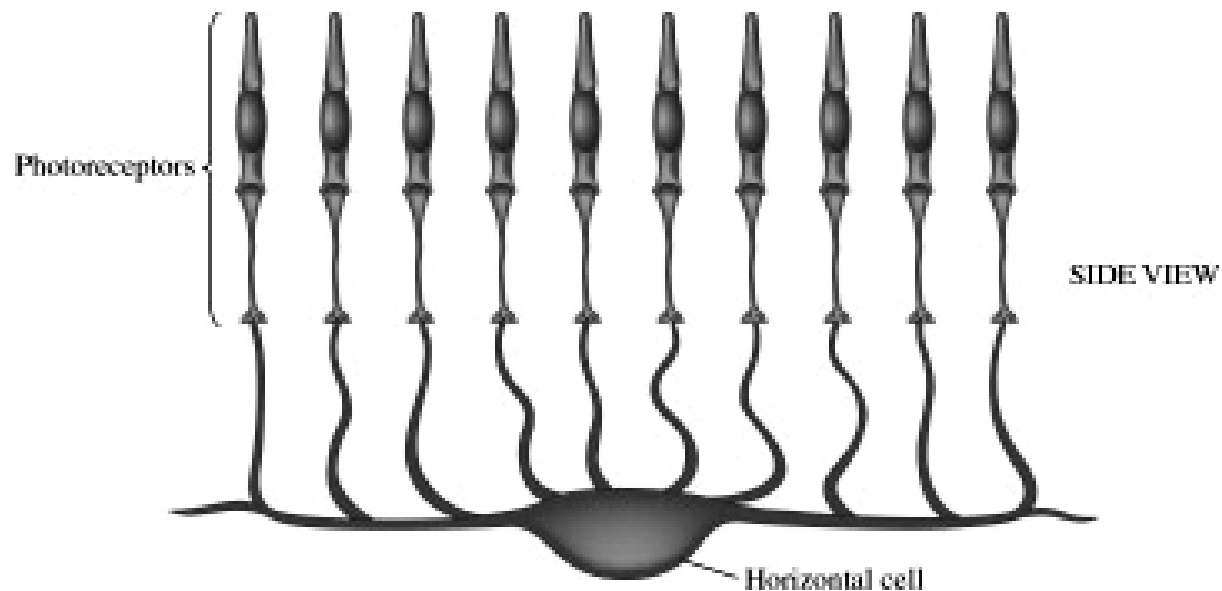
Dvě samostatné sub-dráhy od sítnice až po kůru.
 X - 80% gangliových bb
 Y - 10% g.b.



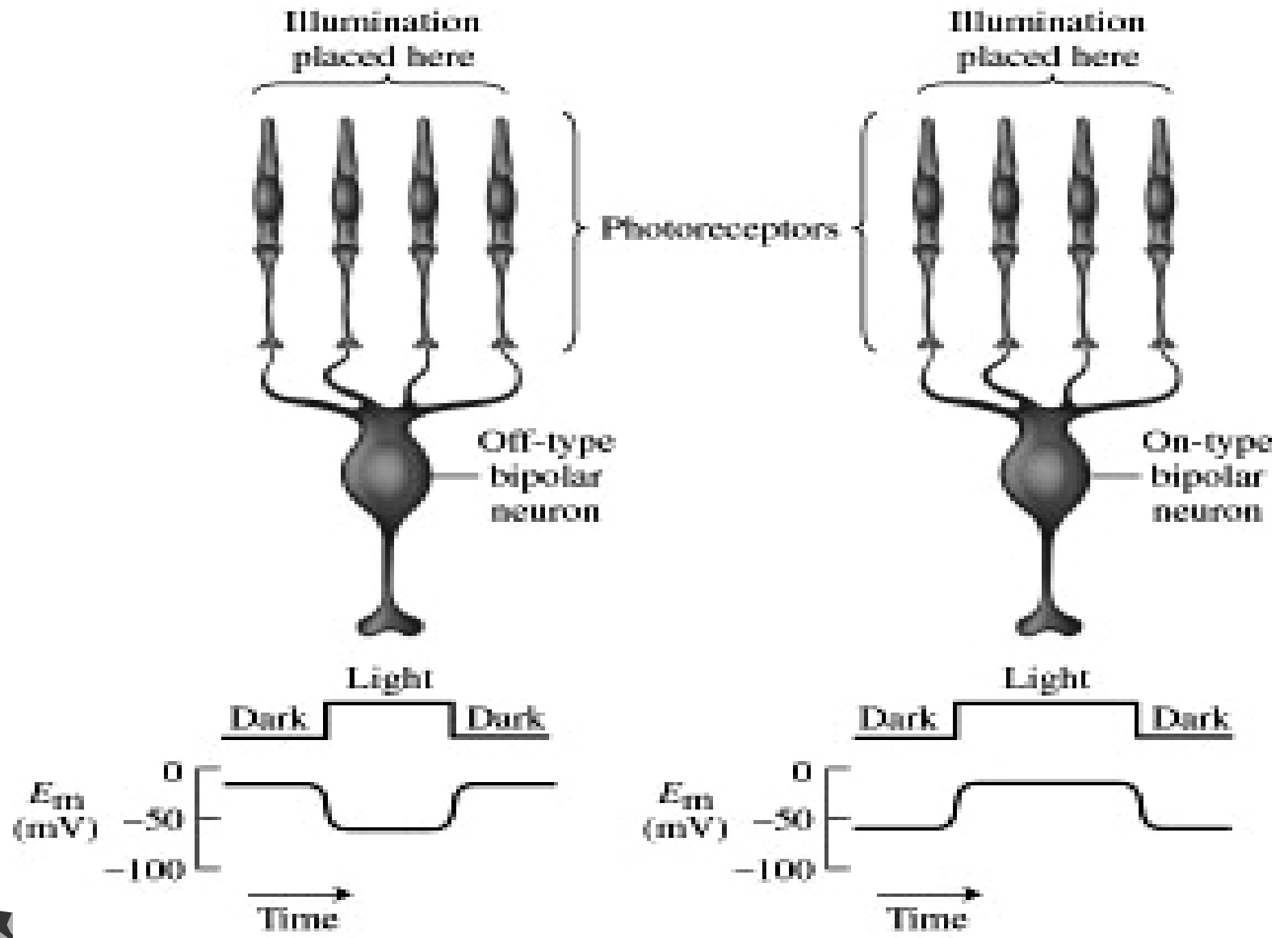




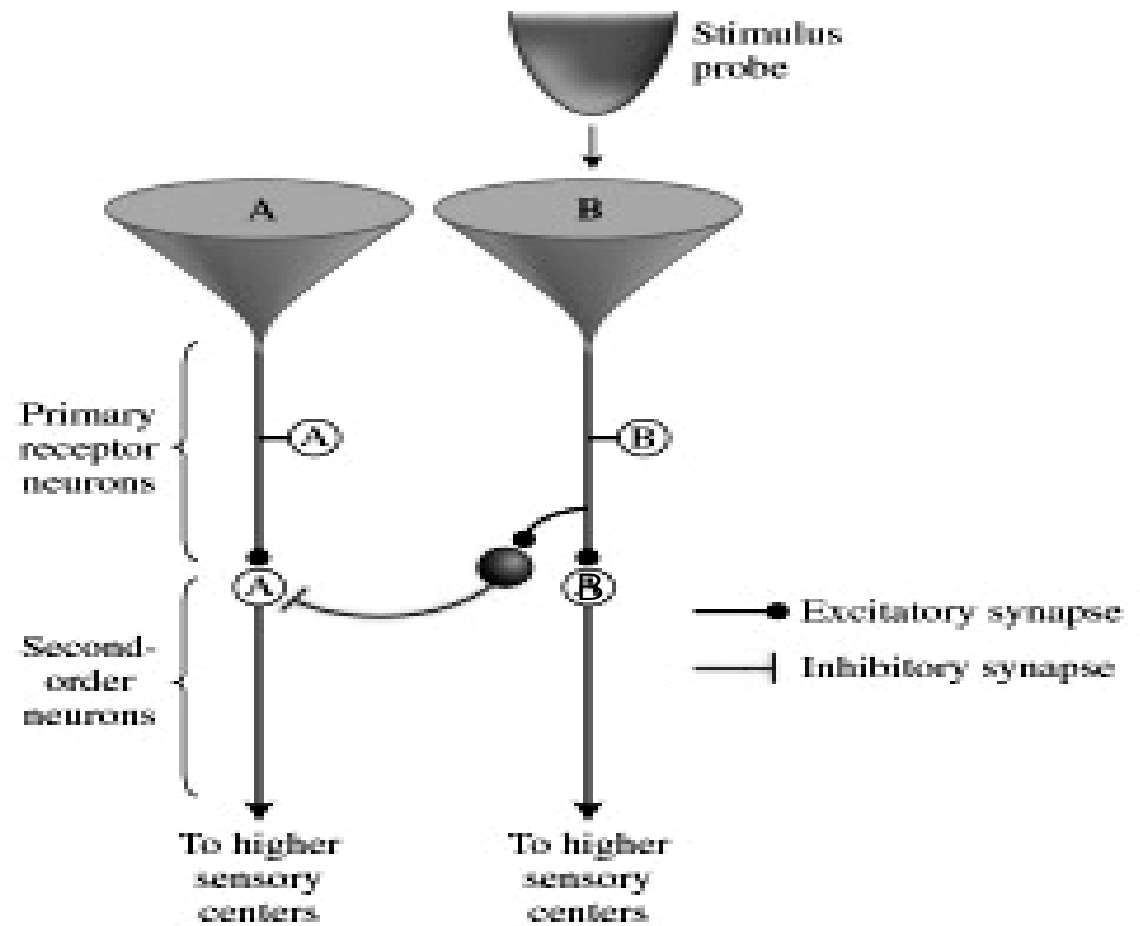
Receptivní pole ve zrakovém systému



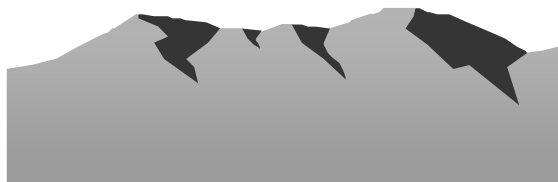
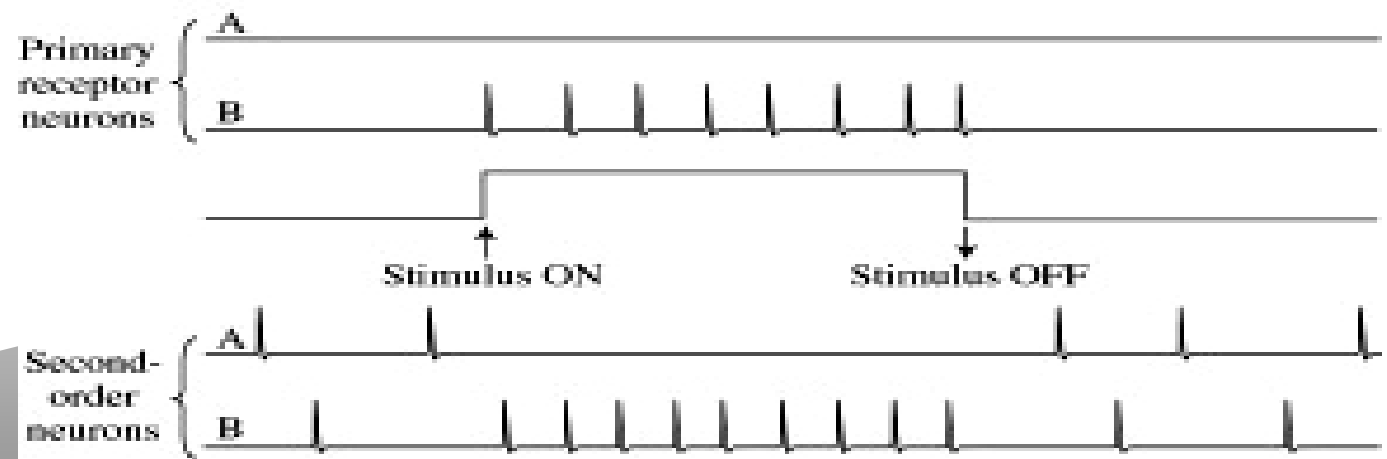
ON a OFF typy bipolárních neuronů.

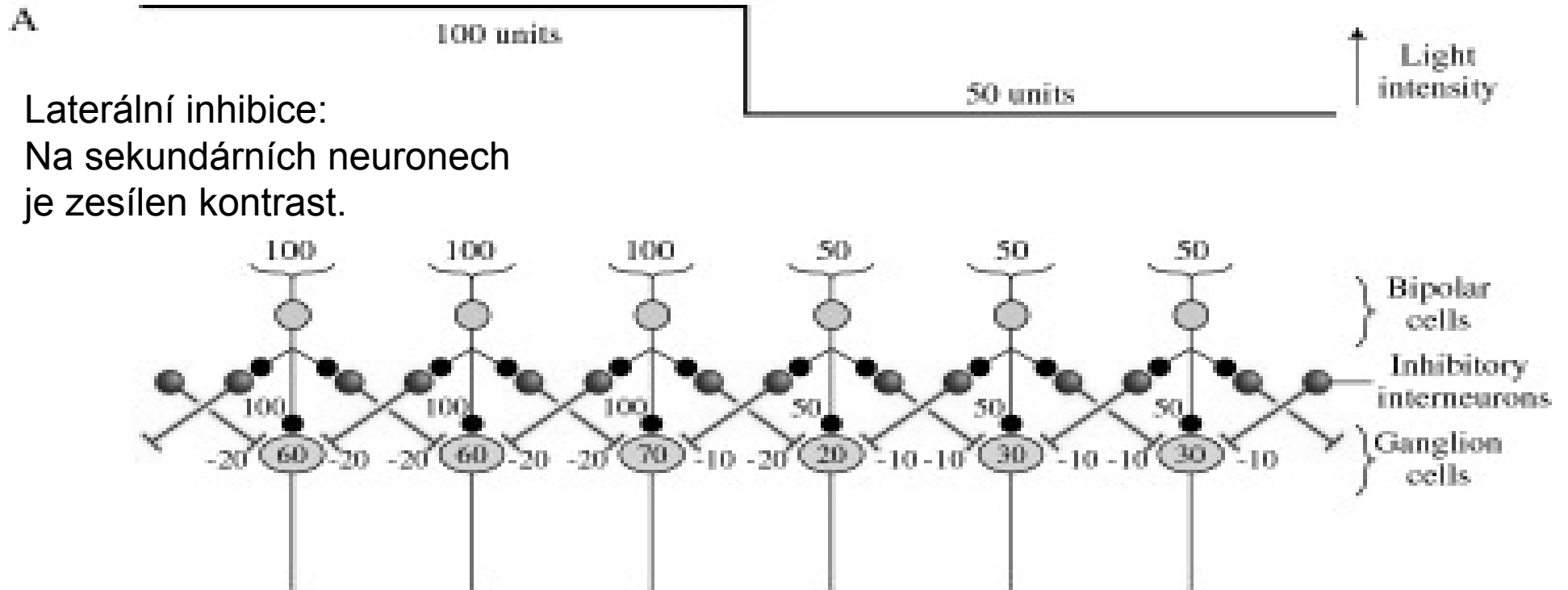


Laterální inhibice:
 Na sekundárních neuronech^A
 je zesílen kontrast. Silný
 posílí, slabý oslabí

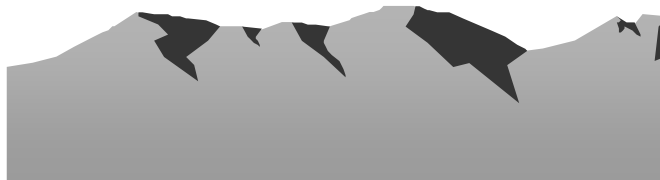
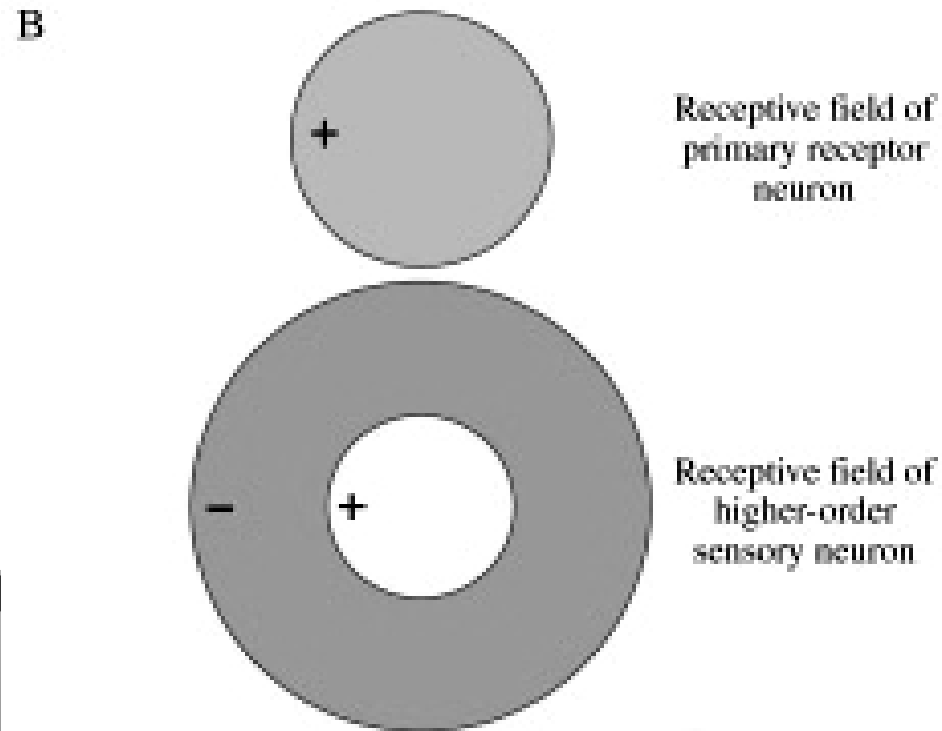
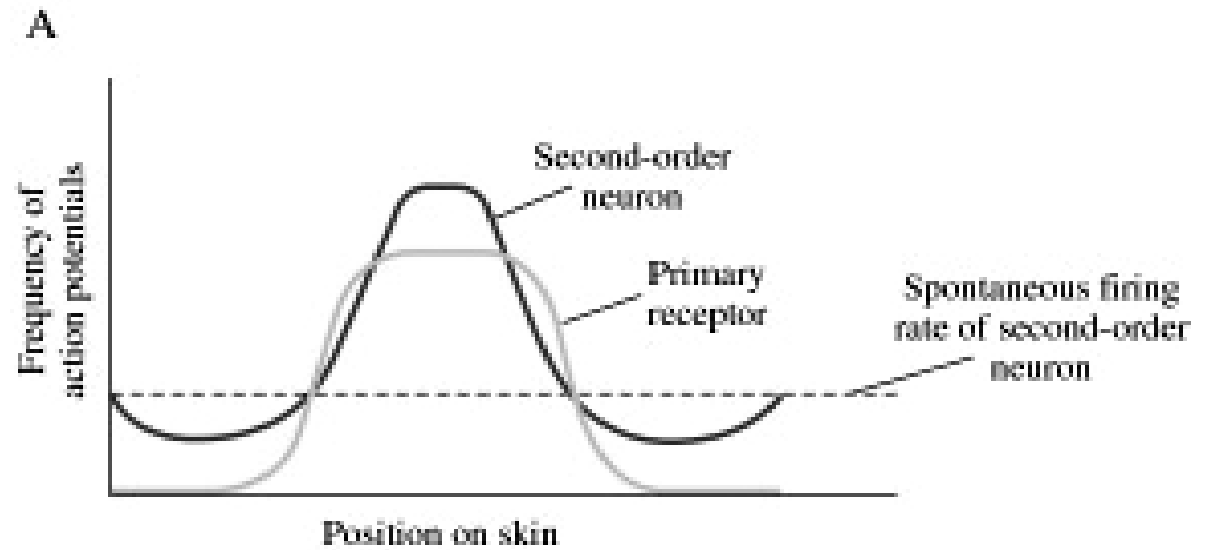


B





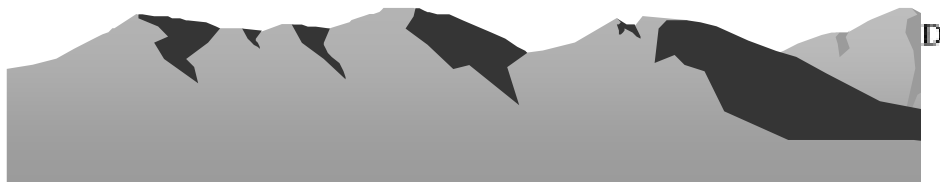
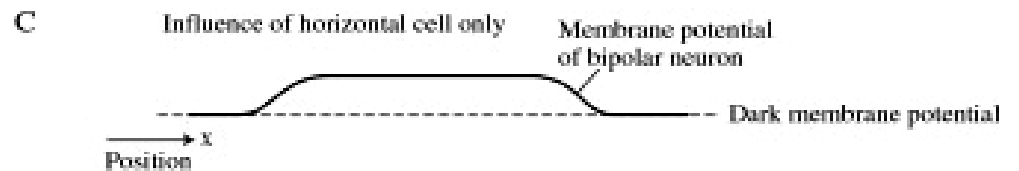
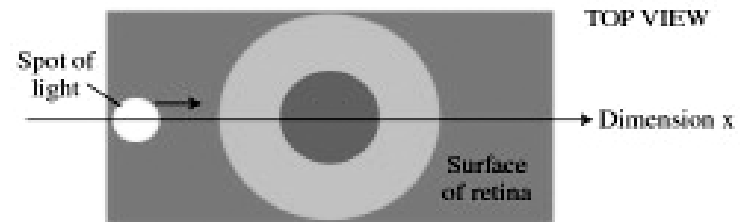
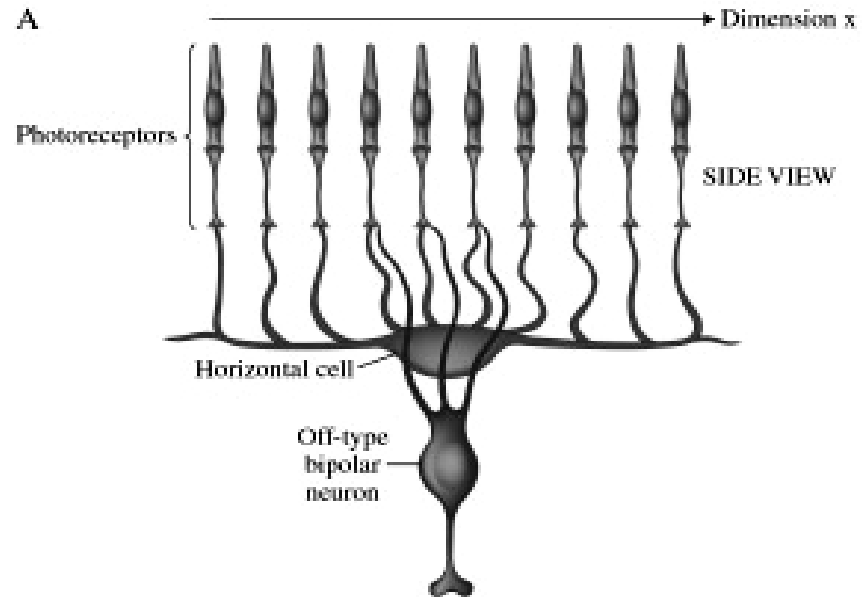
Laterální inhibice:
Na sekundárních neuronech
je zesílen kontrast.
Změna velikosti a struktury
receptivního pole.

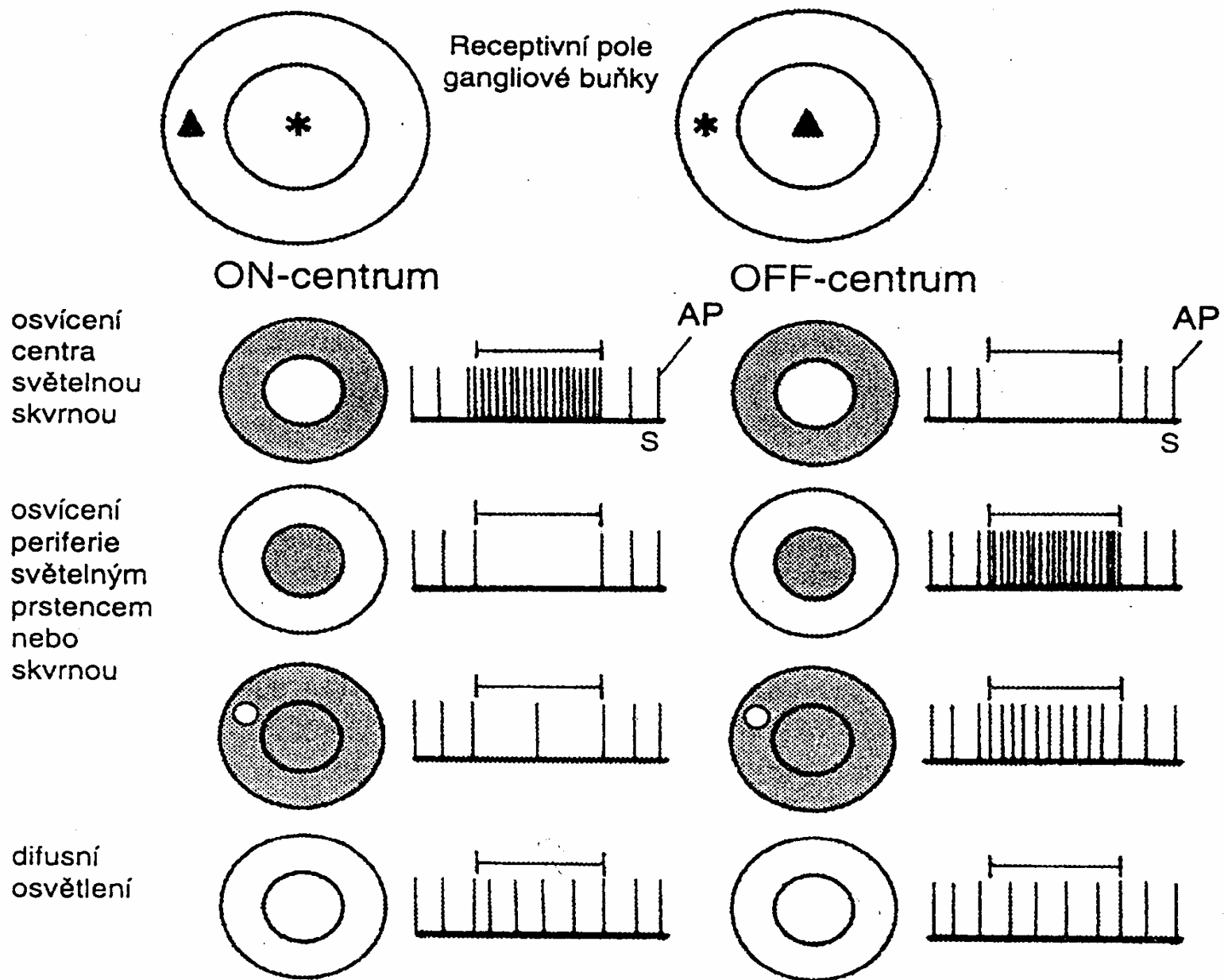


Laterální inhibice:
 Na sekundárních neuronech
 je zesílen kontrast.
 Změna velikosti a struktury
 receptivního pole.
 Gangliové buňky jsou první rysově
 analyzátoři

Video receptivní pole

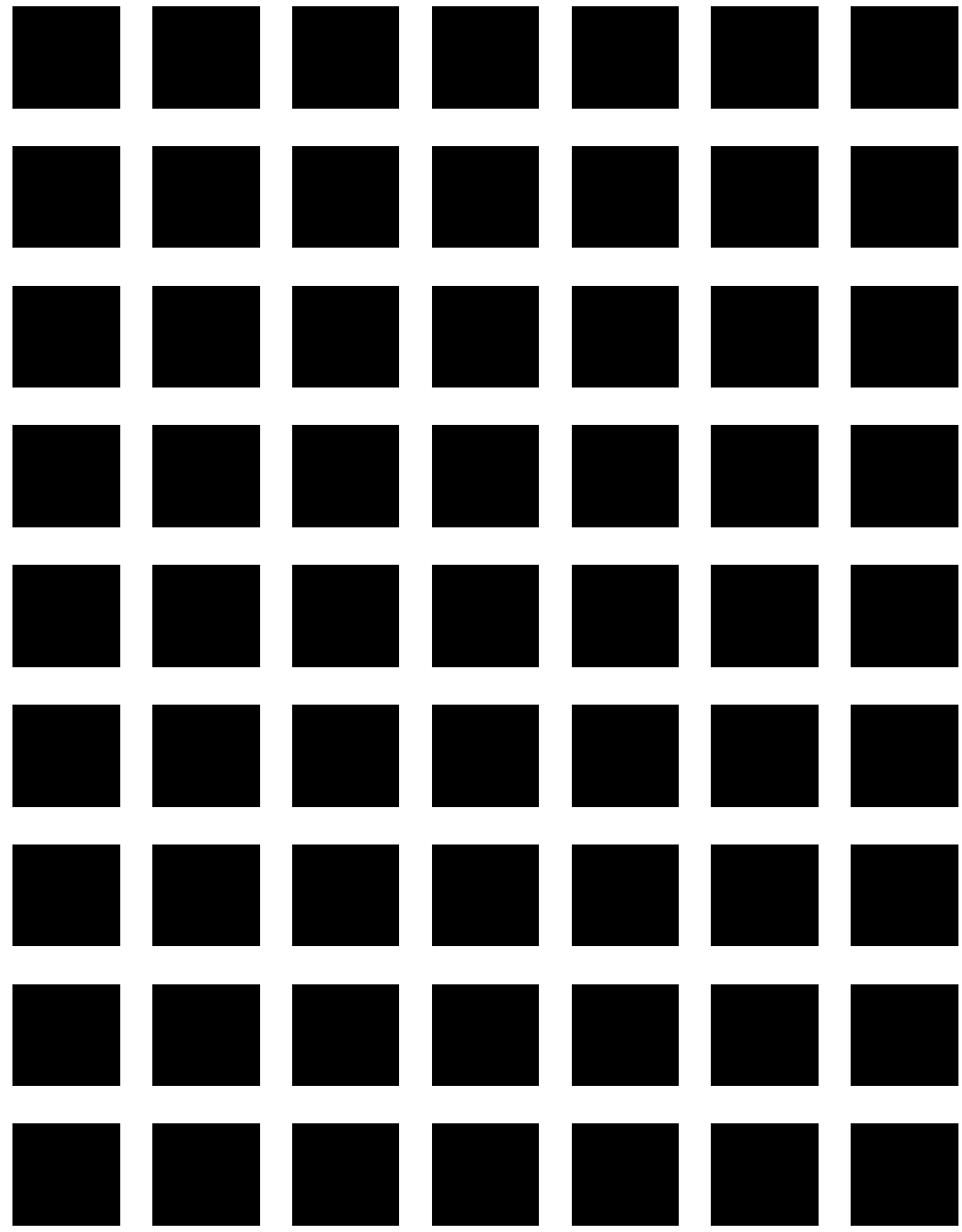
Video receptivní pole





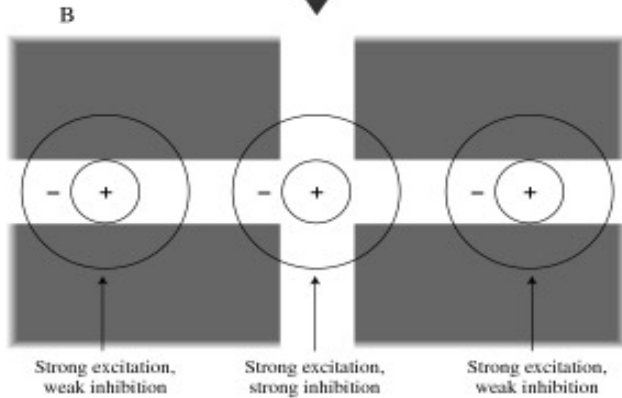
Záznam elektrické aktivity gangliových buněk sítnice s ON a OFF centrem při osvětlení jednotlivých částí jejich receptivního pole. Úsečka nad záznamem elektrické aktivity značí trvání osvětlení v sekundách.
 AP – potenciál. * – excitační zóna ▲ – inhibiční zóna

Proč ty šedé flíčky?

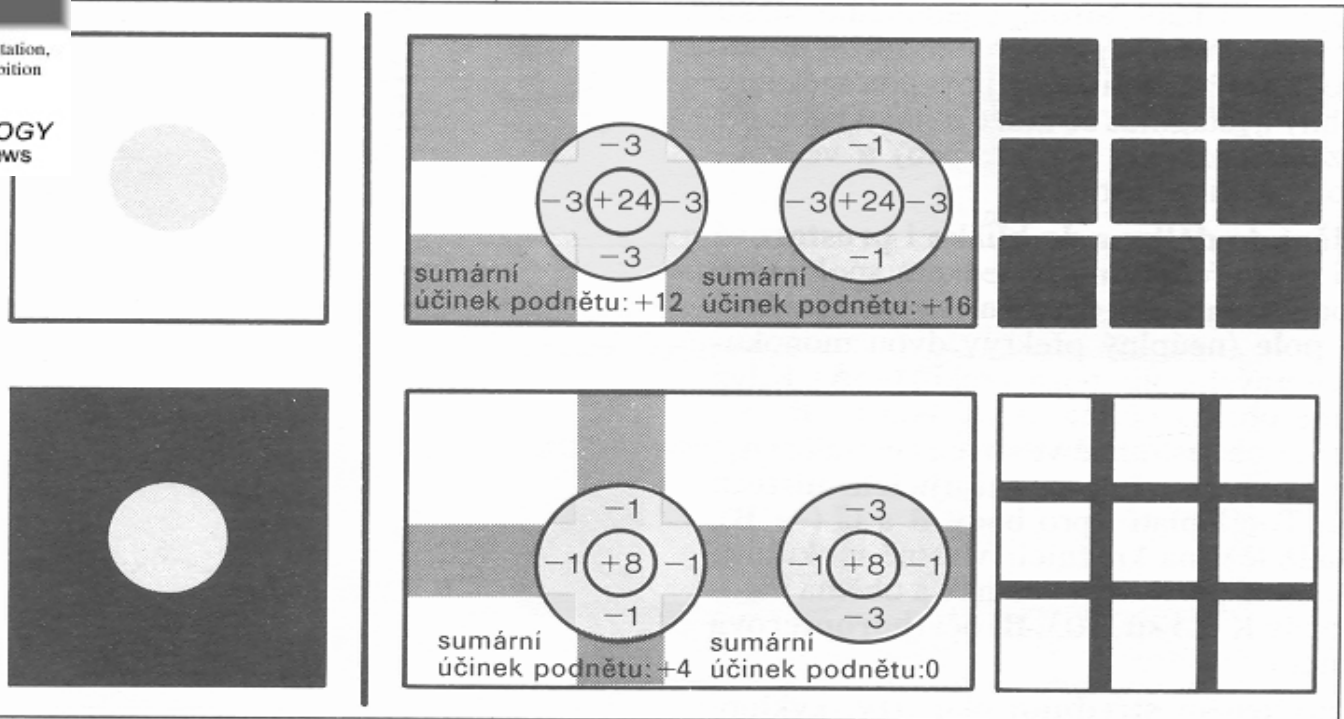




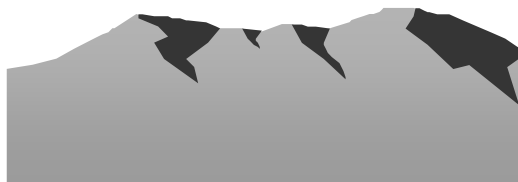
Proč ty šedé flíčky?
Vysvětlení přes recepční pole gangliových buněk.



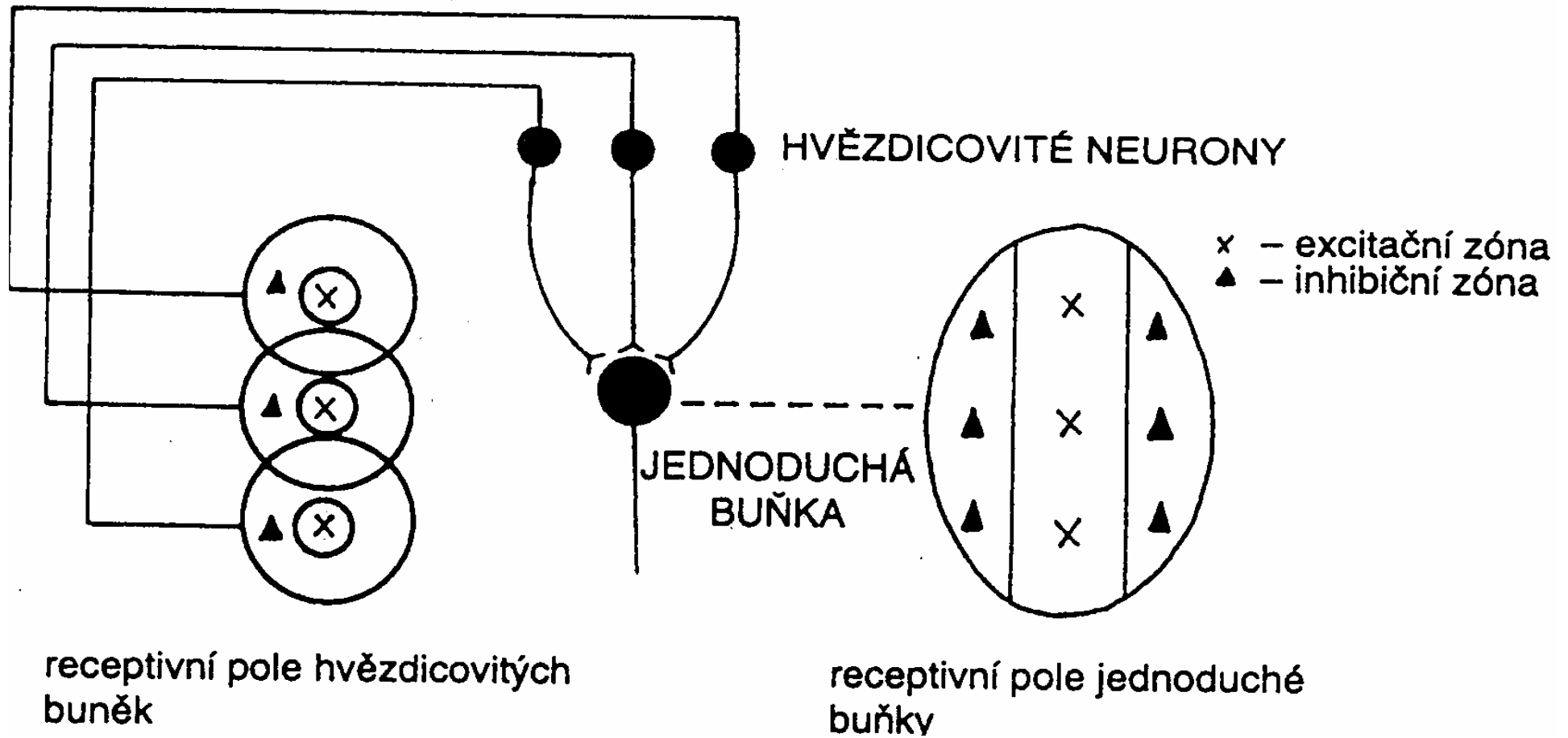
b NEUROBIOLOGY
Gary G. Matthews



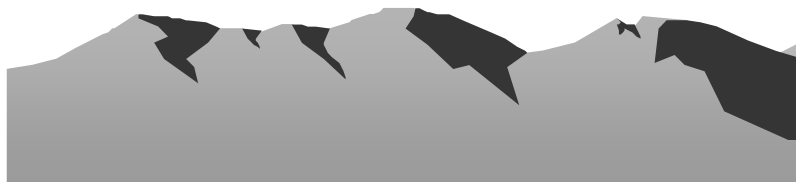
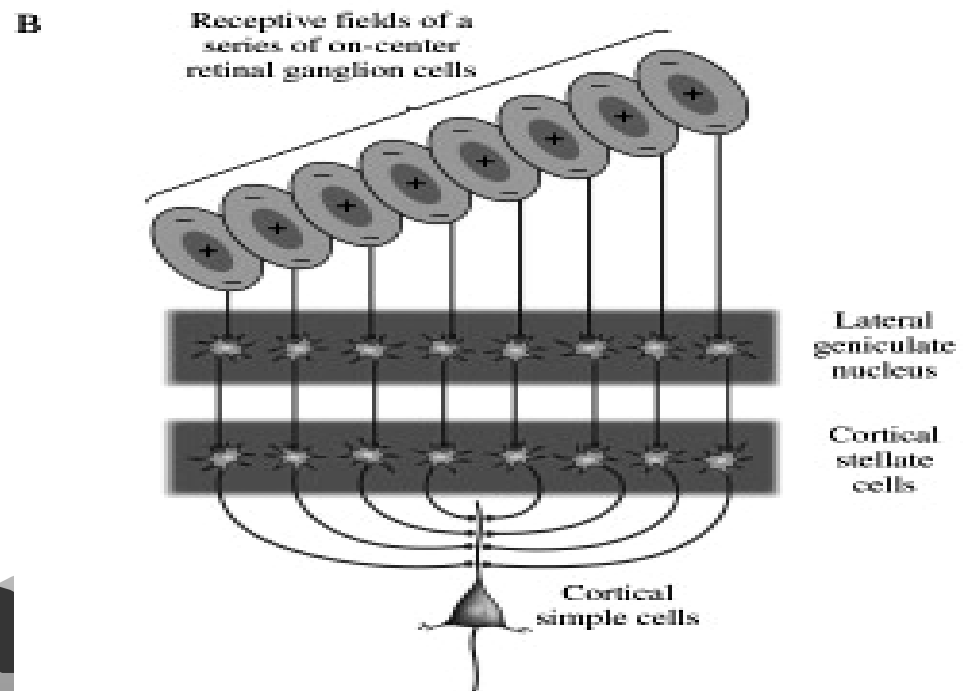
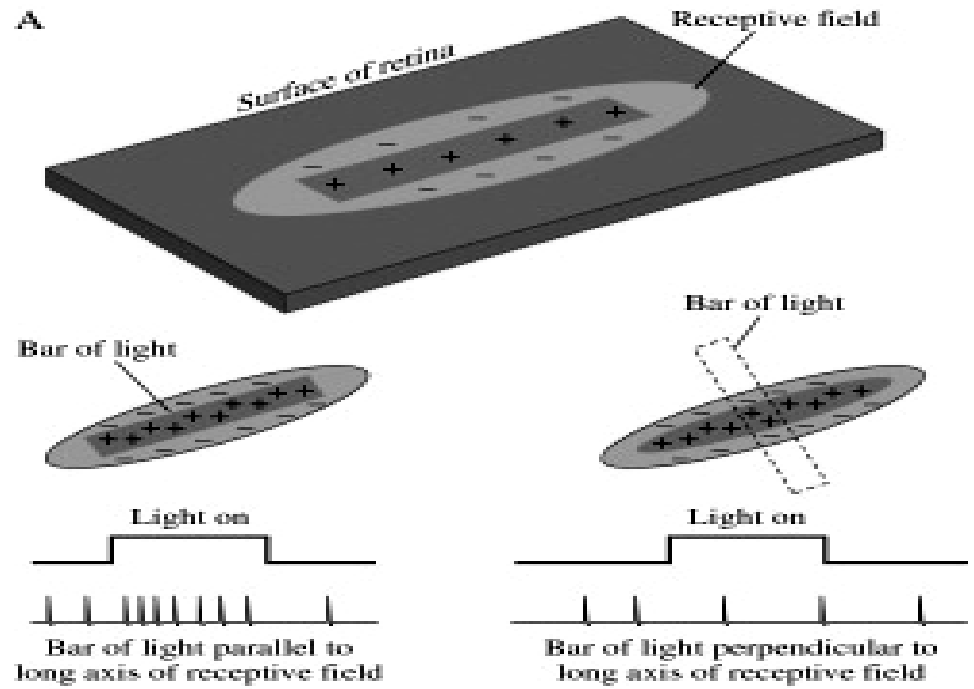
C. Kontrast pomocí recepčního pole (on-centrum)



Skládání recepčních polí. Hvězdicové a jednoduché buňky IV. korové vrstvy primární zrkové oblasti.

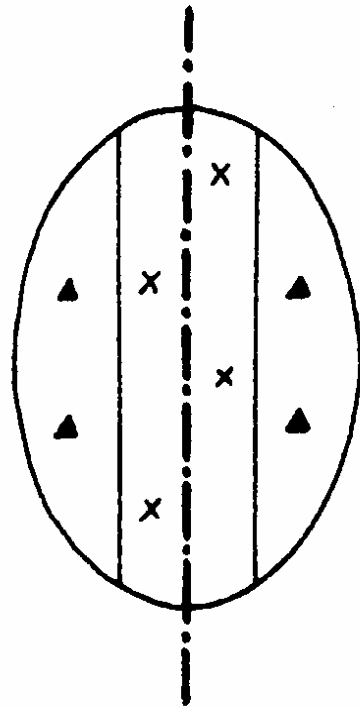


Jednoduchá buňka „měří“
sklon svého kontrastního pruhu

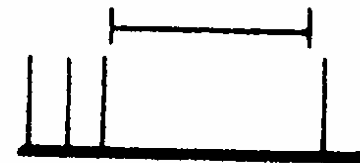
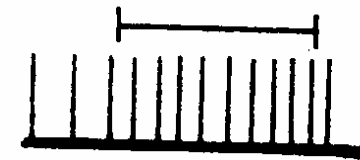
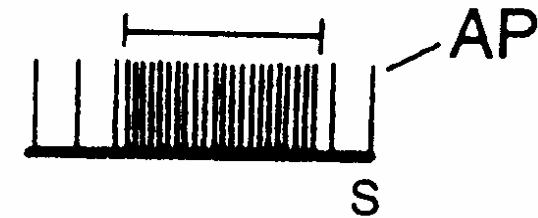
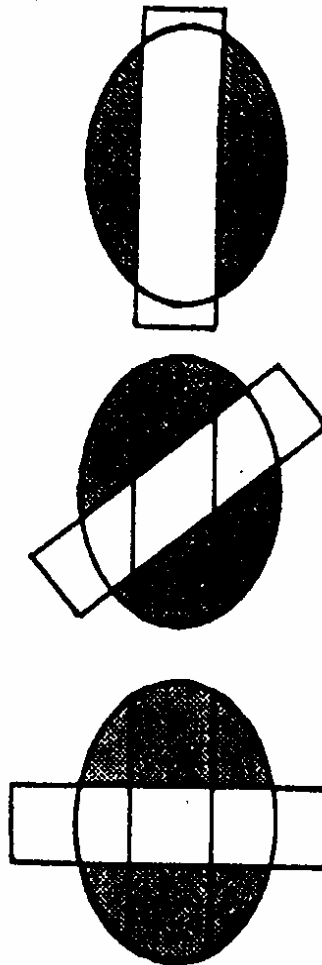


Jednoduchá buňka „měří“ pozici a sklon svého kontrastního pruhu

Receptivní pole
jednoduché buňky



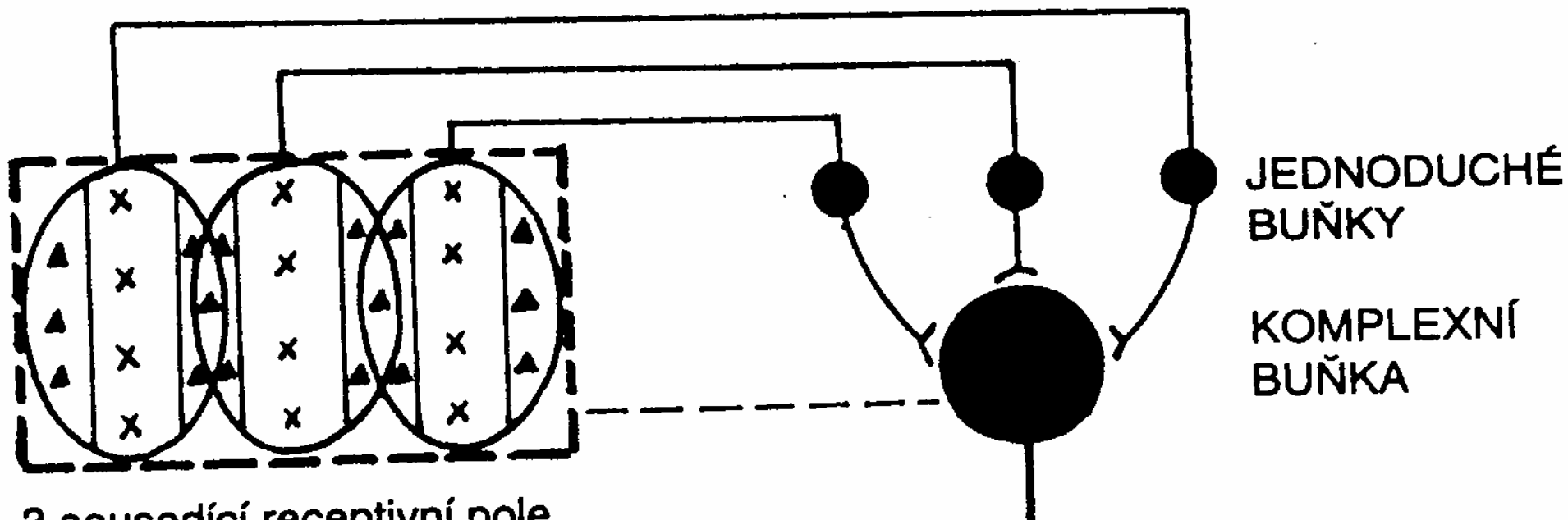
světelný
pruh



Vliv orientace vizuálního podnětu na elektrickou aktivitu jednoduché buňky. Úsečka nad záznamem elektrické aktivity značí trvání osvětlení v sekundách. AP – akční potenciál.

x – excitační zóna ▲ – inhibiční zóna

Komplexní buňka „měří“ sklon kontrastního pruhu bez ohledu na pozici na sítnici.



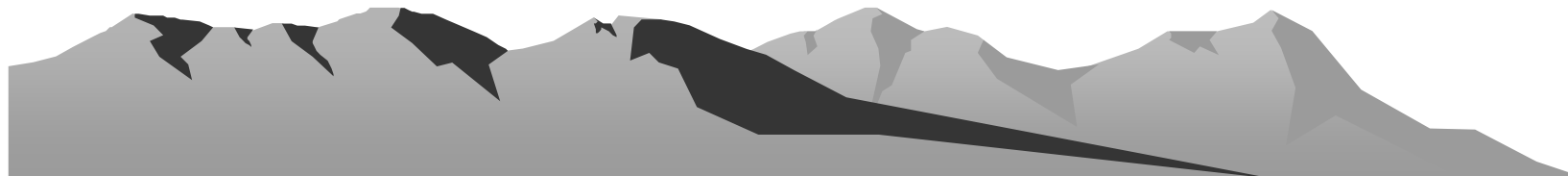
JEDNODUCHÉ
BUŇKY

KOMPLEXNÍ
BUŇKA

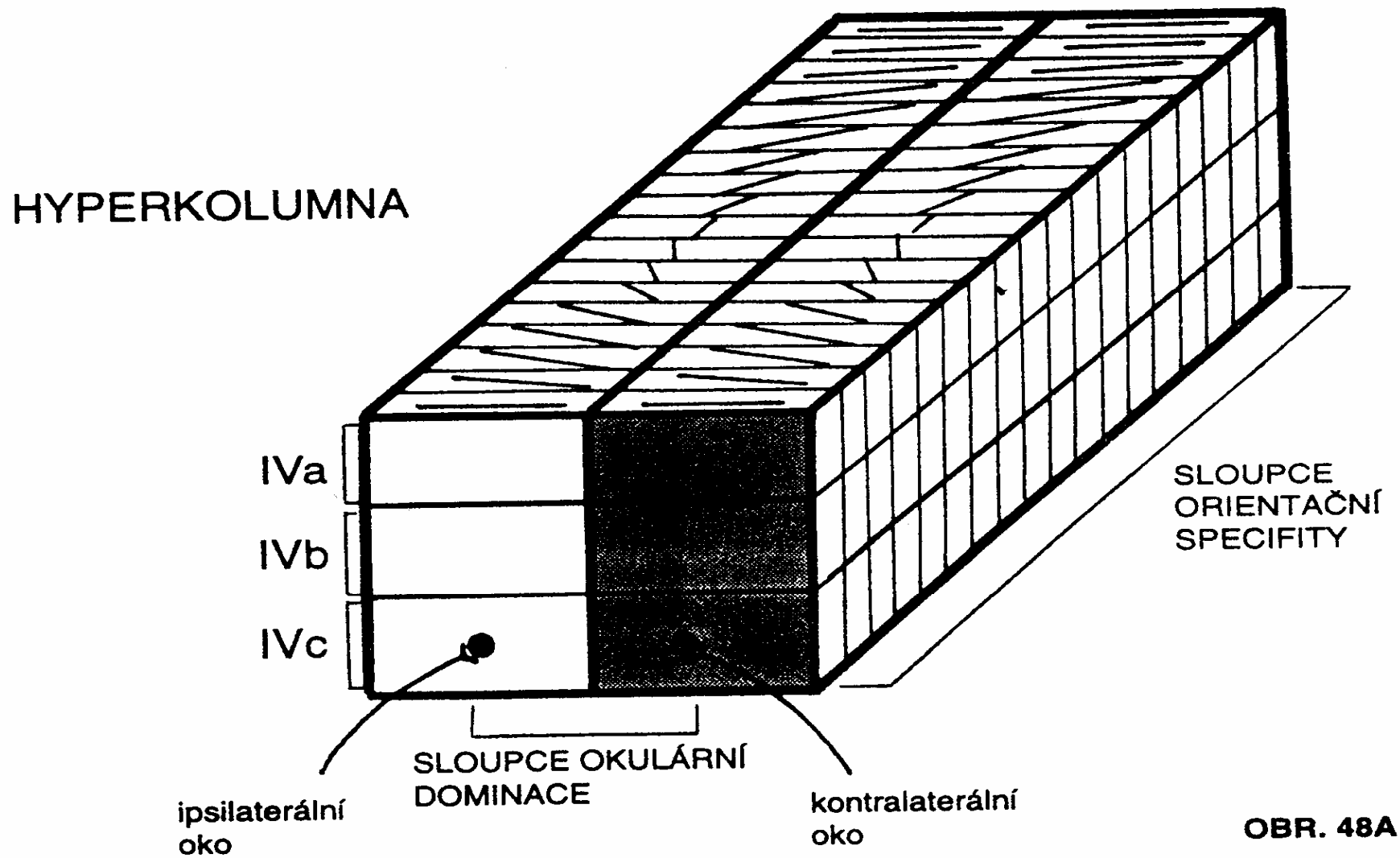
3 sousedící receptivní pole
jednoduchých buněk. V rámečku
zformované receptivní pole
komplexní buňky.

⊗ – excitační zóna

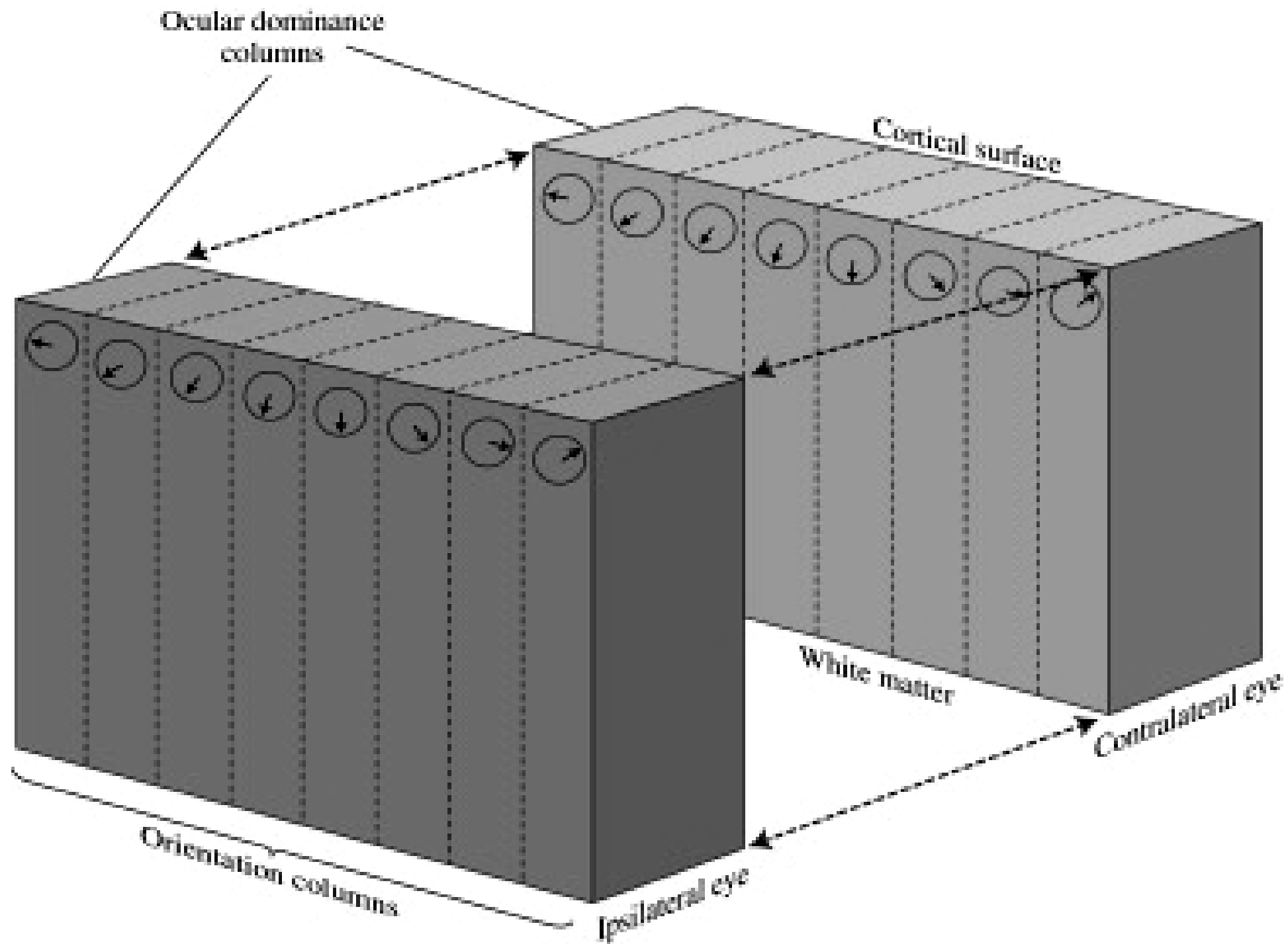
⊠ – inhibiční zóna



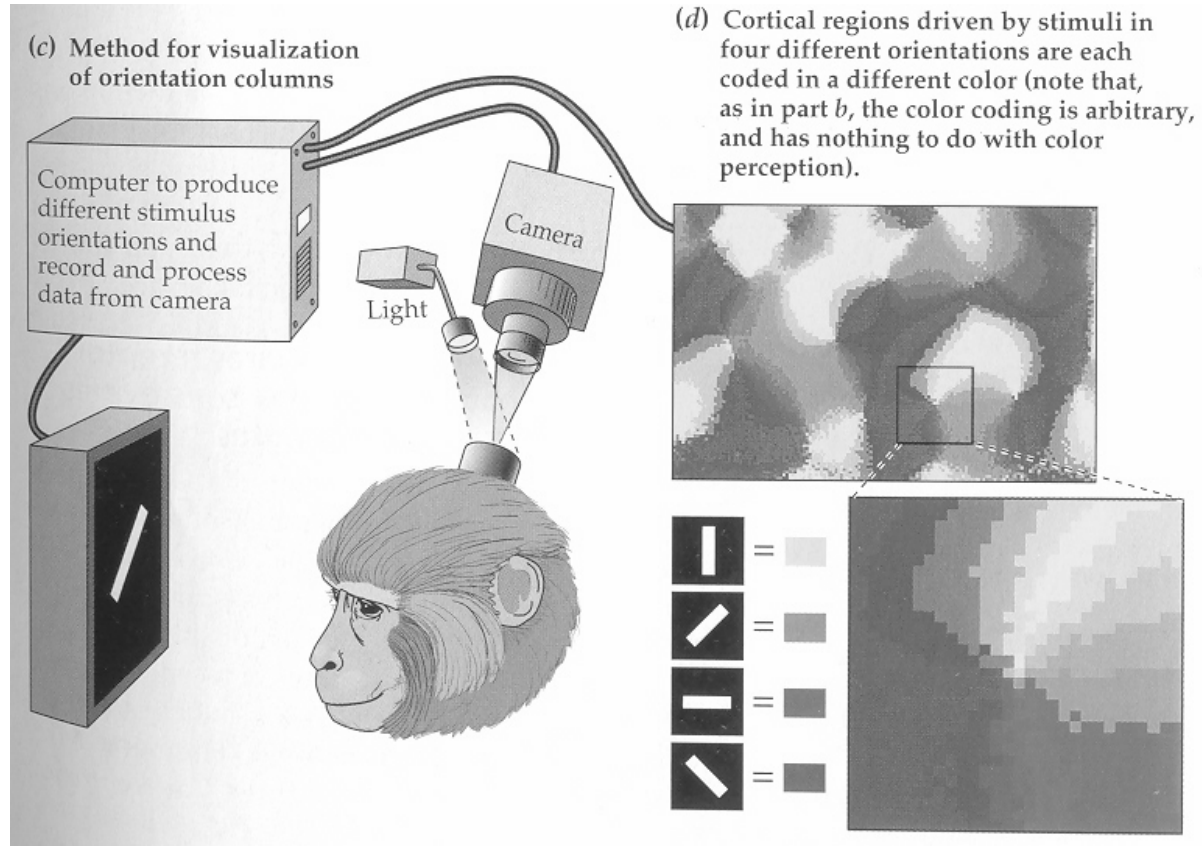
Komplexní orientačně selektivní buňky primární kůry tvoří „klávesnici“ podobnou tonotopické.



OBR. 48A



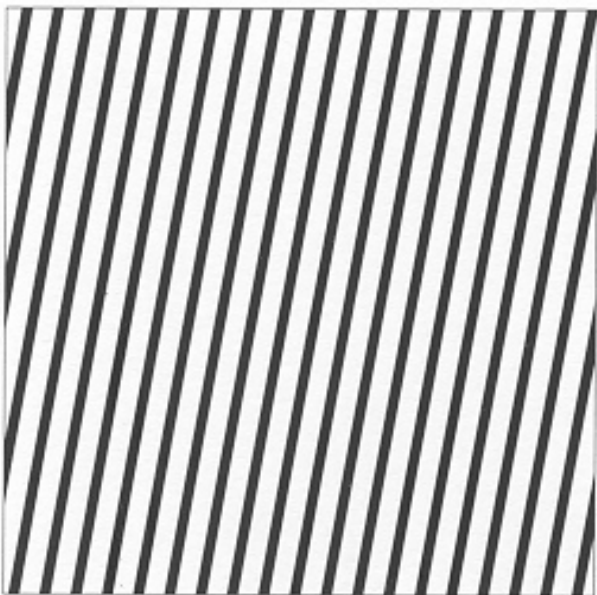
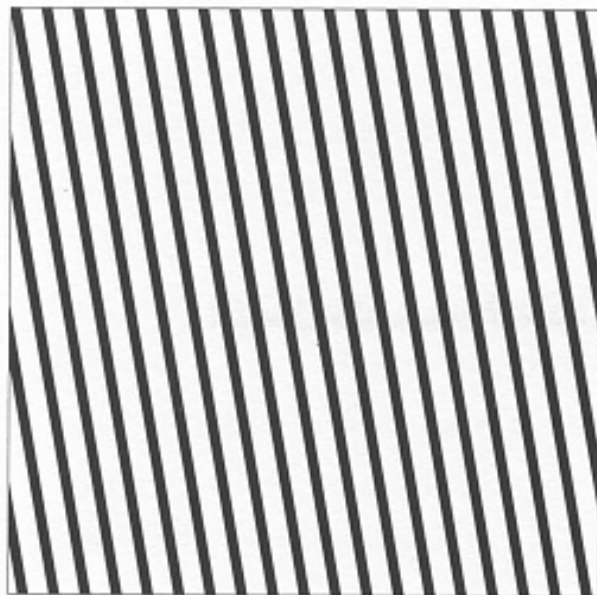
Komplexní orientačně selektivní buňky primární zrakové kůry makaka.



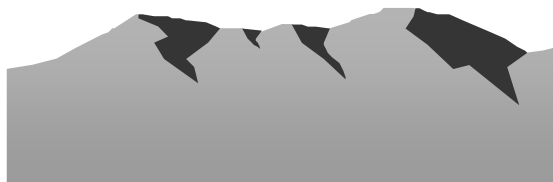
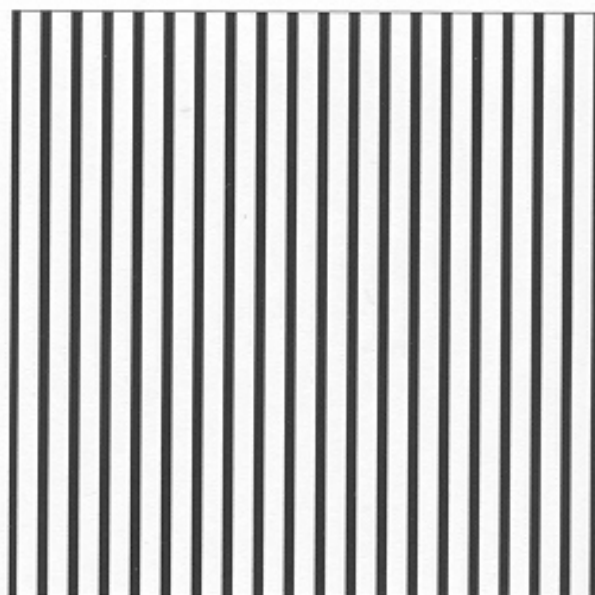
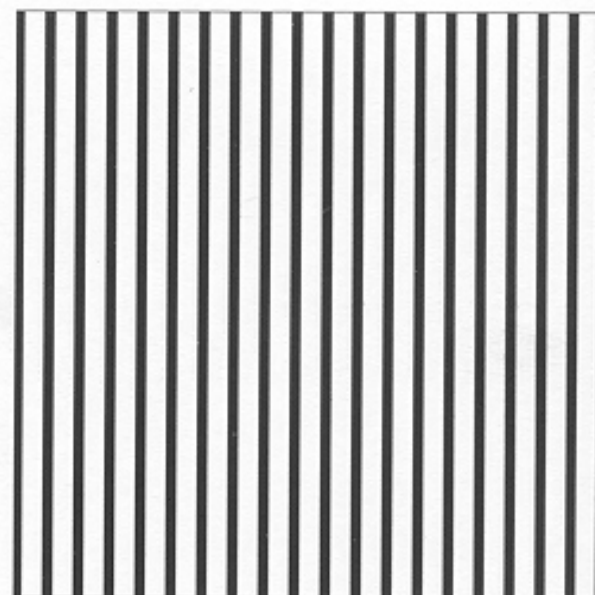
Selektivní adaptace a
orientačně
selektivní buňky.

Selektivní adaptace:
cesta do lidského
mozku

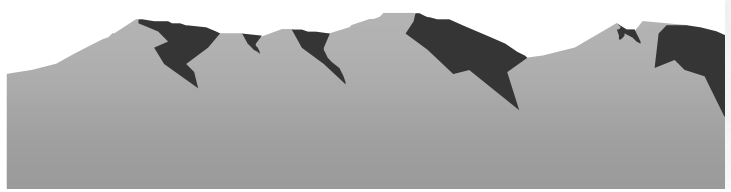
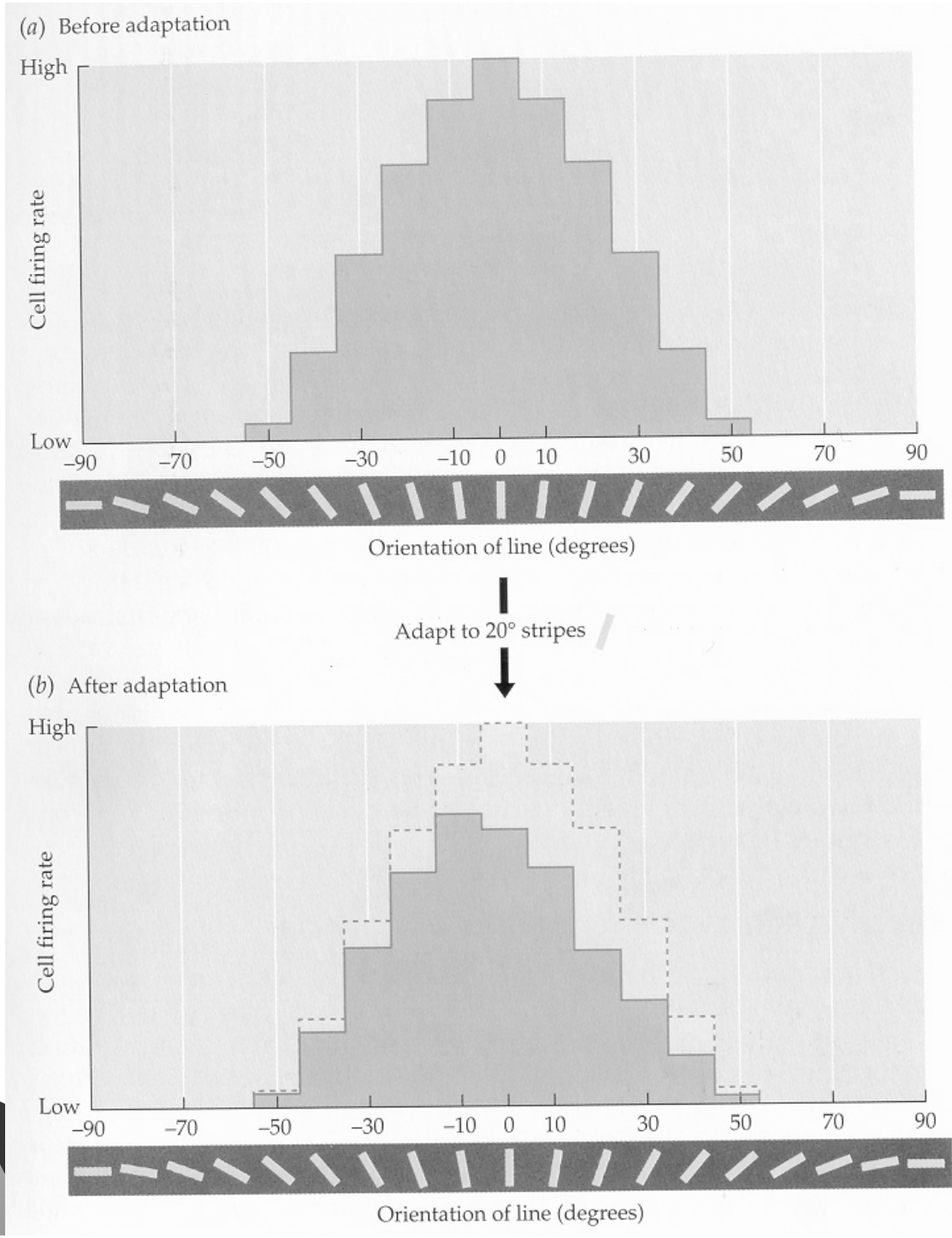
(a)



(b)

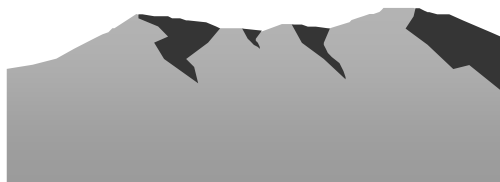
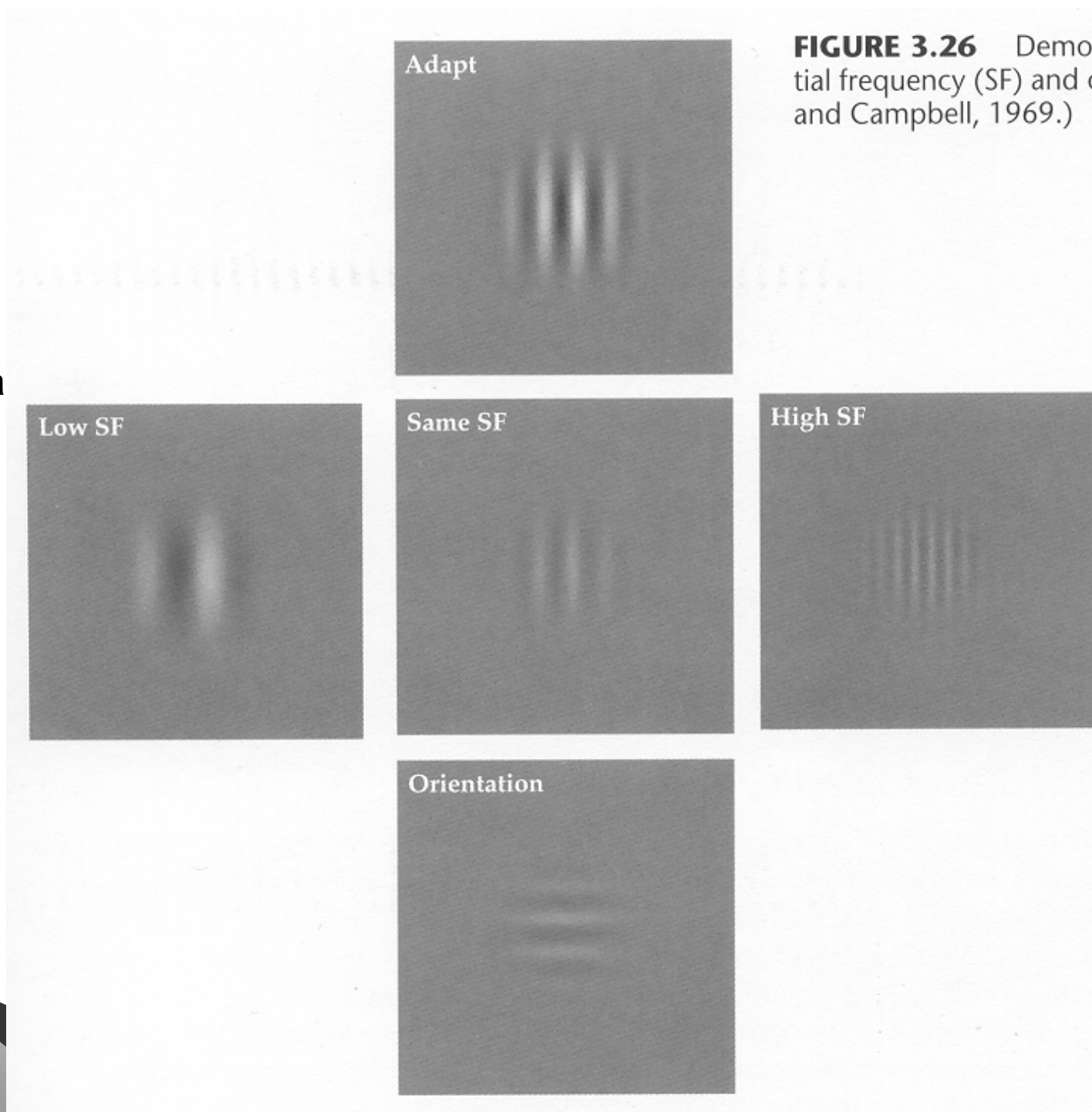


Vysvětlení:
20° buňky jsou po 1 min
adaptovány, unaveny
a přestávají přispívat do
vjemu vertikál.
Ve výsledku se vertikální linie
kácí.

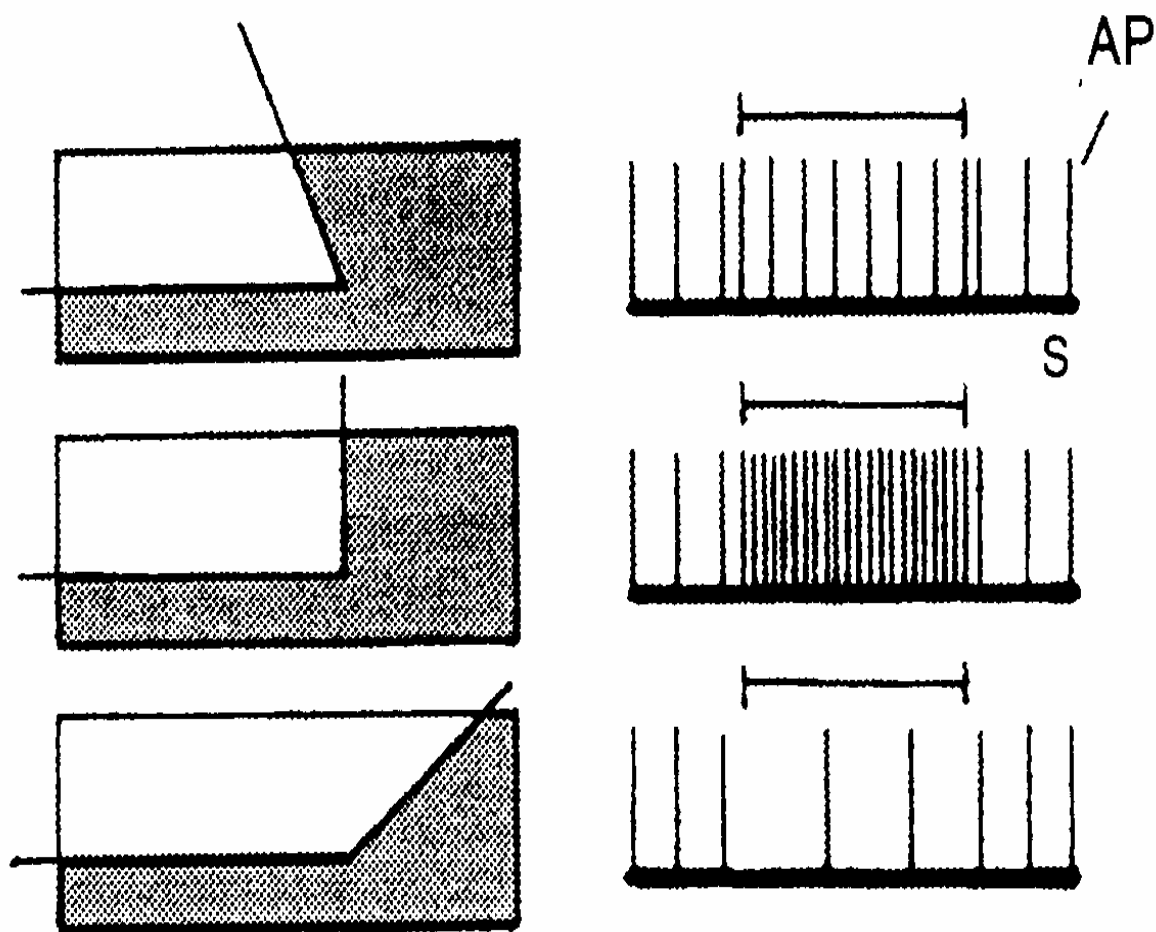


Selektivní adaptace a
kontrastně
selektivní buňky

Po adaptaci na
Konkrétní „frekvenci“,
je právě tato utlumena



Sekundární kůra, hyperkomplexní buňky

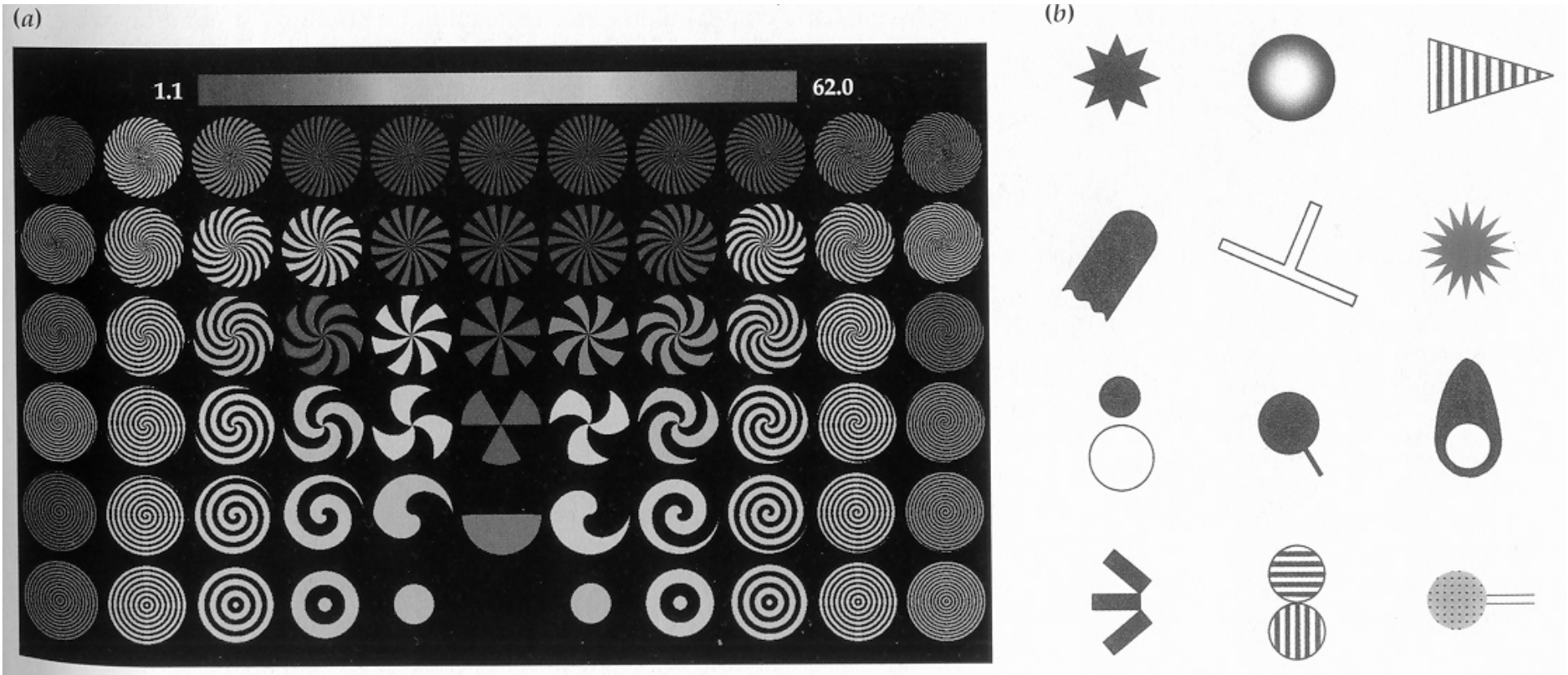


Vliv různého úhlu kontrastního vizuálního podnětu na elektrickou aktivitu hyperkomplexní buňky. Úsečka nad záznamem elektrické aktivity značí trvání osvětlení v sekundách.

AP – akční potenciál.

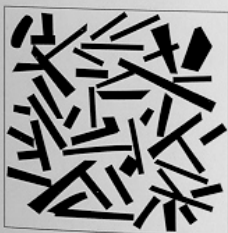
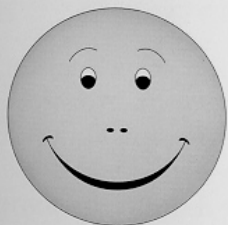
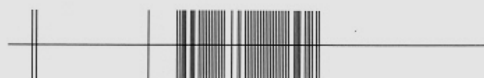
OBR. 49A





10.21 Complex Stimuli Evoke Strong Responses in Visual Cortex

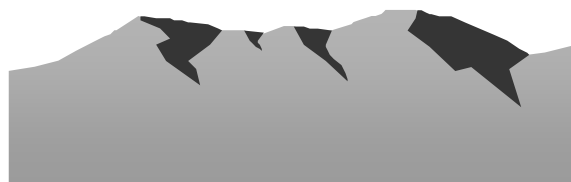
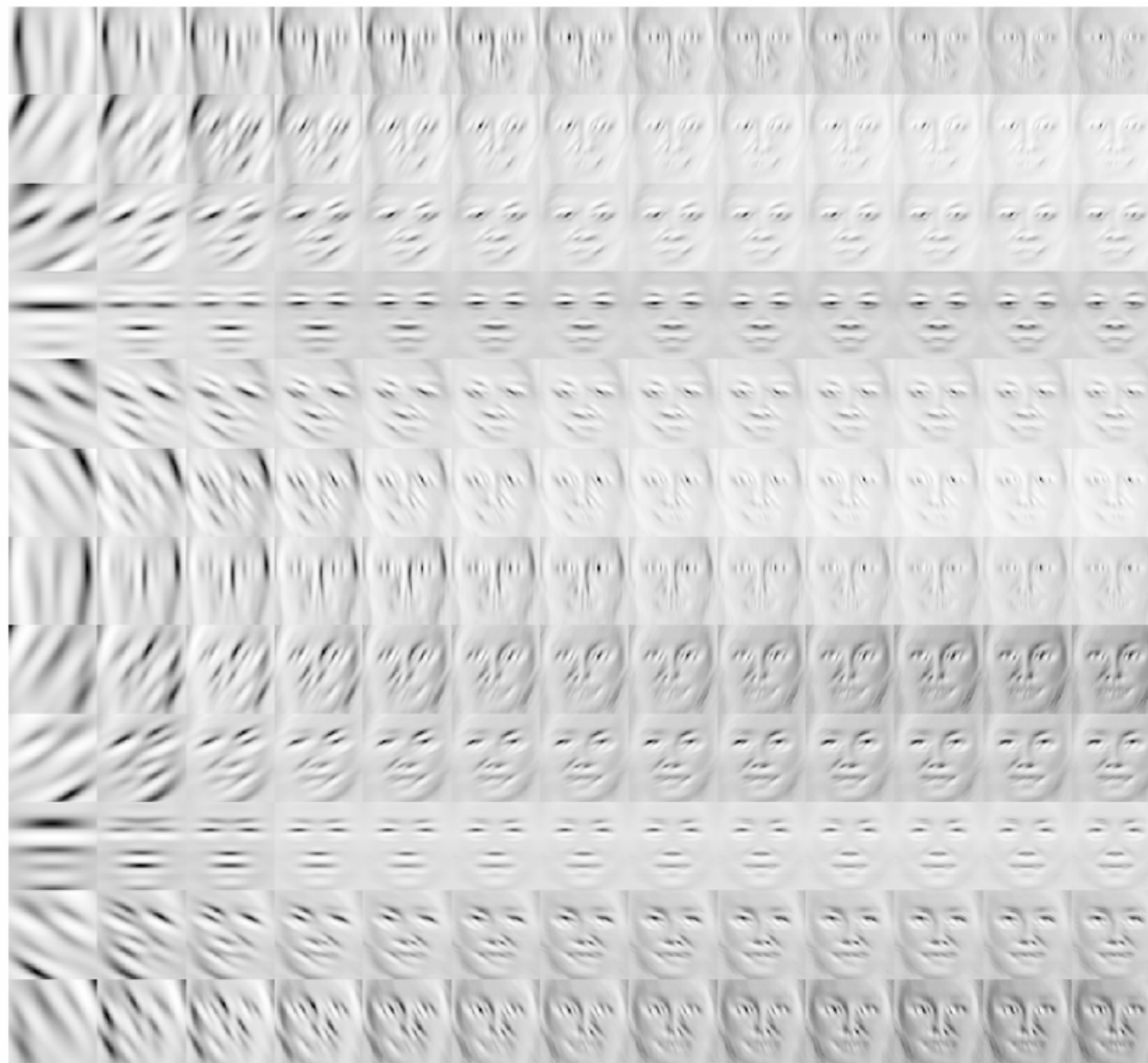
(a) These concentric and radial stimuli evoke maximal responses from some cells in visual cortical area V4. The stimuli that evoked the highest response rates (see scale bar) are shown in red and orange. (b) These 12 examples illustrate the critical features of stimuli that evoke maximal responses from cells in the anterior inferior temporal area. (Part a from Gallant et al., 1993, courtesy of Jack Gallant; b from K. Tanaka, 1993, courtesy of Keiji Tanaka.)



„Grandmother’s cells“ Na tvář selektivní buňky

FIGURE 4.33 Cells in the inferotemporal cortex of macaque monkeys are interested in very specific stimuli. In this case, the cell responds vigorously to a monkey face and to some other stimuli that seem related. (After Gross, Rocha-Miranda, and Bender, 1972.)

„Skládání“ tváří z jednodušších rysů.

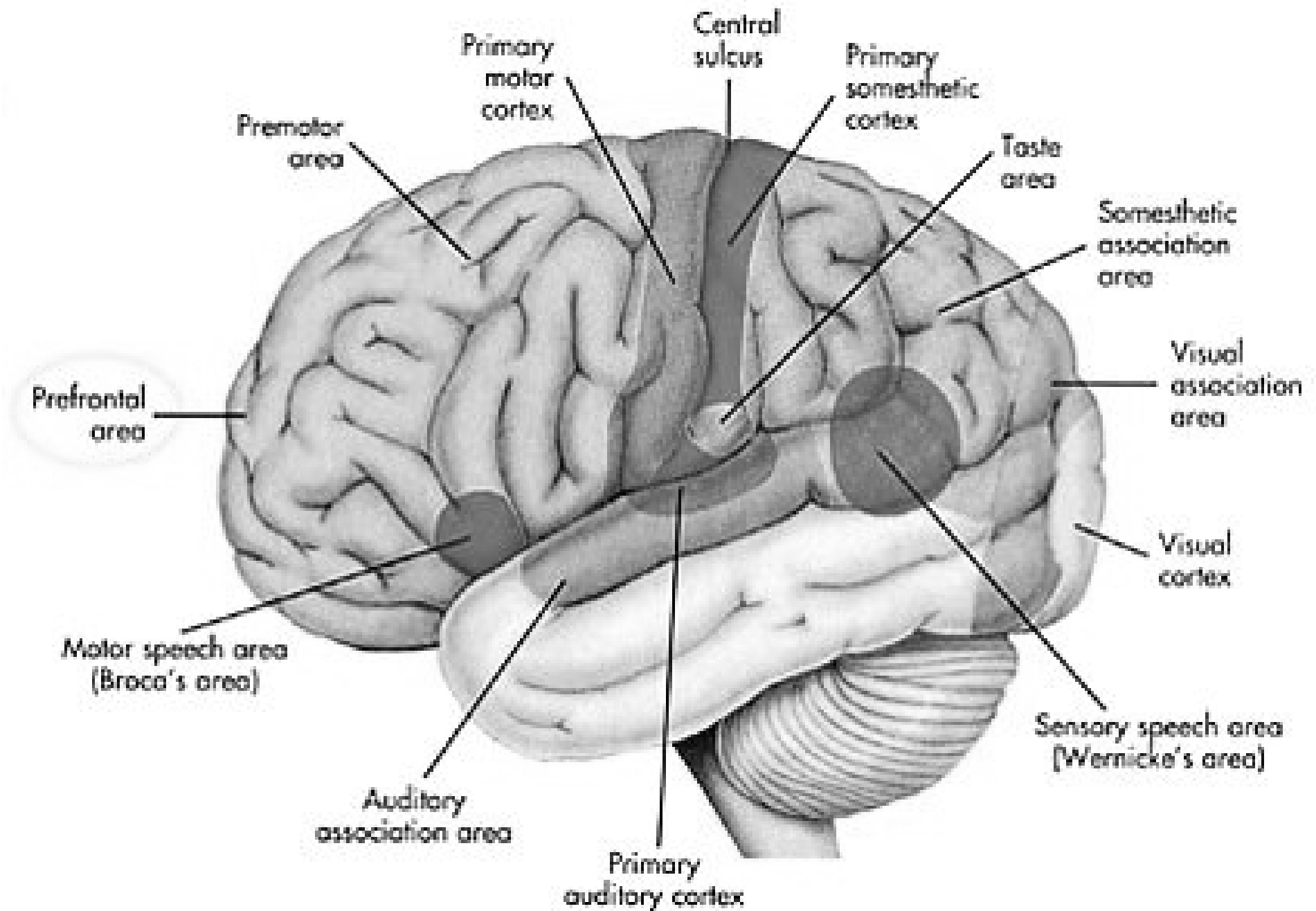


- **Iluze osvětlení – světelná stálost**

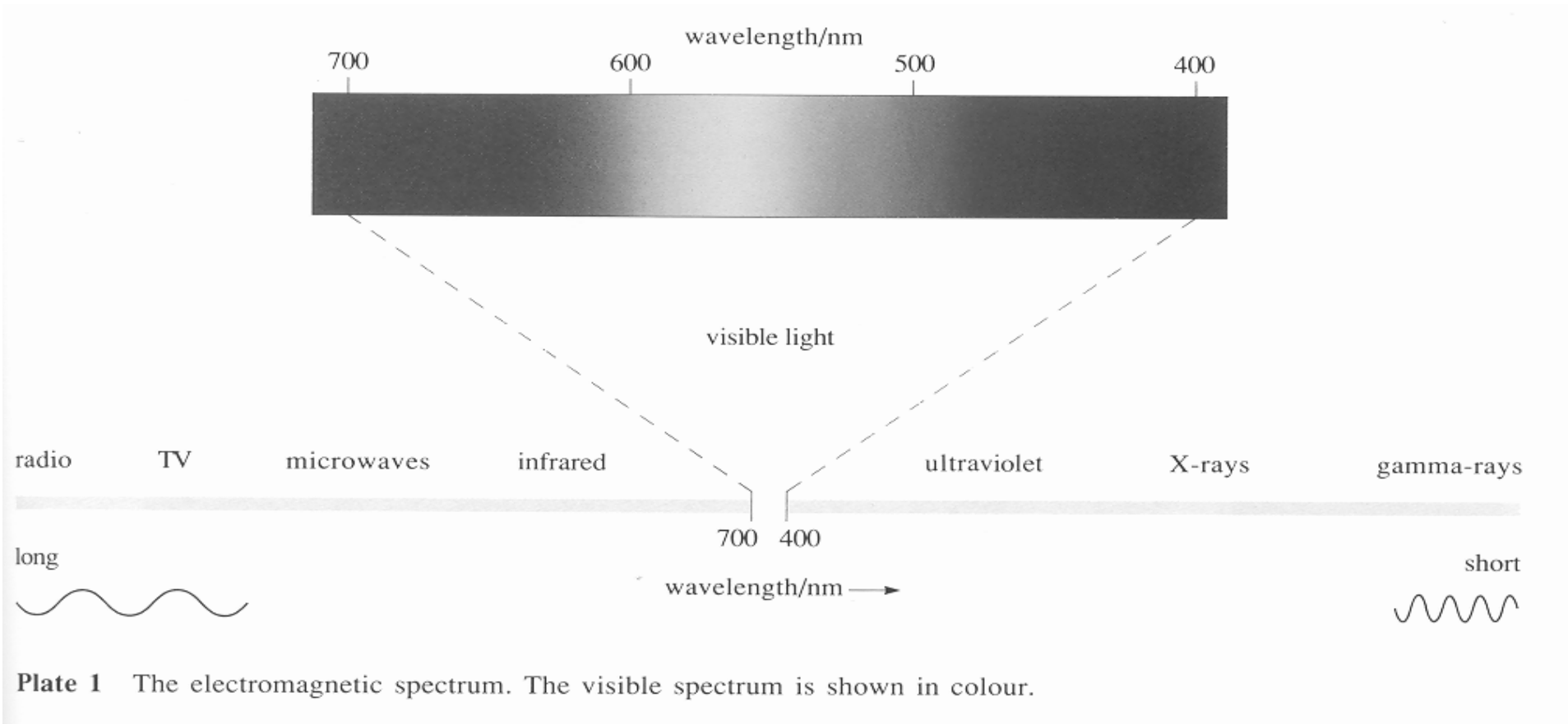
Hnědá čokoláda za jasného dne odráží méně světla než papír za šera, ale stejně ji vnímáme jako tmavou.

Automatické předpoklady našeho vnímání





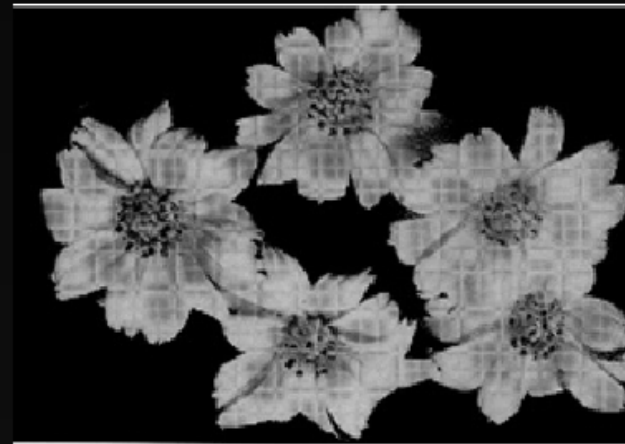
Barevné vidění



Posunutá spektrální
citlivost = jiný pohled.

Neznamená nutně barevné
vidění

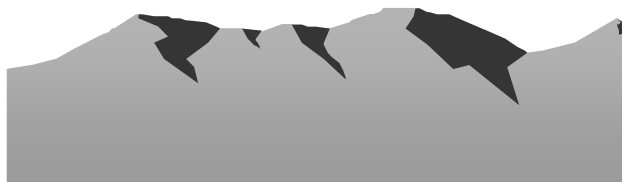
The ability to detect ultraviolet light



Human's view.



**Insect's view (simulated
through UV film.**



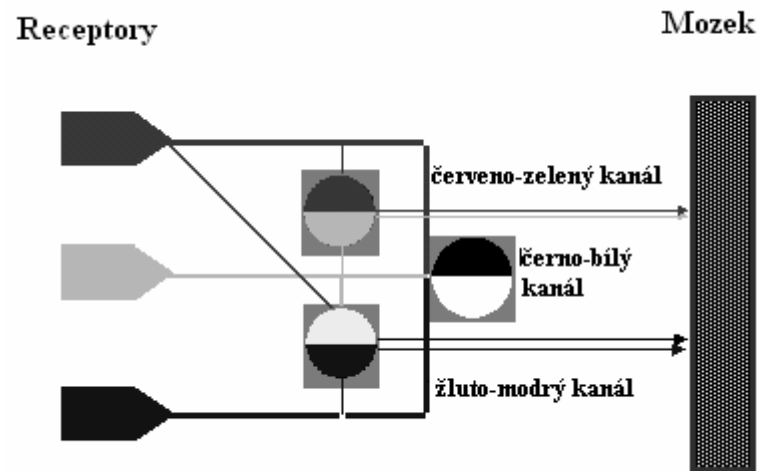
Barevné vidění:

Další kvalita zraku

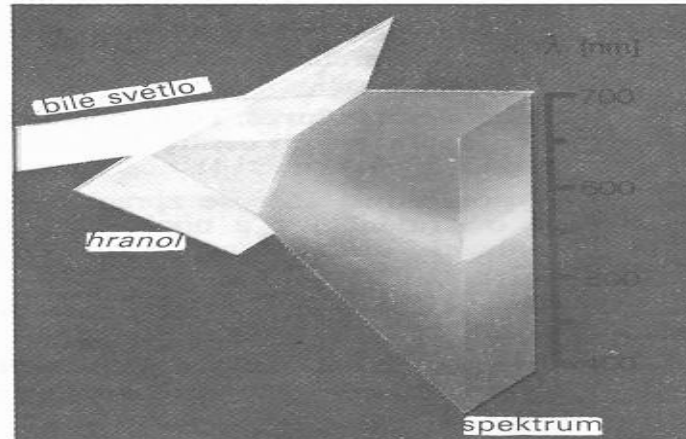
Jeden receptor barvu nerozezná, je potřeba nejméně dva druhy barevně selektivních fotoreceptorů



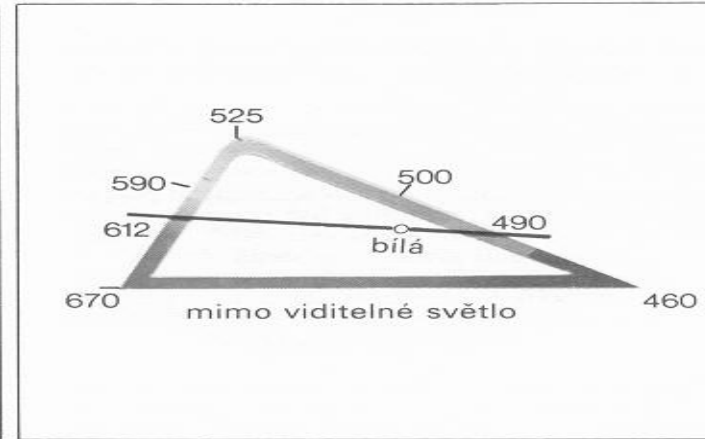
Trichromatické teorie, Young-Helmholtz Oponentní kódování, Hering



Trichromatické skládání

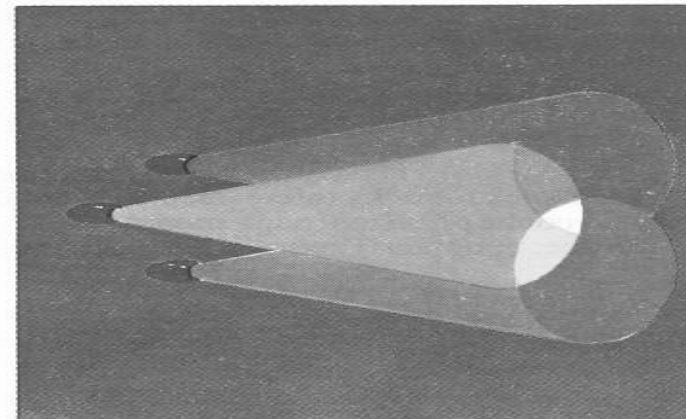


A. Složení slunečního světla

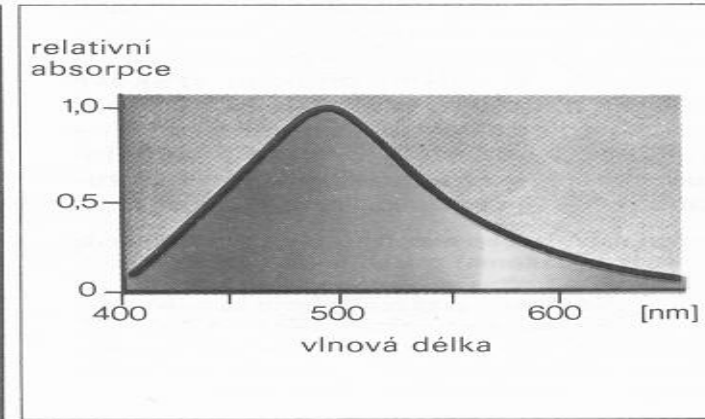


B. Barevný trojúhelník

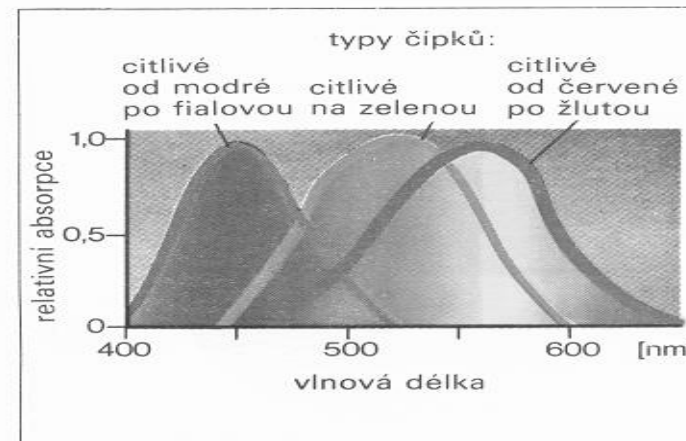
(podle Kriese)



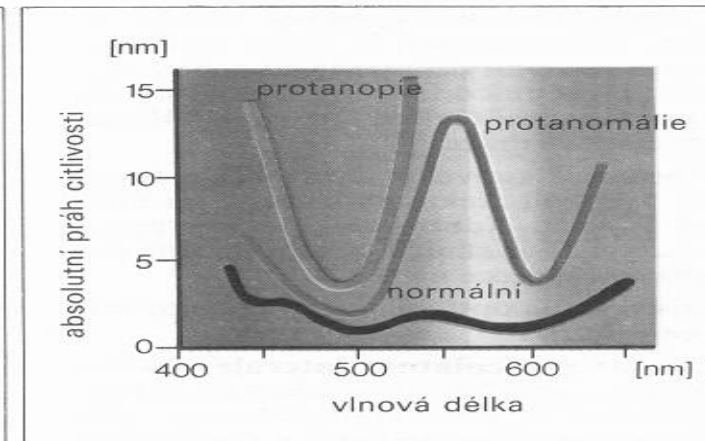
C. Aditivní míšení barev



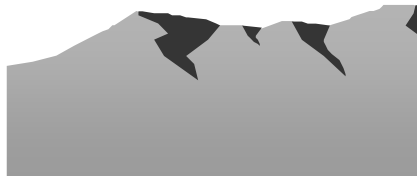
D. Absorpce světla rodopsinem



E. Absorpce světla třemi typy čípků



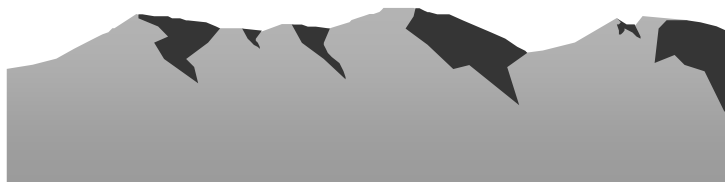
F. Práh citlivosti pro vlnové délky



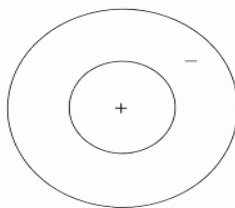
Barevná oponence

Neexistuje červenozelená
nebo modrožlutá

Simultánní barevný
kontrast



luminance sensitive
retinal ganglion cell



double opponent
cortical cell

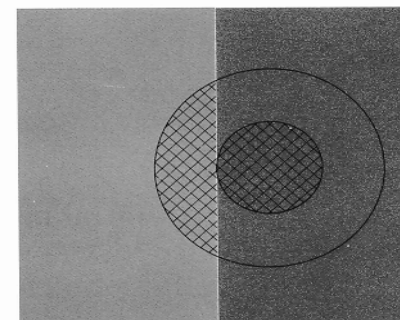
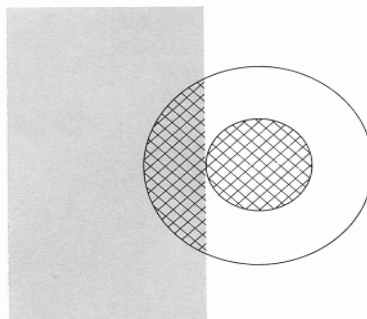
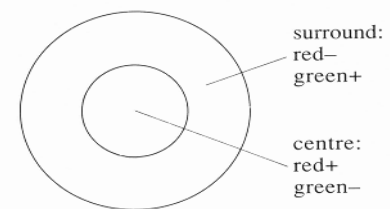


Plate 4 Double opponent receptive fields.

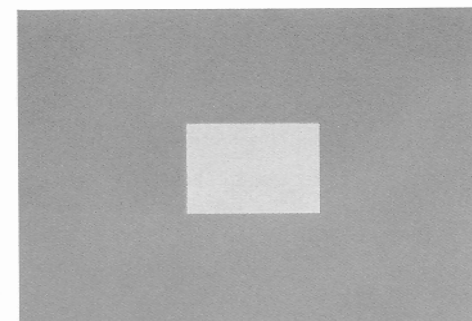
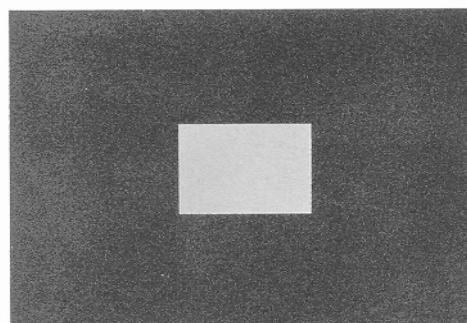
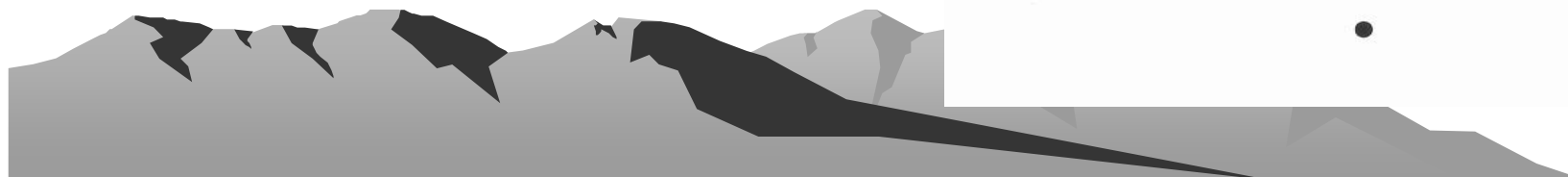
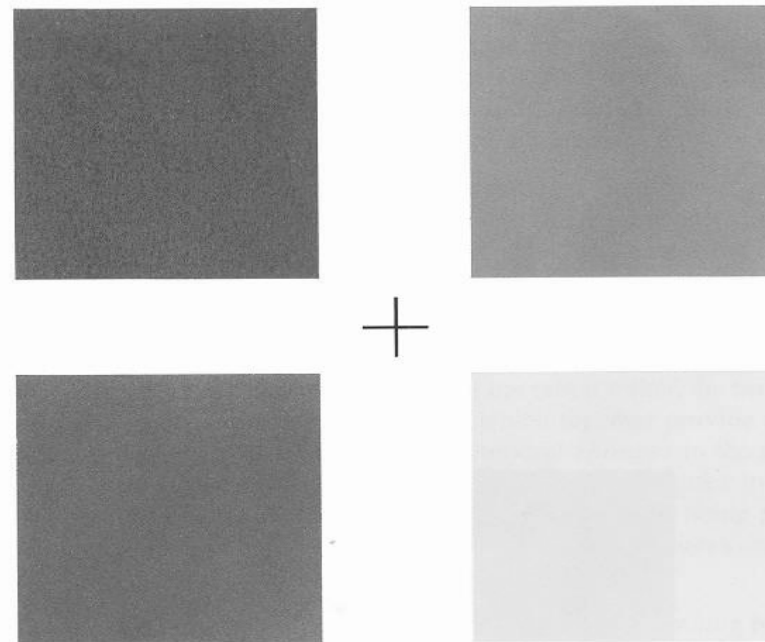
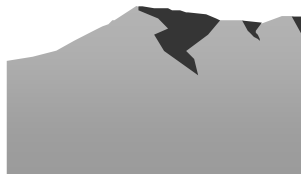
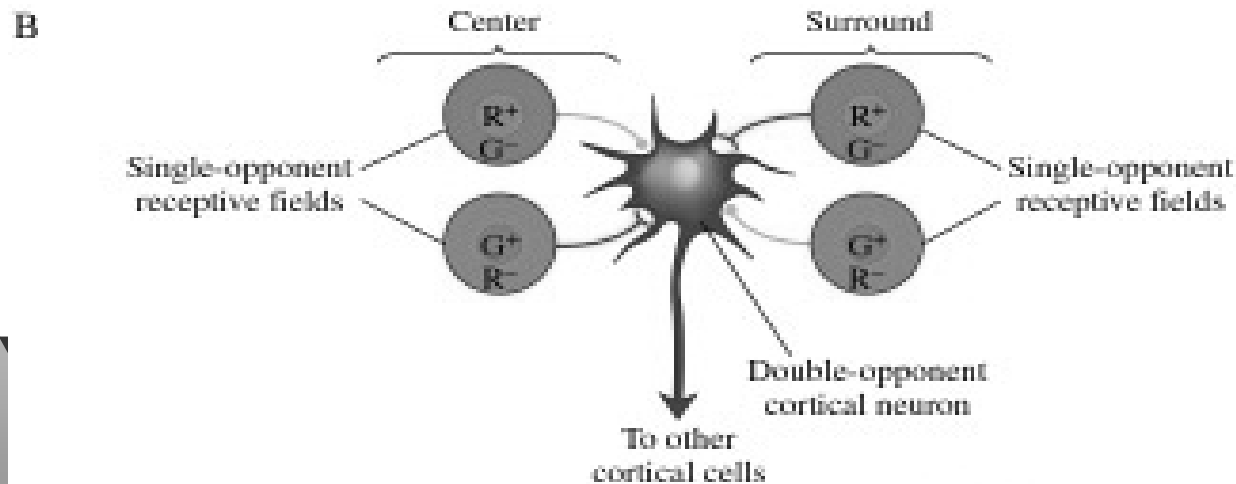
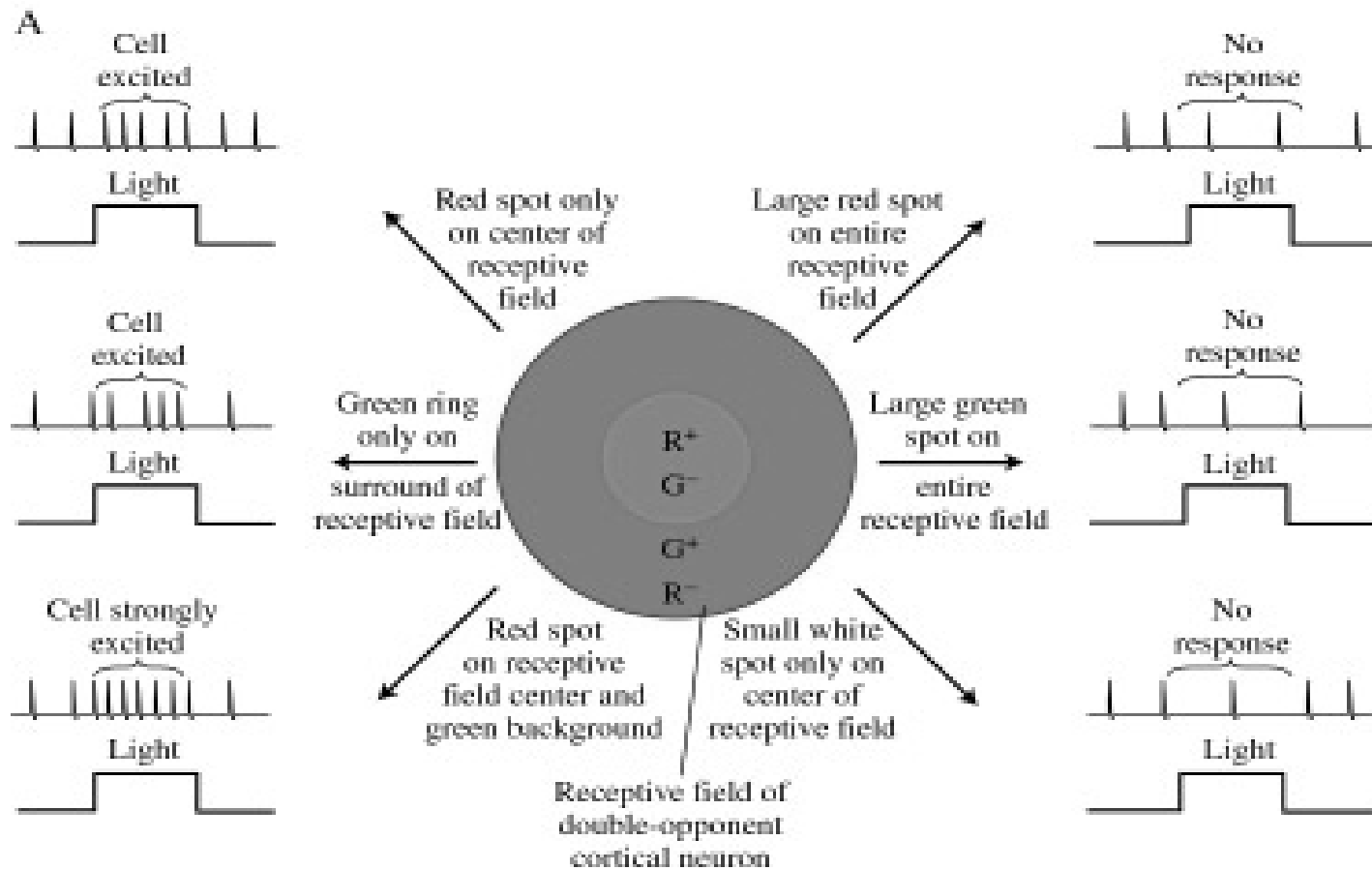


Plate 5 Simultaneous colour contrast.

Negative afterimages
Selektivní adaptace a
barevně
selektivní buňky

<http://www.sinauer.com/wolfe/chap5/afterimagesF.htm>





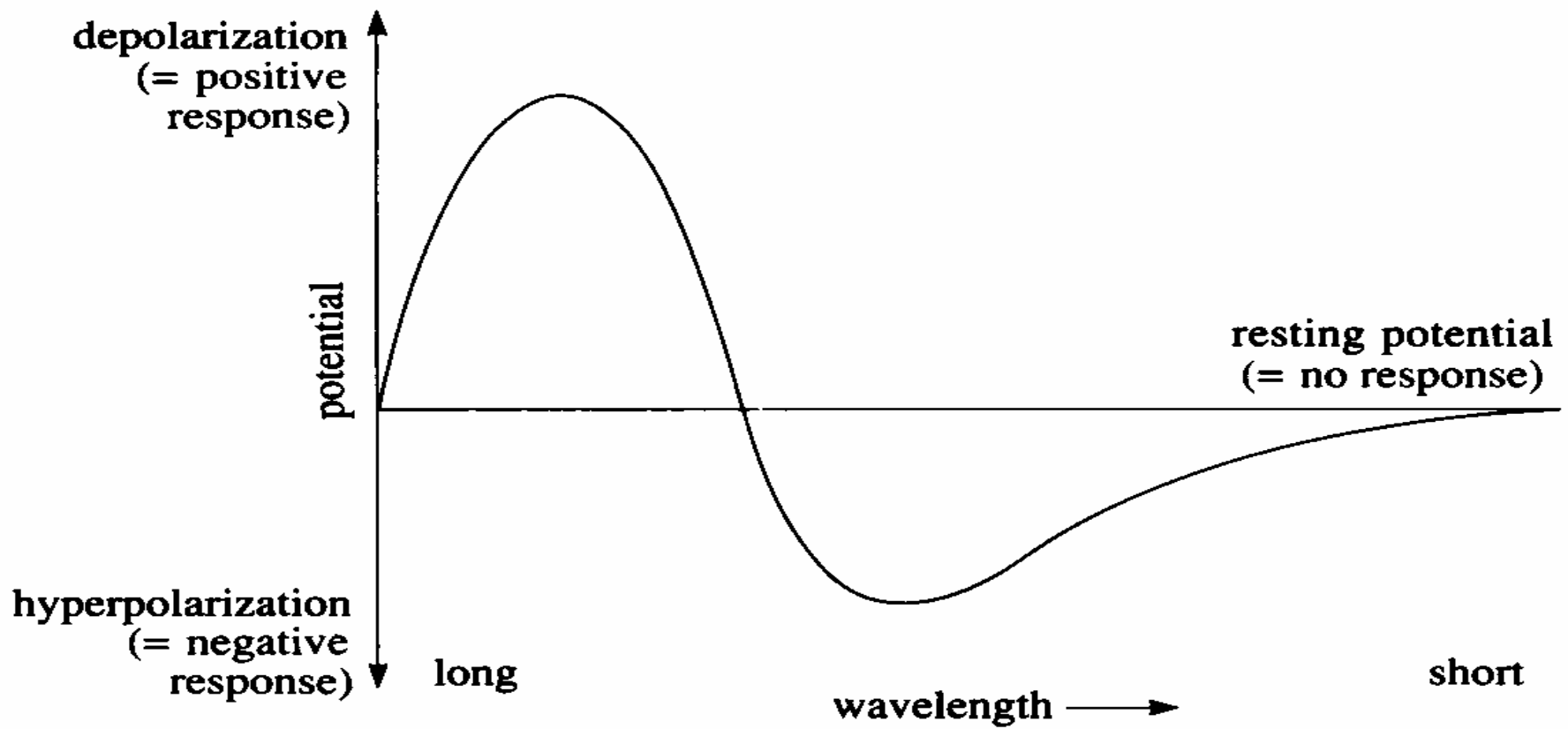
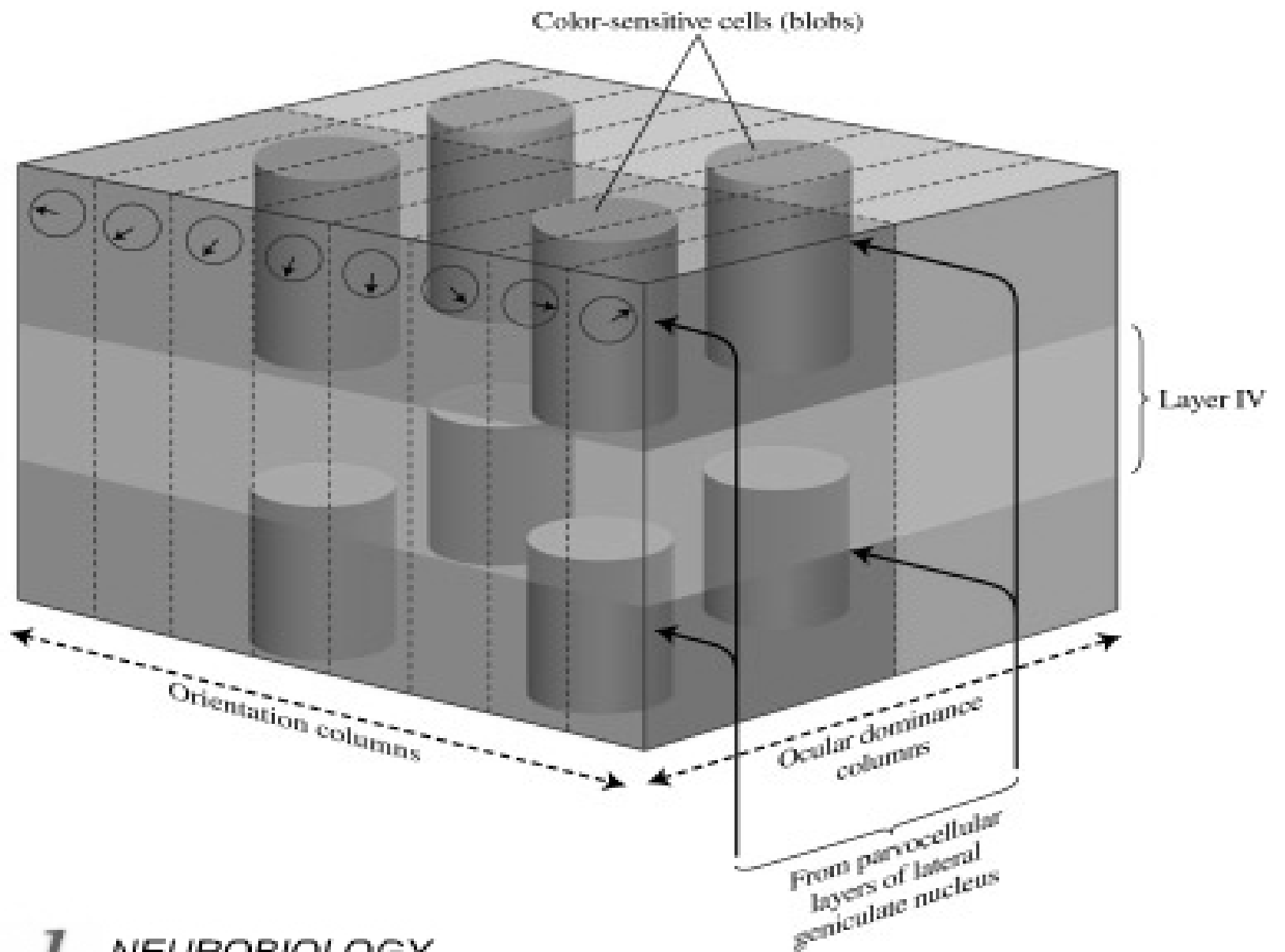


Figure 4.35 Response of a typical colour opponent bipolar cell.

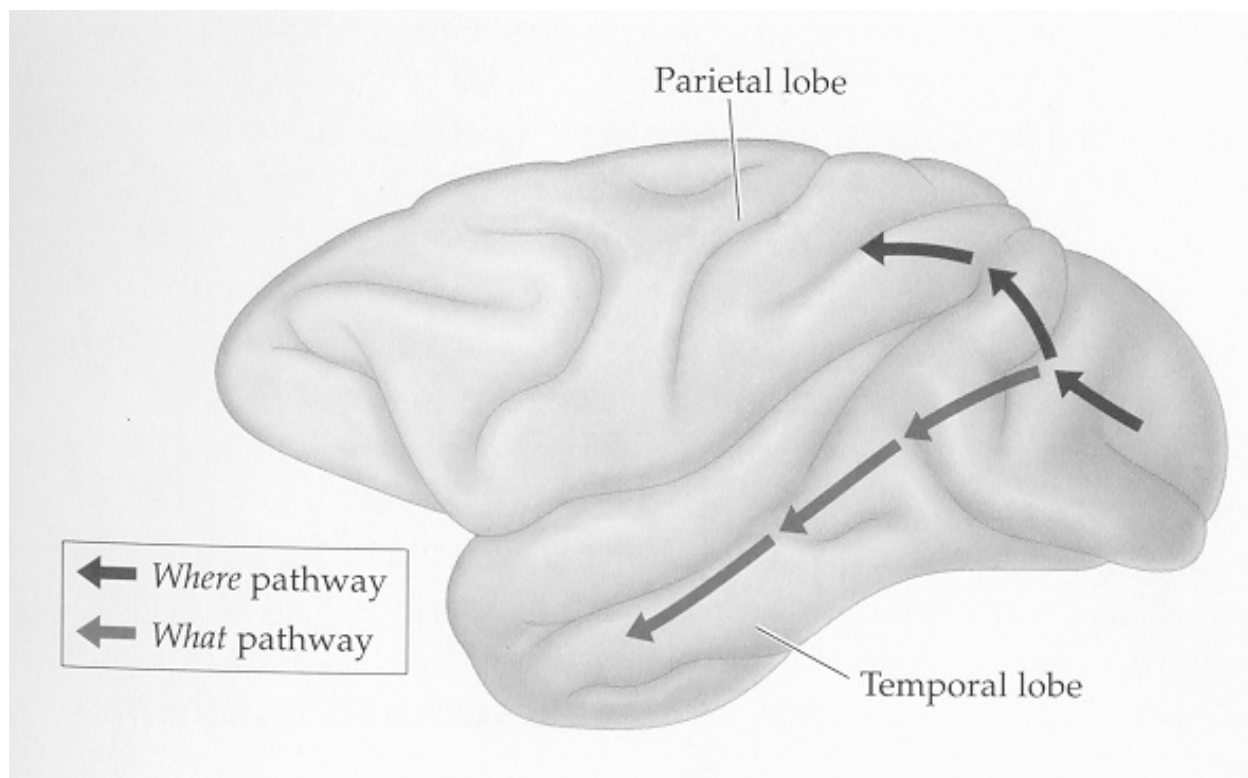




- Barevná stálost: barvy předmětů osvětlené různými zdroji světla jsou stále

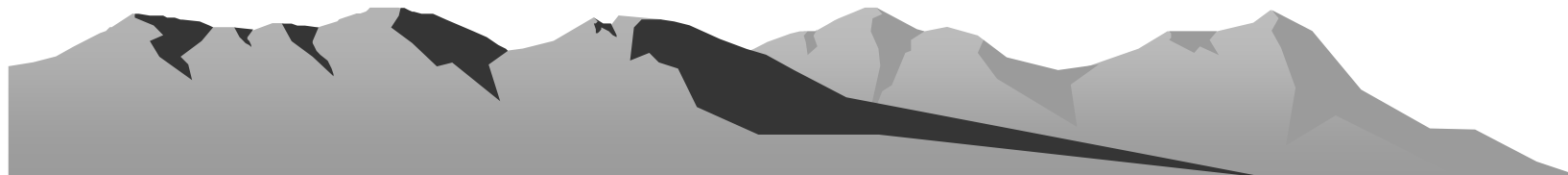


Vnímání pohybu



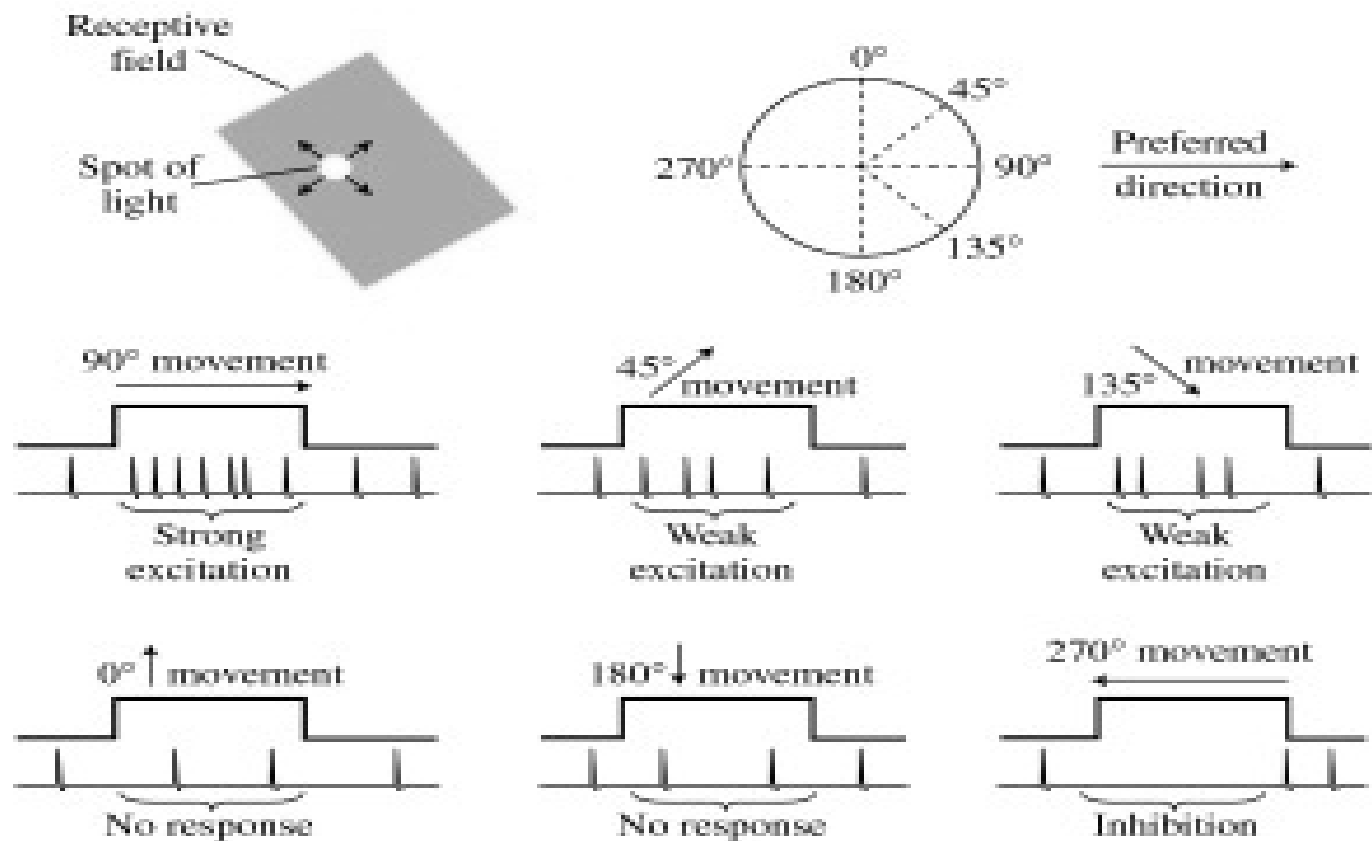
Jak je pohyb důležitý - <http://www.sinauer.com/wolfe/chap7/mottypesF.htm>

Zdánlivé pohyby

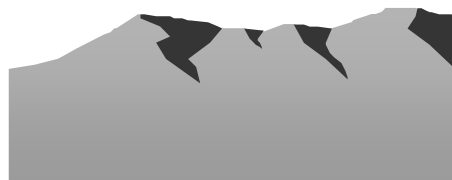
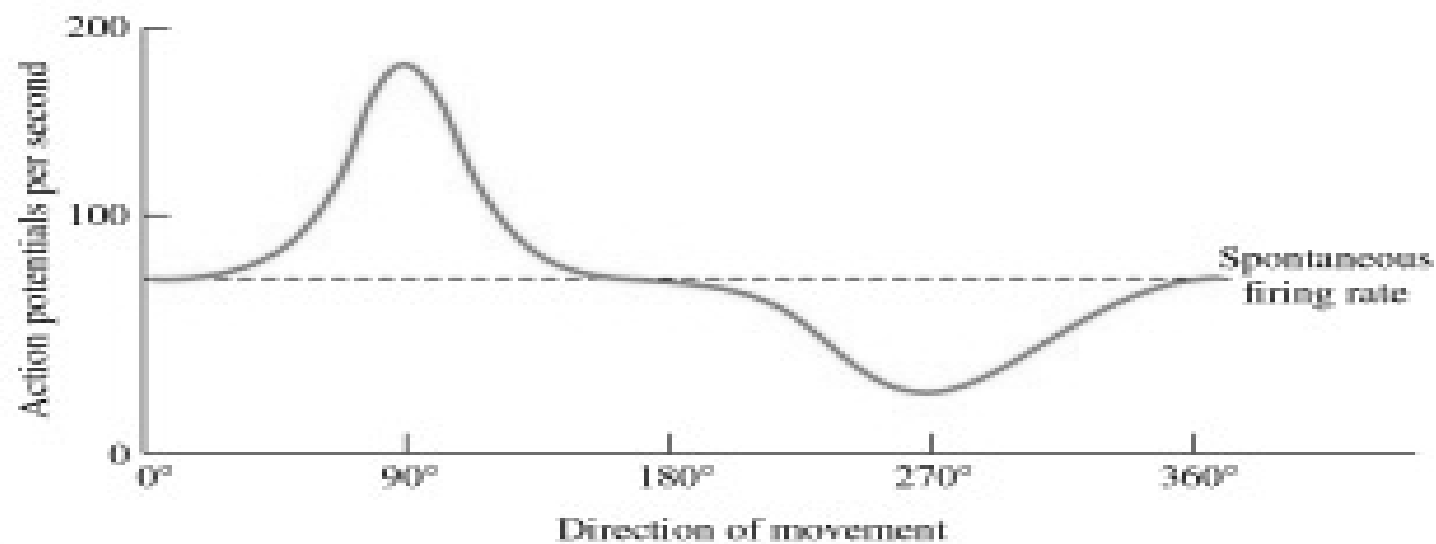


Specialista na směr

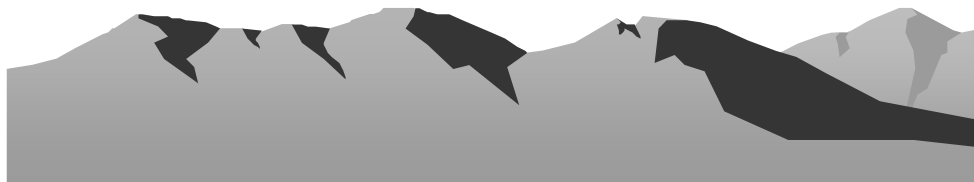
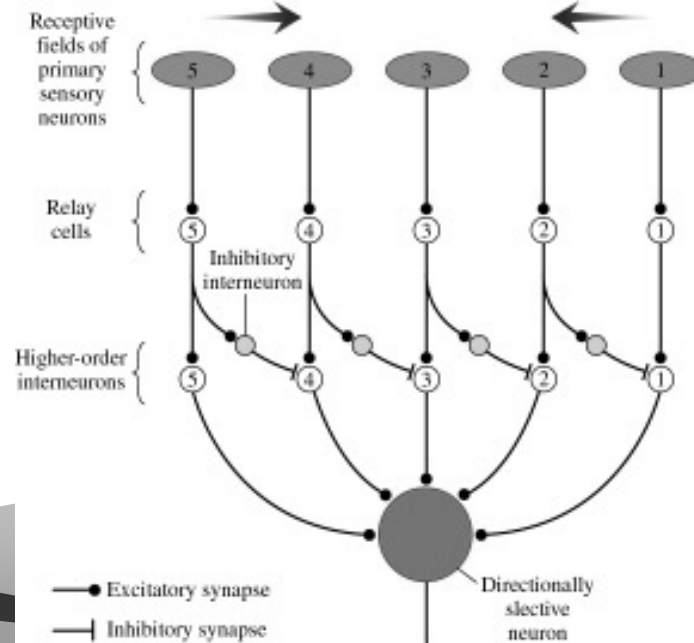
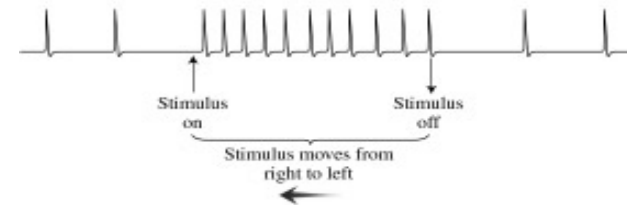
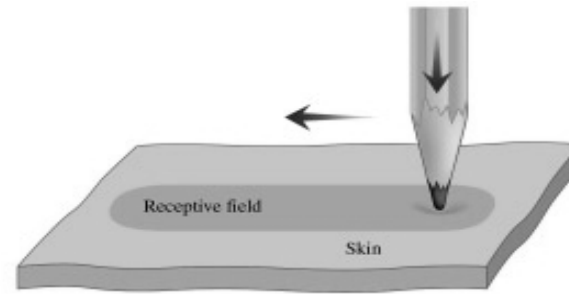
A



B



Detektor směru pohybu



Detektor rychlosti

- http://www.sinauer.com/wolfe/chap7/motion_detectorF.htm

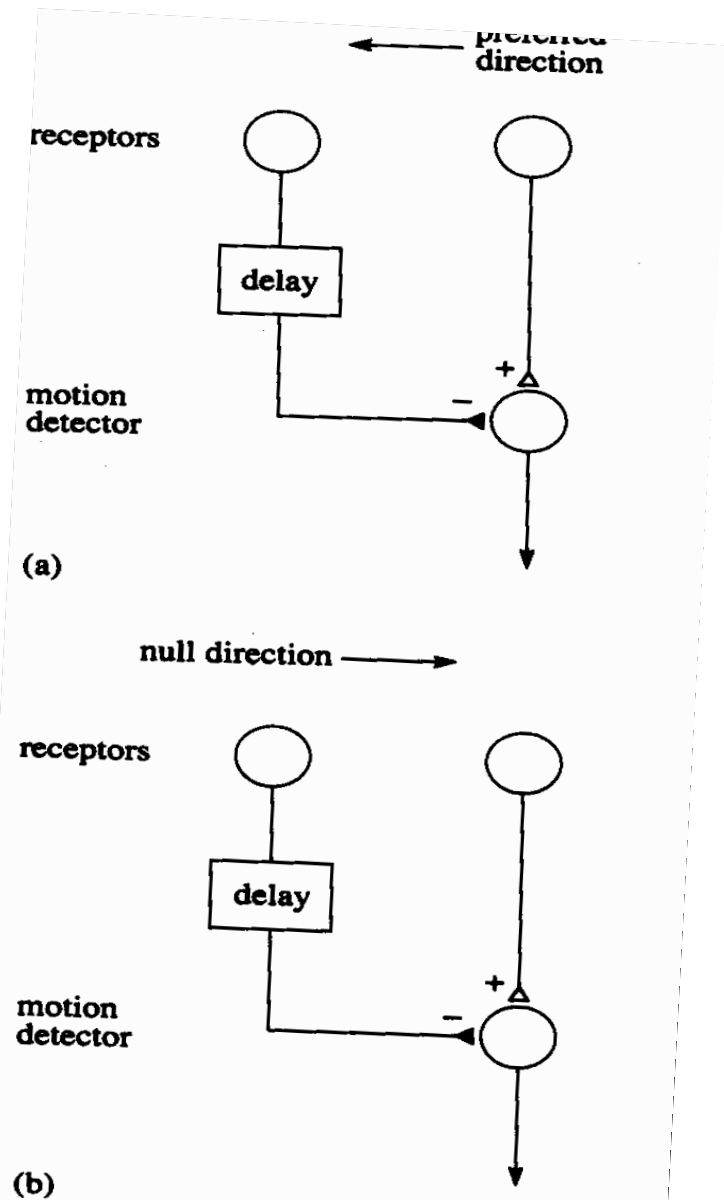


Figure 4.36 Principles of a simple retinal motion detector. See text for explanation.

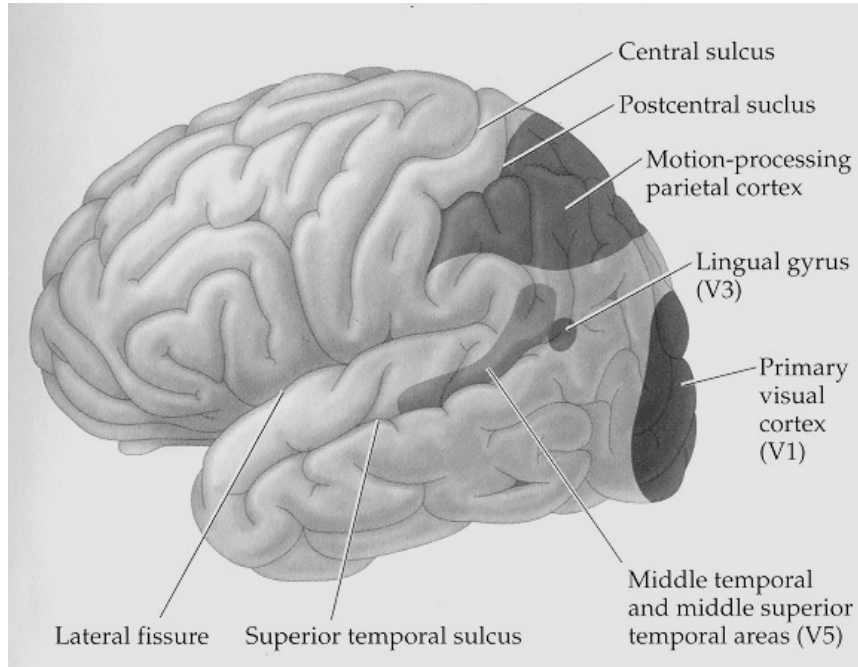
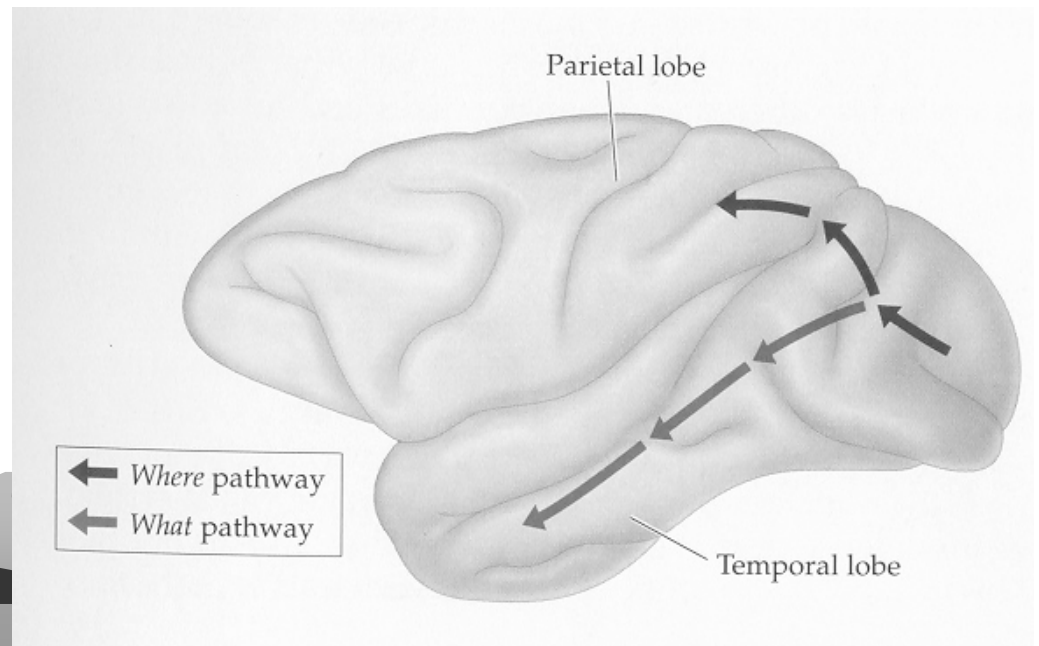
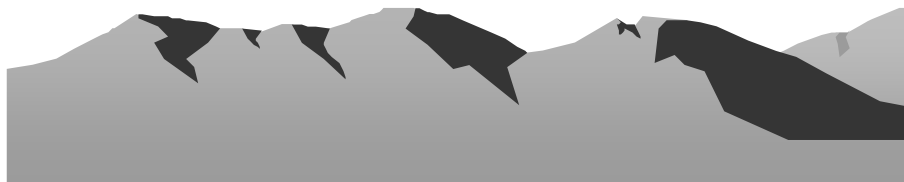
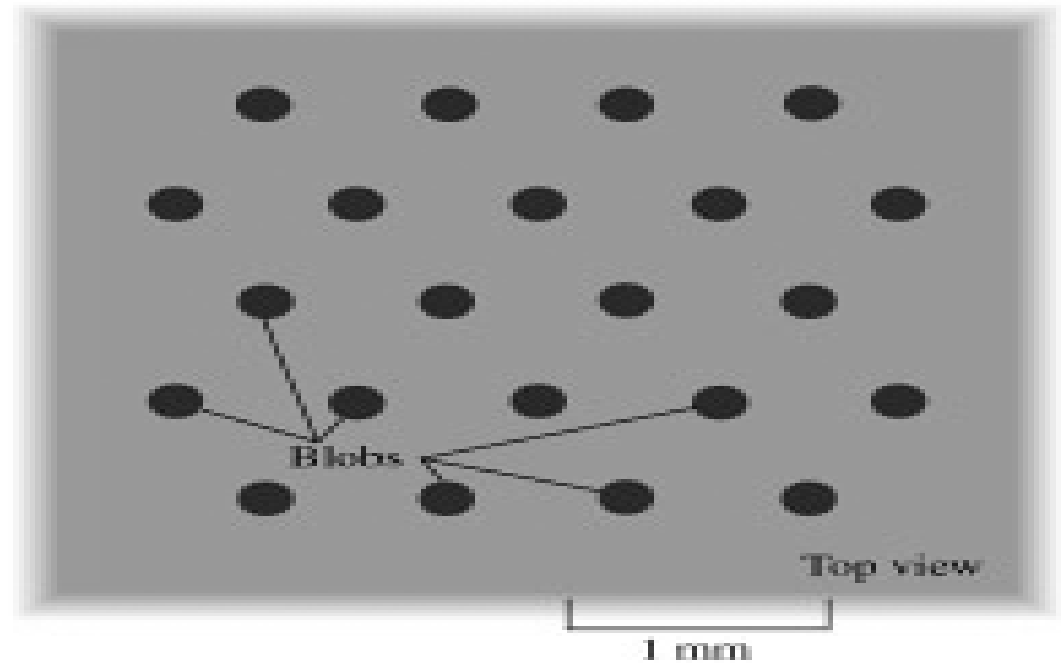
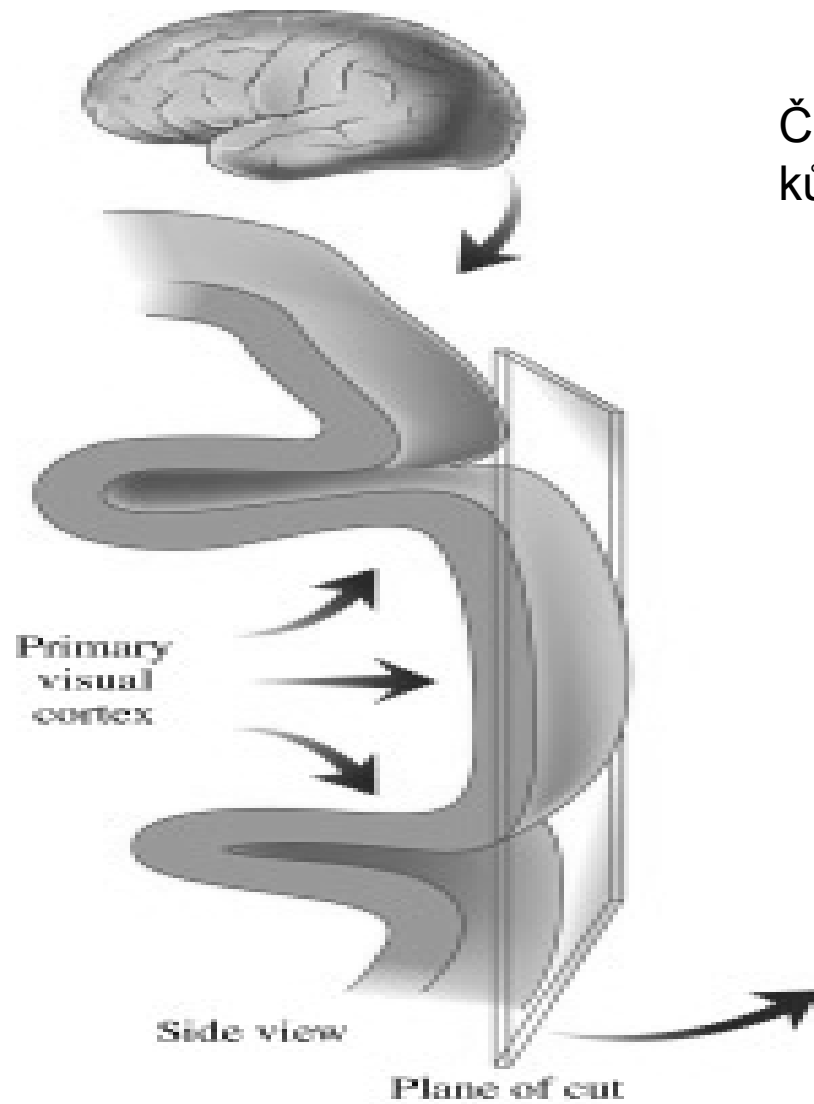
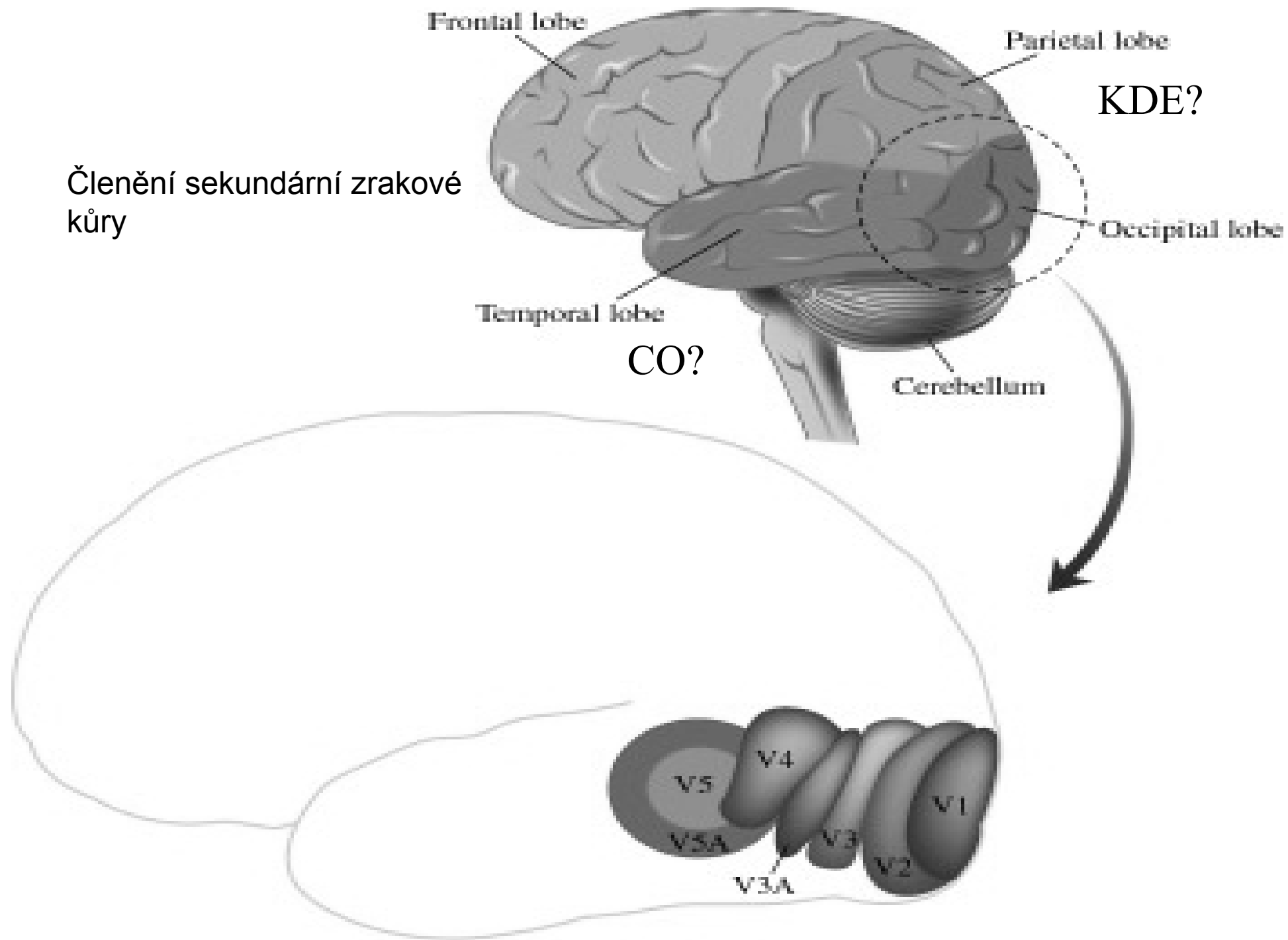


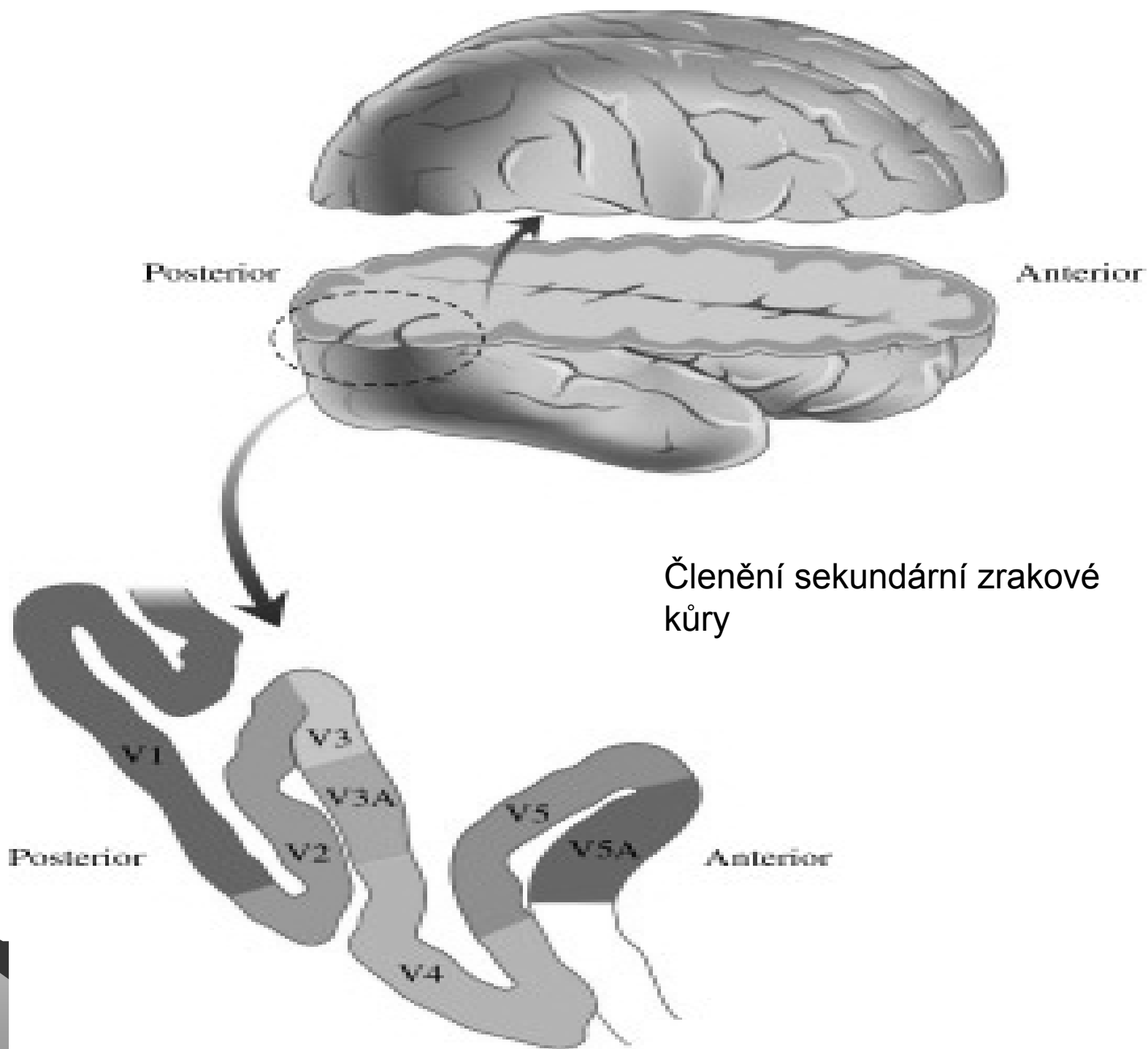
FIGURE 7.7 The middle temporal lobe and other regions of the cortex involved in motion perception.

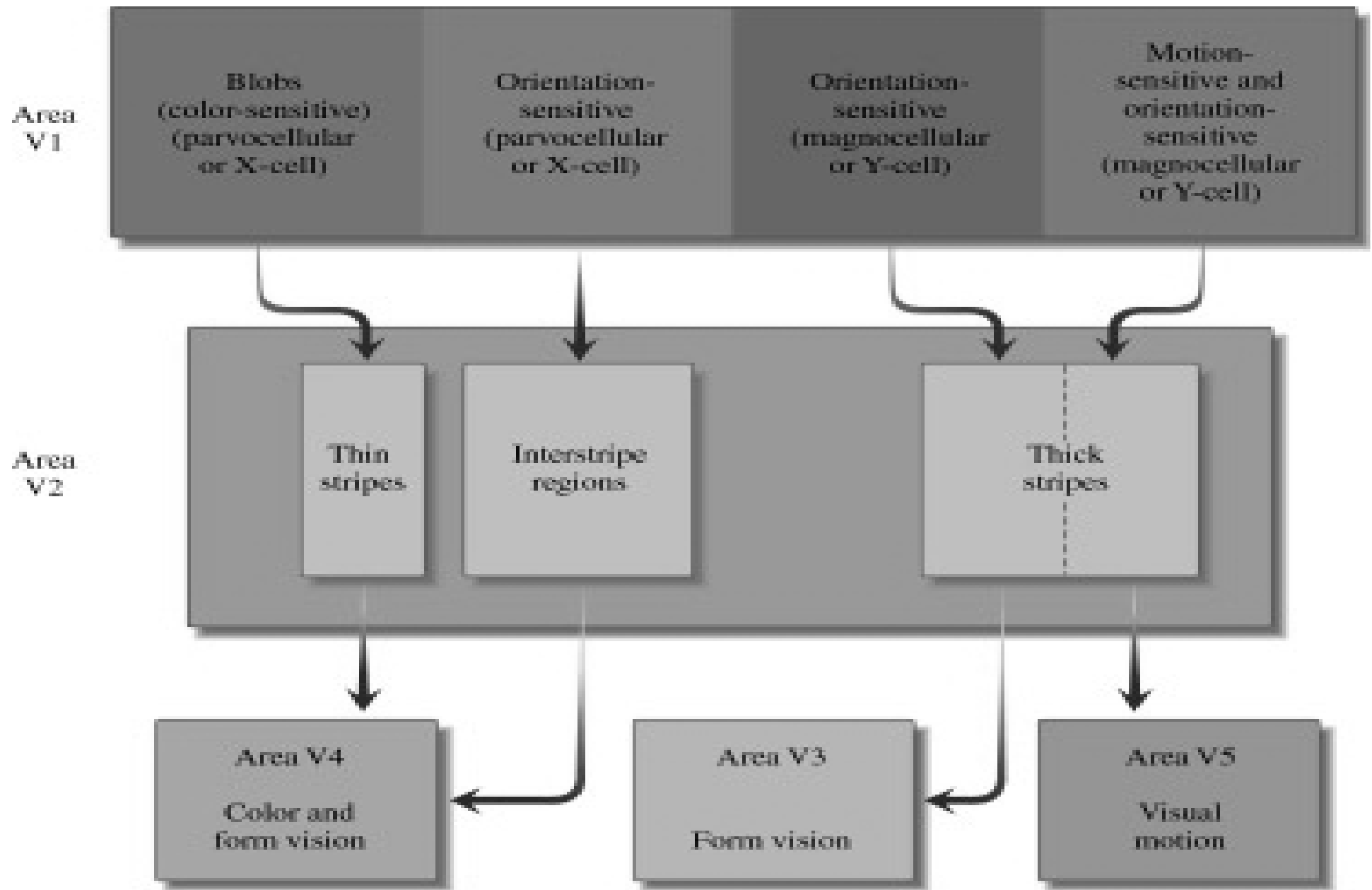


Členění primární zrakové kůry – barevné sloupce (blobs)

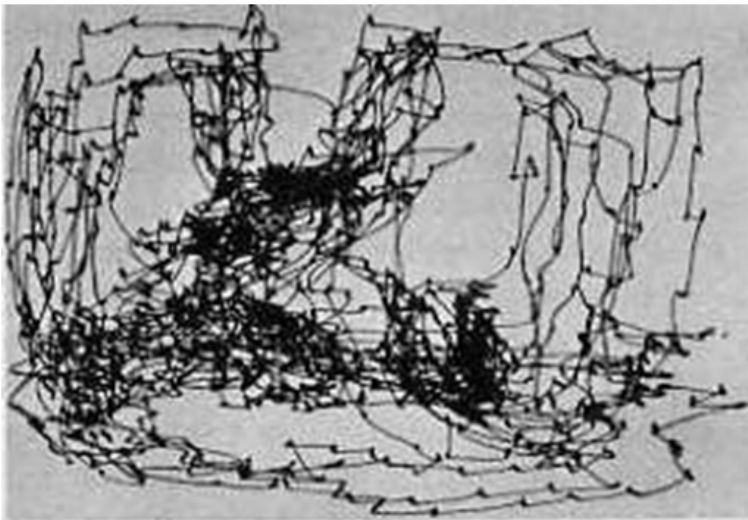
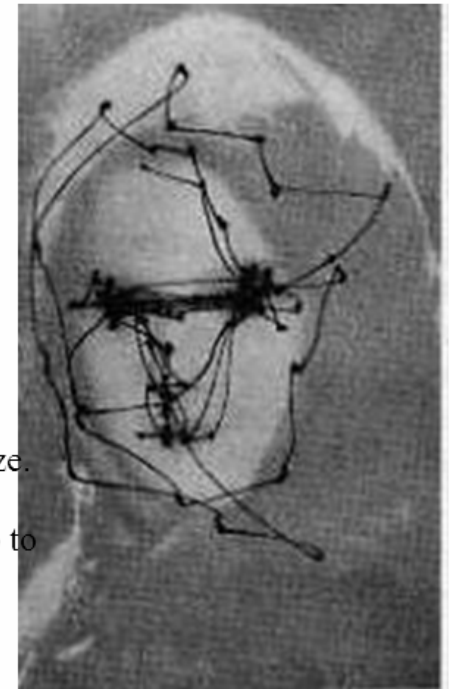








Pohyby očí – sakkadické pohyby



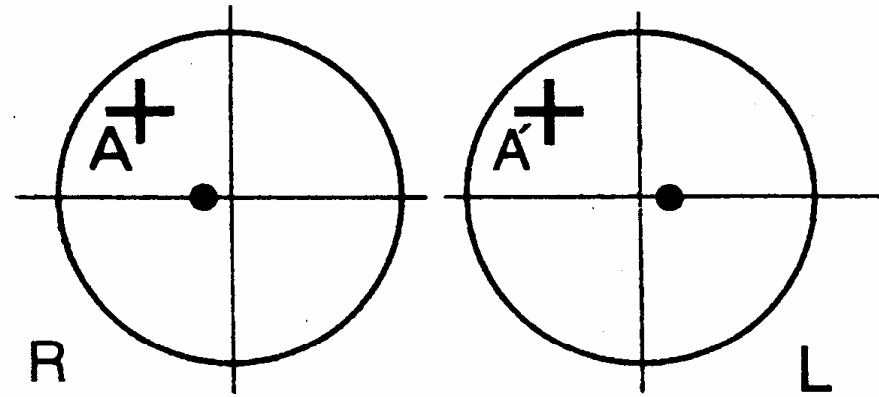
A picture is viewed by an observer while we monitor eye position and hence direction of gaze. The eyes jump, come to rest momentarily (producing a small dot on the record), then jump to a new locus of interest. It seems difficult to jump to a void - a place lacking abrupt luminance changes.

Vnímání prostoru

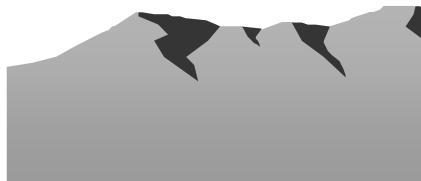
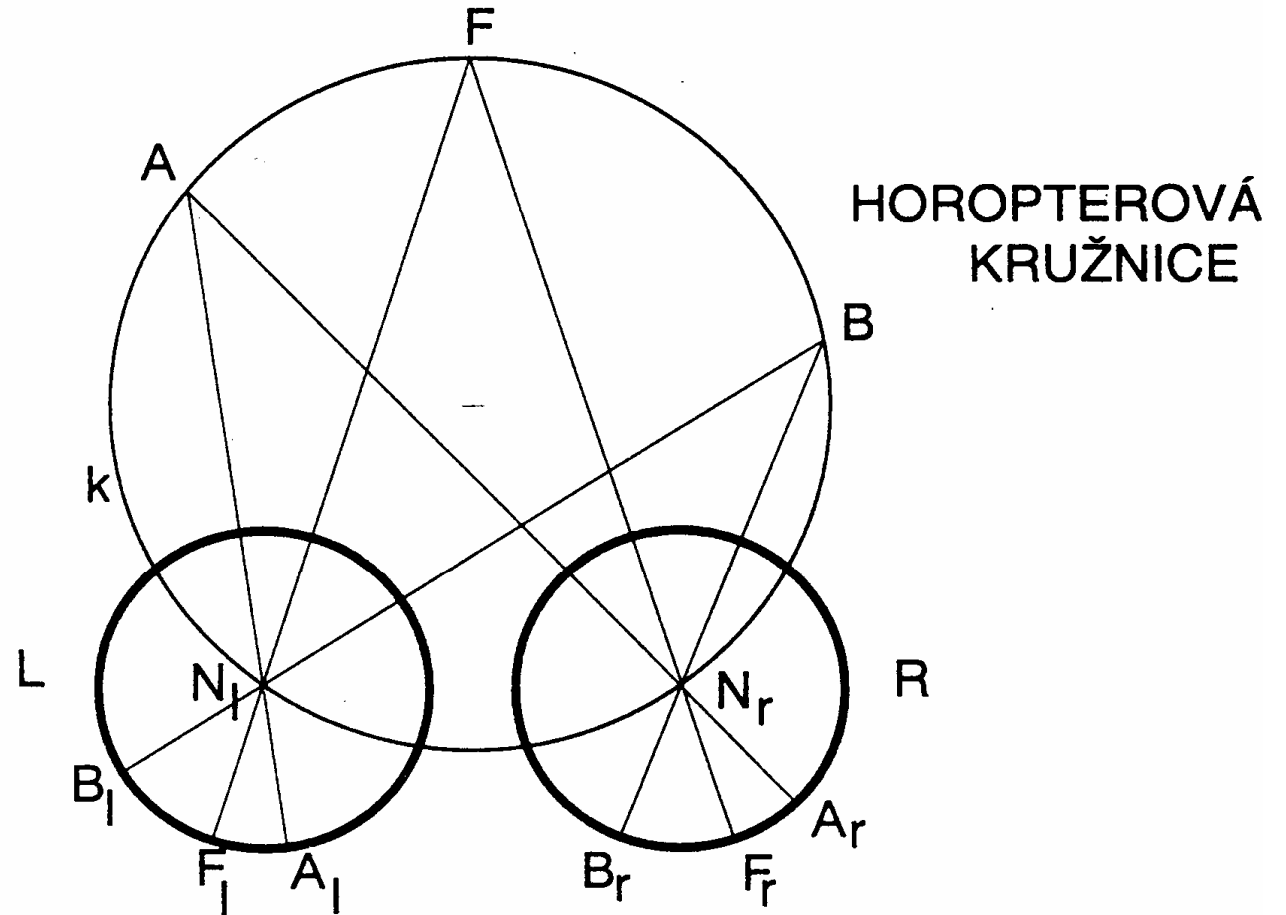


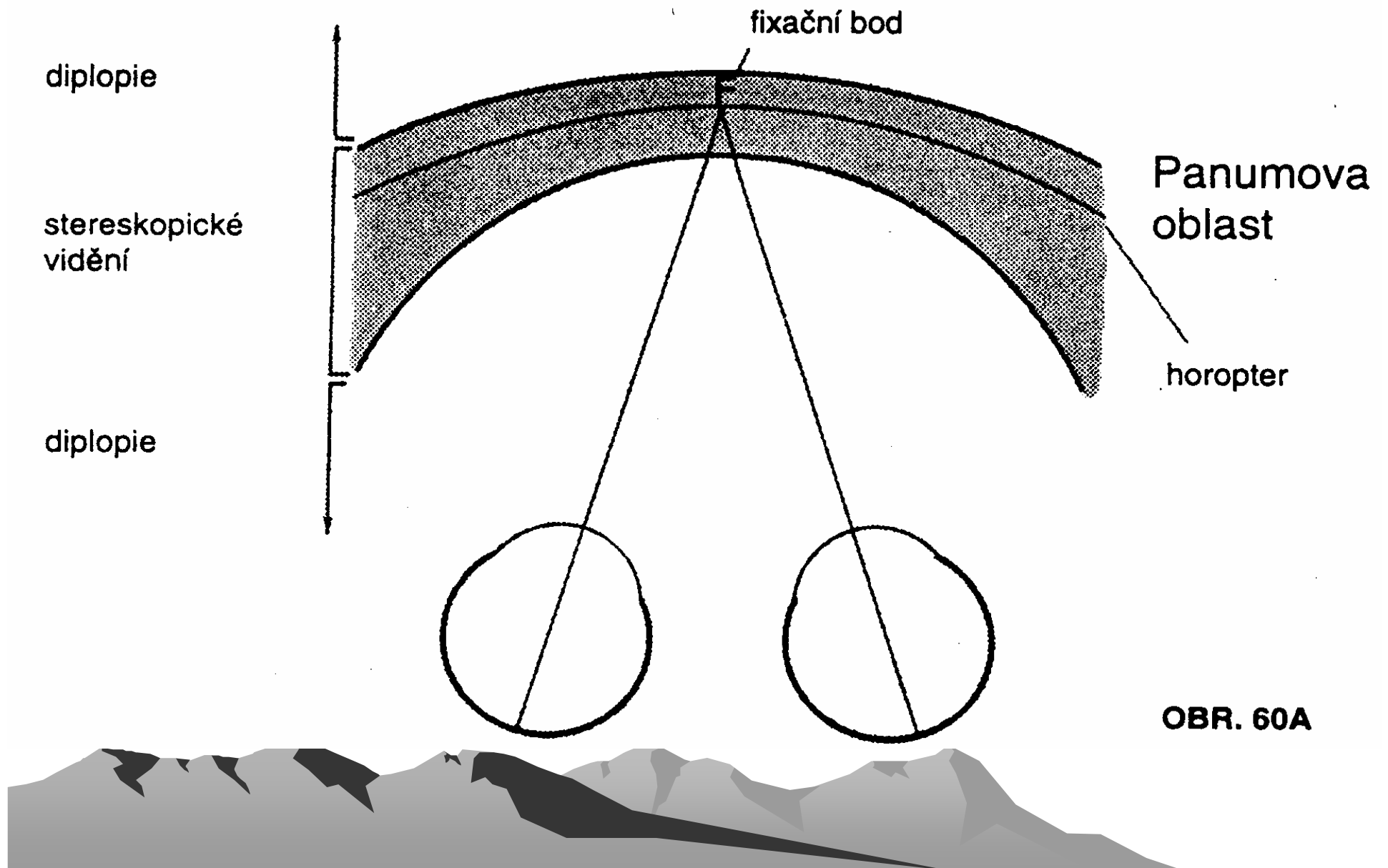
OBR. 57A

Sítnice pravého (R) a levého (L) oka. Body A a A' značí polohu identických míst. Černá skvrna znázorňuje centrální jamku.



OBR. 58A



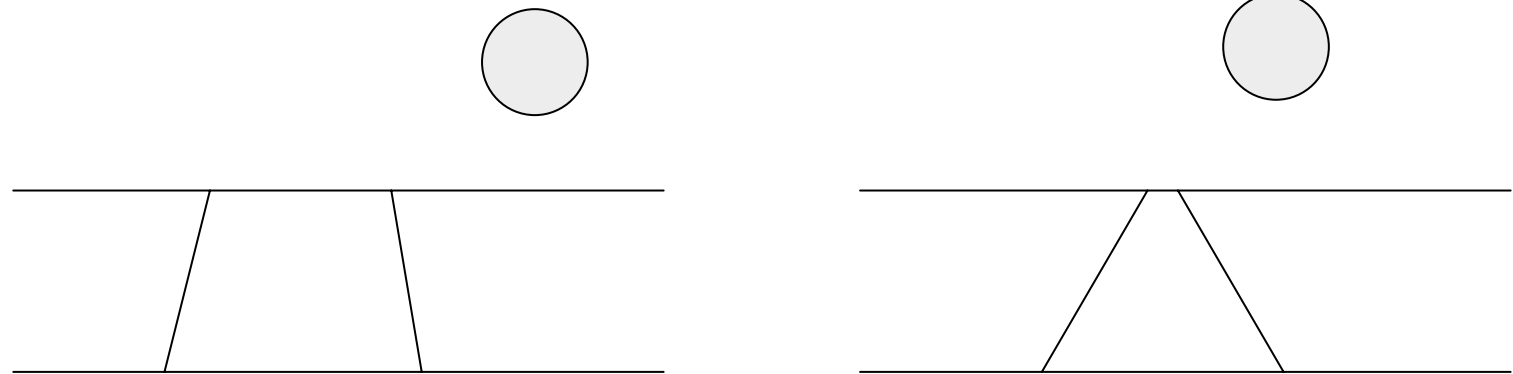


OBR. 60A

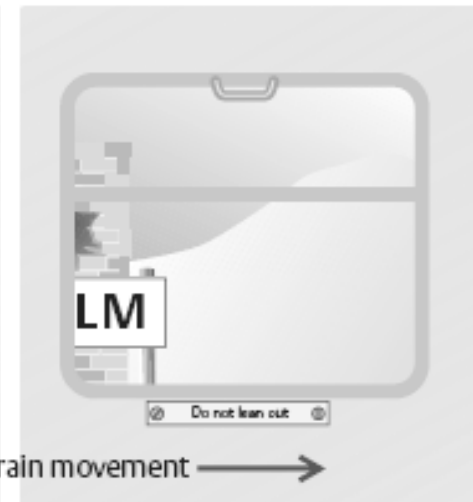
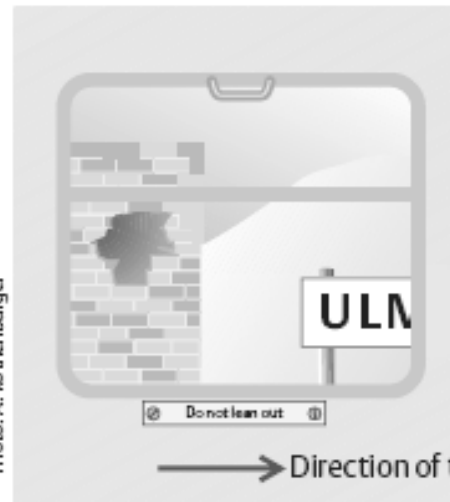
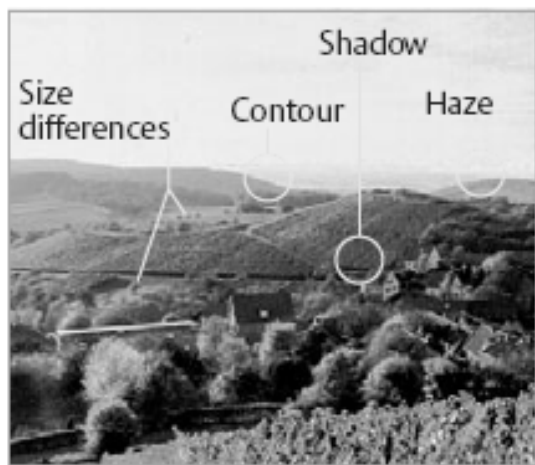
- Binokulární neurony – fúze obrazů
- Sloupečky retinální disparace



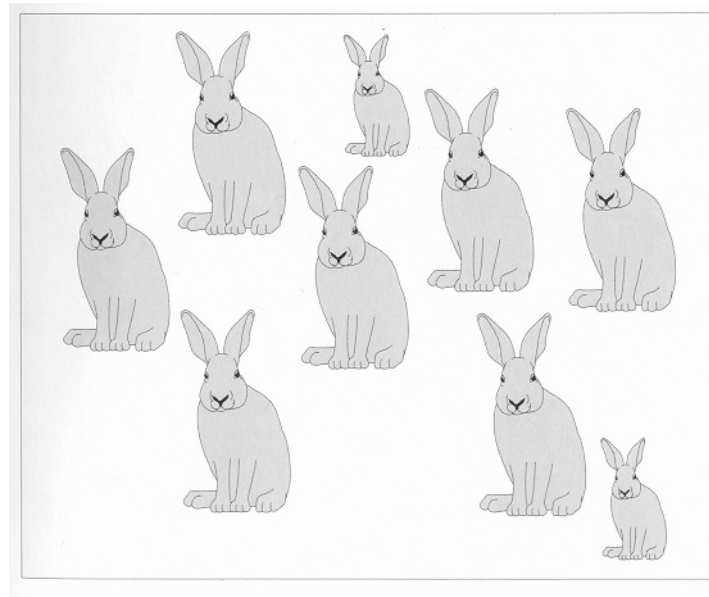
Další metody konstrukce prostoru.



D. Cues for depth vision



Jsou stejně malí, ale nevypadají...



Interpretace viděného rozeznávání objektů



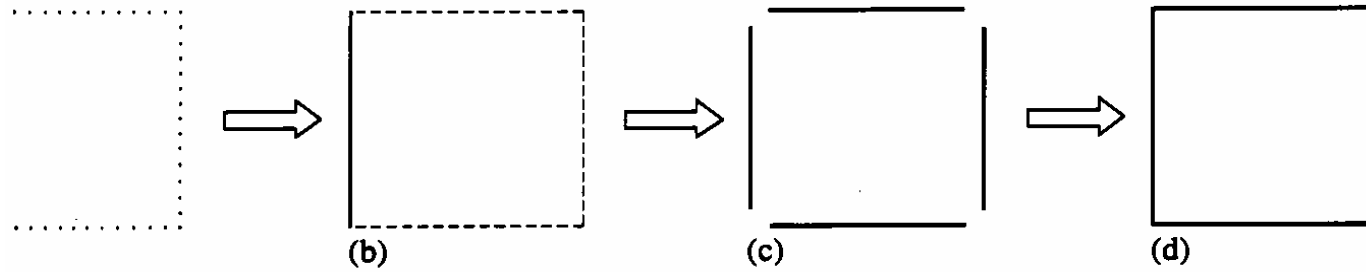


Figure 4.51 Descriptive advantages of visual grouping. See text for explanation.

Seskupování
Podle kontrastních
linií

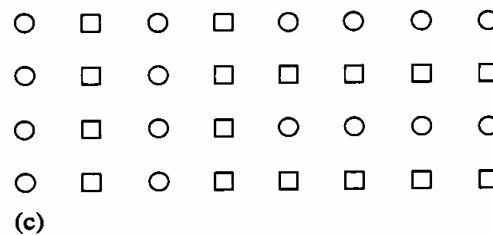
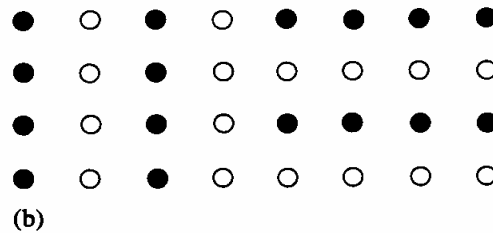
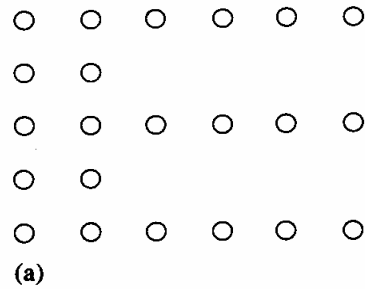
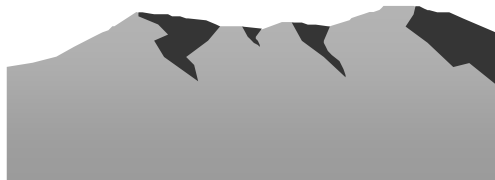


Figure 4.50 Examples of visual grouping: (a) Grouping by spacing. (b) Grouping by colour. (c) Grouping by shape.



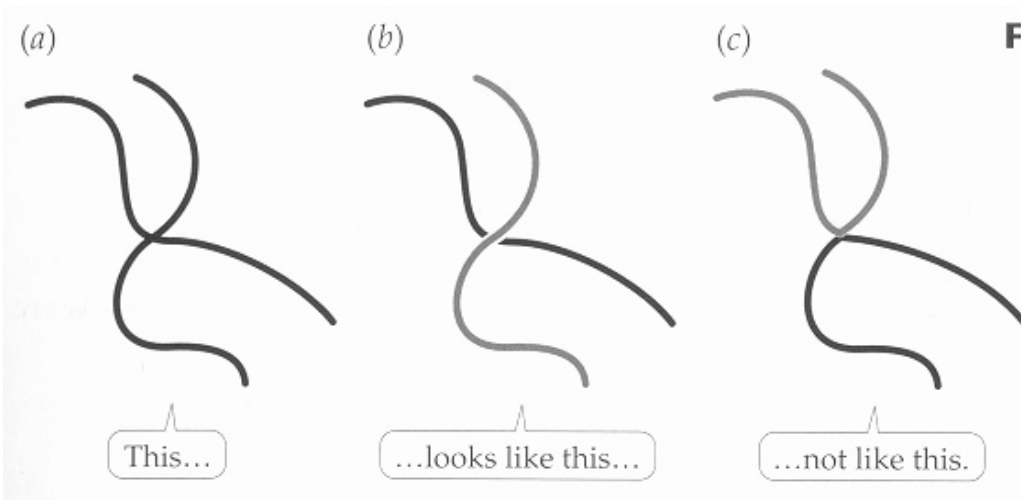
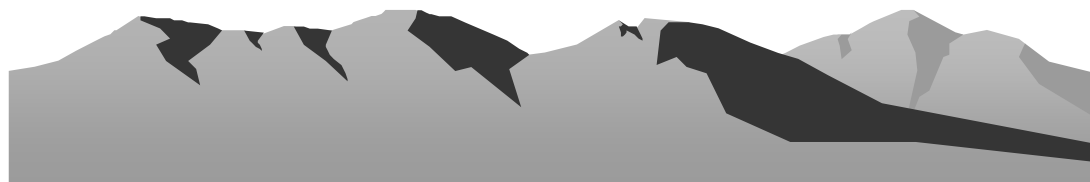
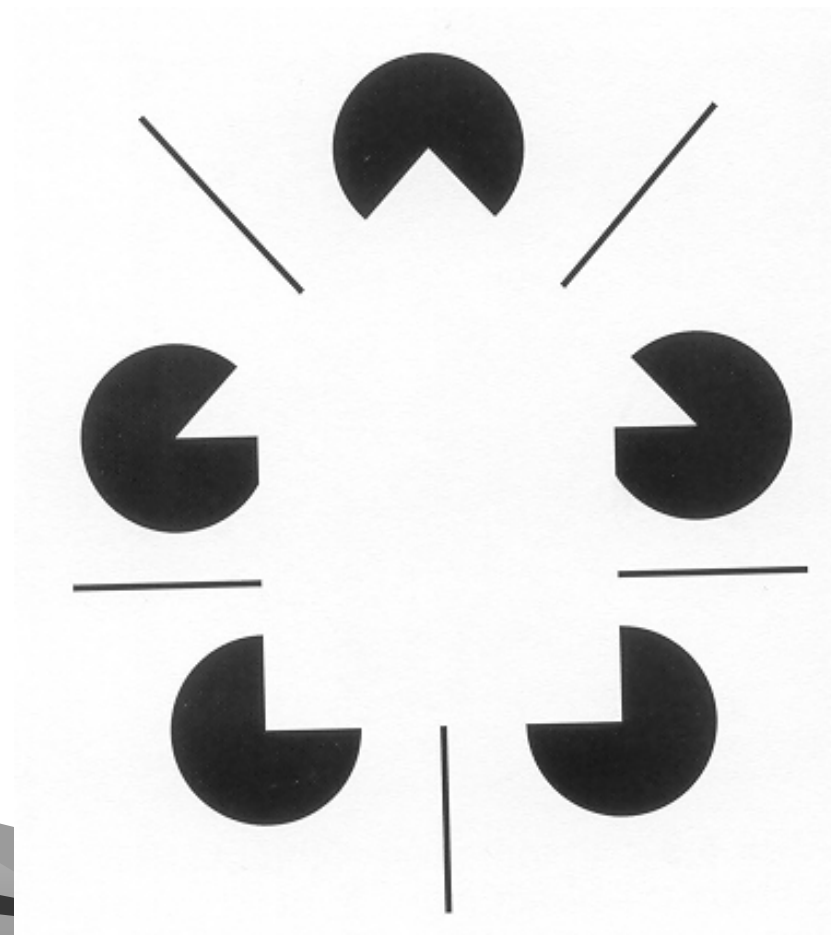
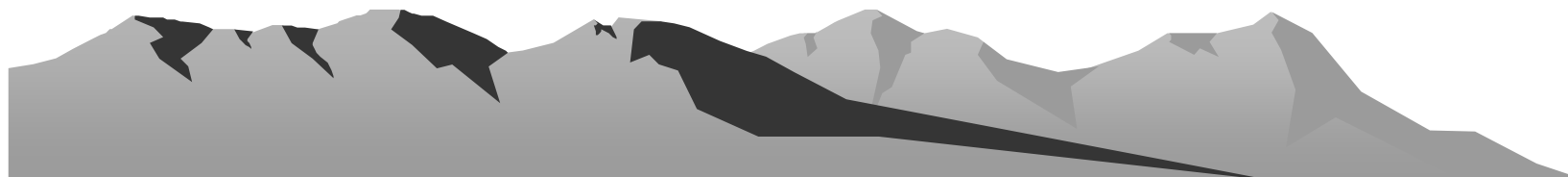
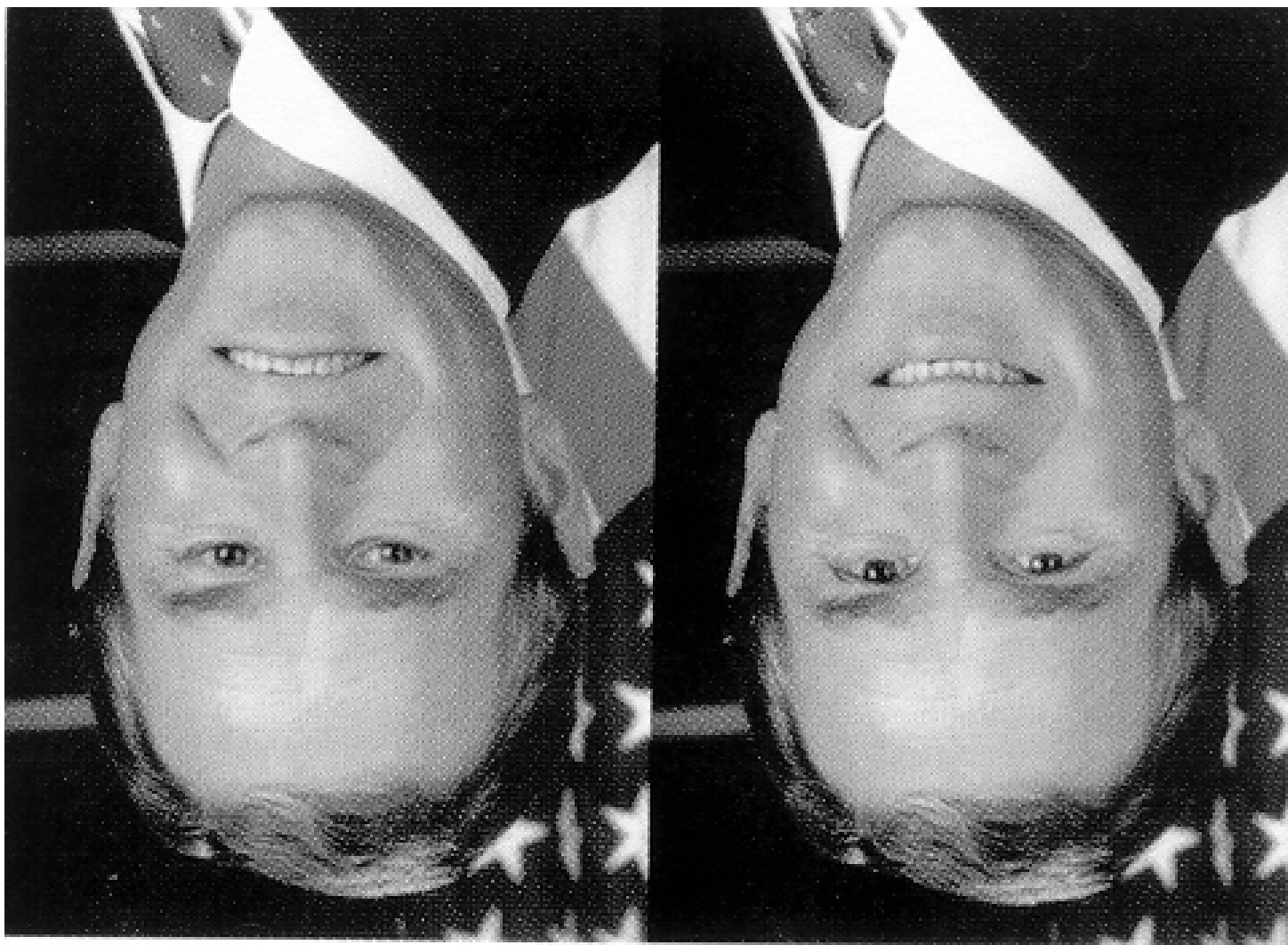


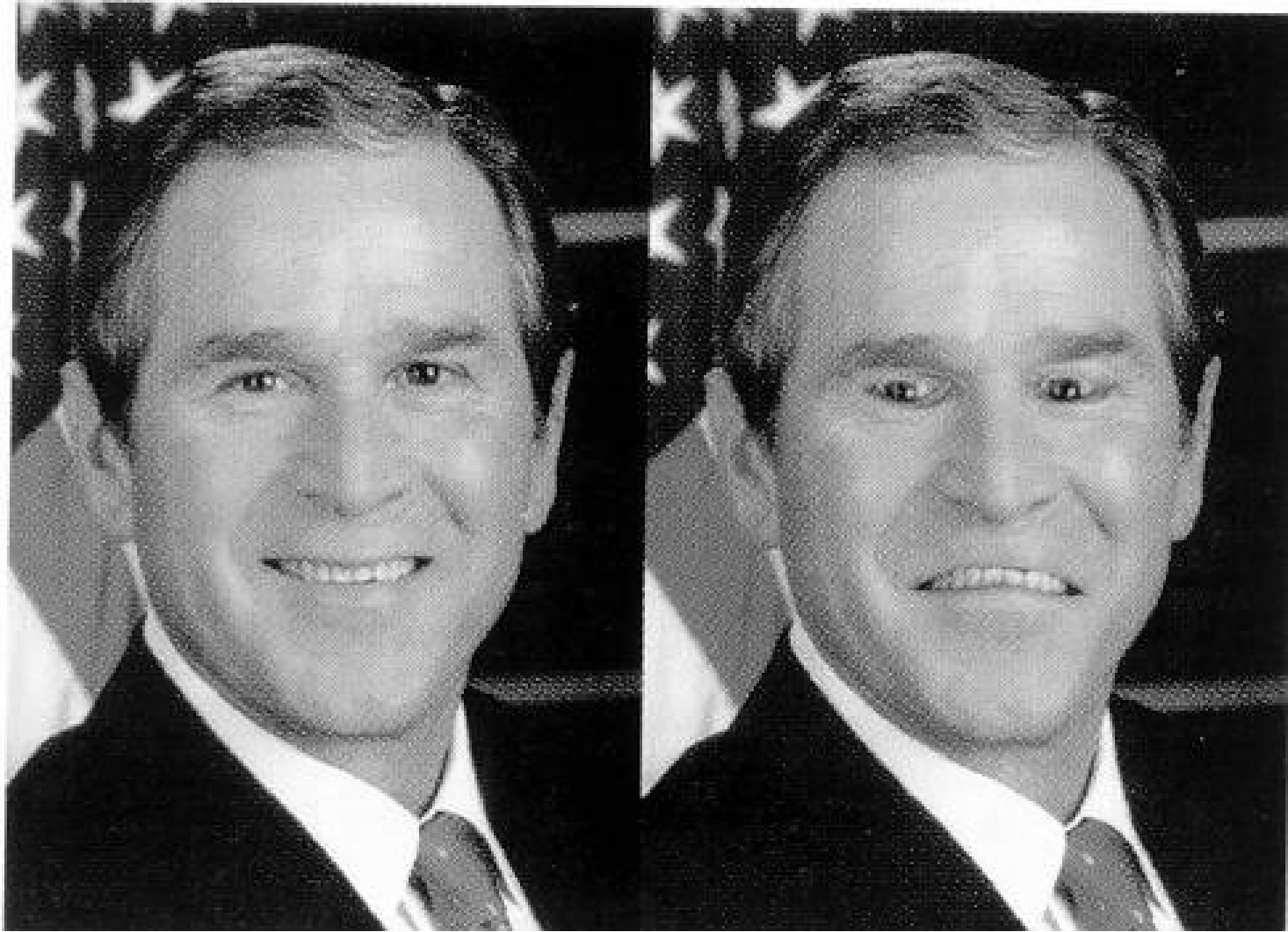
FIGURE 4.7 The Gestalt principle of good continuation.

Seskupování
 Podle kontrastních
 Linií
 Hledání hran, kontur



Orientace v prostoru nesmí být zásadní pro intepretaci





Zkušenost – rozeznáme tvar i z různých úhlů

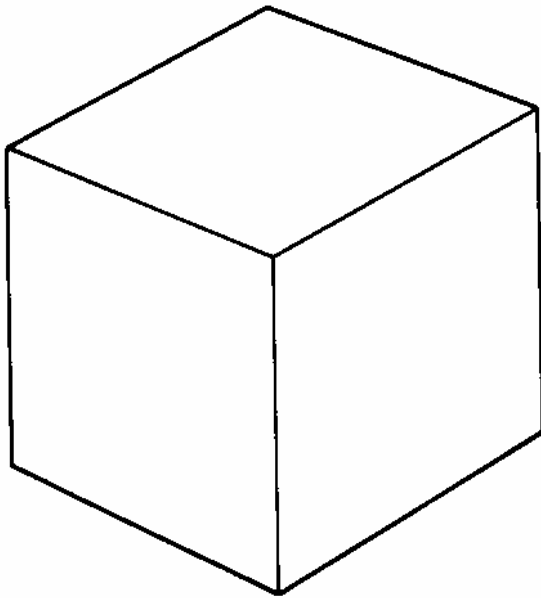
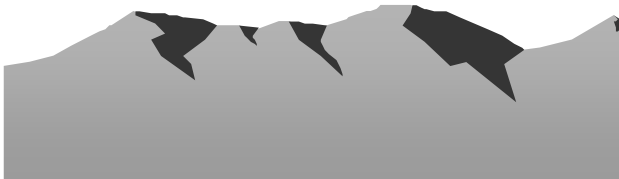


FIGURE 4.1 (a) A house. (b) Paul Cézanne's *Chateau Noir* (1902–05). (c) Even though a viewpoint shift has radically changed the retinal image, you know that this is the same house as in Figure 4.1a.



middle (midlevel) vision A loosely defined stage of visual processing come after basic features have been extracted from the image





Iluze 1

Iluze 2

Iluze 3

Zdánlivý pohyb

Jak je pohyb důležitý

Analýza biologického pohybu Únava analyzátoru pohybu



Psychofyzologie

- Poznávací procesy
 - Asociační korové oblasti
 - Parasensorické
 - Prefrontální
 - Paralimbická



Parasensorické

- Unimodální – sekundární korové oblasti jednotlivých smyslů. Léze vedou k agnosiím.
 - Zrakové:
 - Pro kresby
 - Prosopagnosie – pro tváře
 - Pro pohyb
 - Pro hloubku prostoru



Parasensorické

- Unimodální – sekundární korové oblasti jednotlivých smyslů. Léze vedou k agnosiím.
 - Sluchové:
 - Čistá slovní hluchota, ale mluvení, čtení, psaní ano
 - Pro neverbální zvuky



Parasensorické

- Unimodální – sekundární korové oblasti jednotlivých smyslů. Léze vedou k agnosiím.
 - Somatosensorické:
 - Astereognosie – neschopnost poznat hmatem



Parasensorické

- Polymodální
 - Hemineglect syndrom: ignorace vizuálních, somatosensorických, sluchových podnětů z jedné poloviny těla

Schopnost pravé hemisféry sdělovat a vnímat emocionální komponentu řeči.

Aprosodie- neschopnost: motorická, sensorická.



- deaf abstract thinking - téma



Polarizované světlo – mám nové články!!

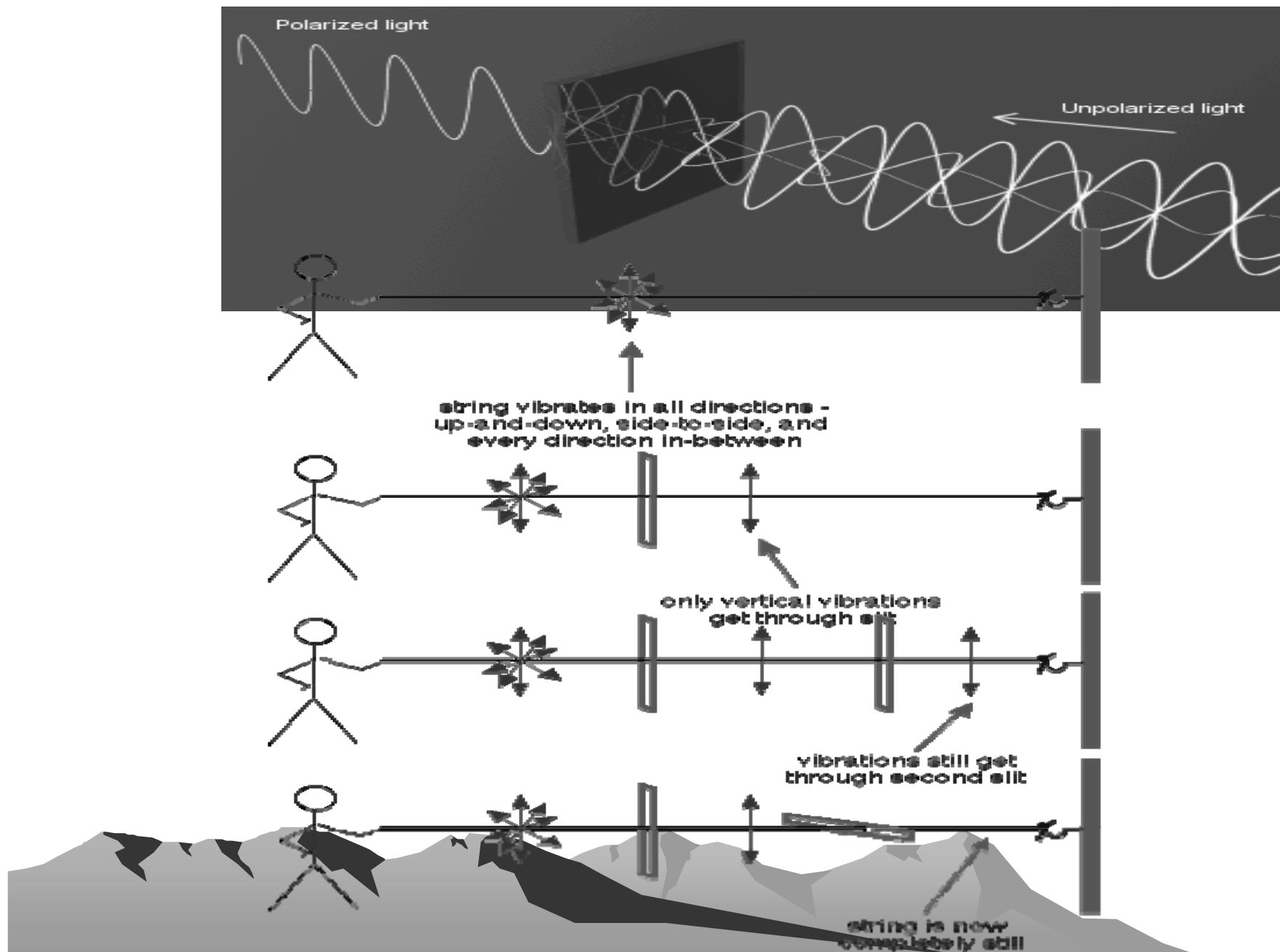


Fig. 3. Two-dimensional representations of the celestial E-vector pattern (the pattern of polarized light) depicted for two different elevations of the sun (filled circle): 25° in left figure, 60° in right figure. The orientation and size of each black bar mark the angle and degree (percentage) of polarization, respectively. The open circle indicates the zenith. The solar meridian (the line from the zenith down to the horizon) and the anti-solar meridian represent the symmetry plane of the celestial E-vector pattern. From Wehner (1994a).

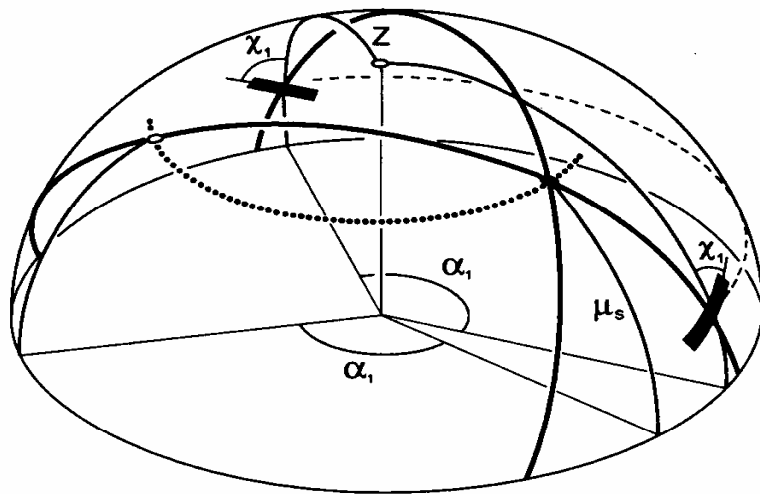
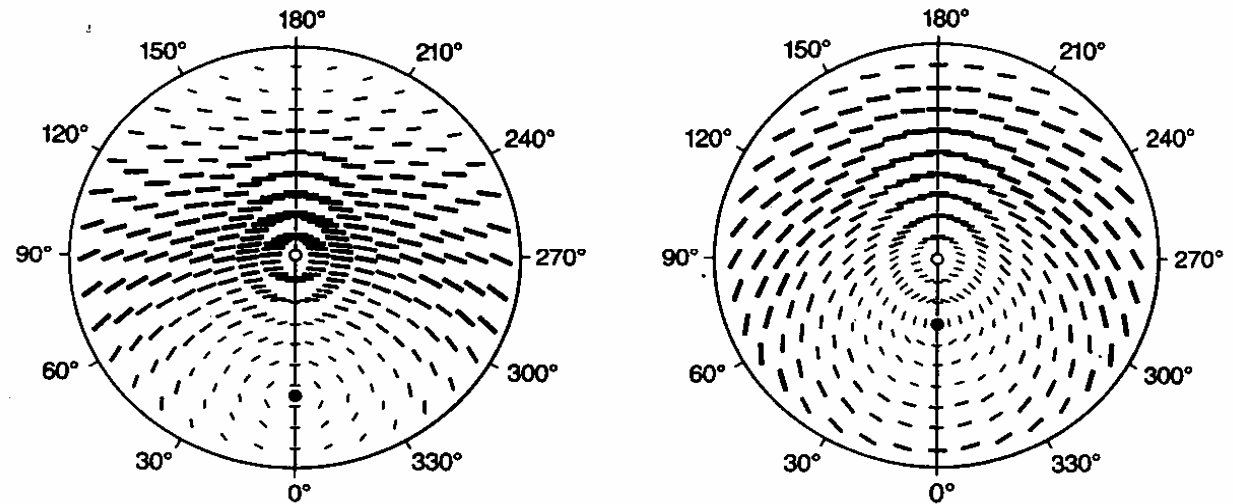
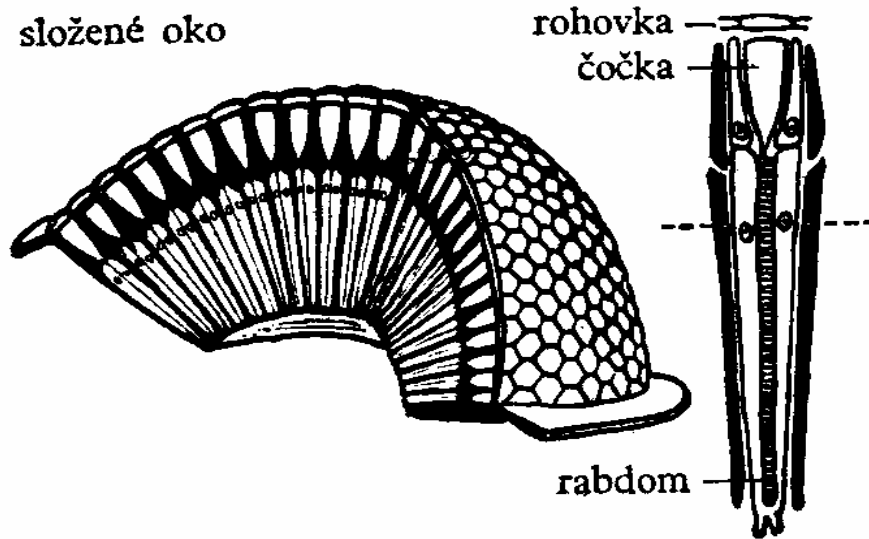


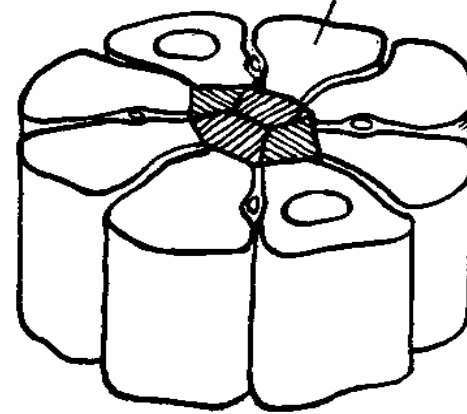
Fig. 4. Three-dimensional constructions required to infer the position of the sun – and hence the azimuthal position of the solar meridian – from at least two patches of polarized light in the sky. The black bars indicate the orientation of the E-vectors (χ) at two points in the sky. The following directives would yield an all-inclusive solution of the problem: First, determine the E-vector orientation at two points in the sky (a task not discussed here); then construct the great circles (heavy black arcs) running at right angles through the E-vectors; finally determine the position of the sun (filled circle) as the point of intersection of the two great circles. With one E-vector alone, the position of the sun cannot be determined unambiguously. If the elevation of the sun (μ_s) were known at a particular time of day, two intersection points of the great circle inclined orthogonally to χ_1 and the parallel of altitude defined by μ_s could be determined. These intersection points define the correct position of the sun (filled circle), as well as a fictive position (open circle), which is separated by the azimuthal difference α_1 from the correct one. The insect's E-vector compass does not operate this way, but is based on a set of simpler rules (see text and Fig. 5). Modified from Wehner (1981).

složené oko

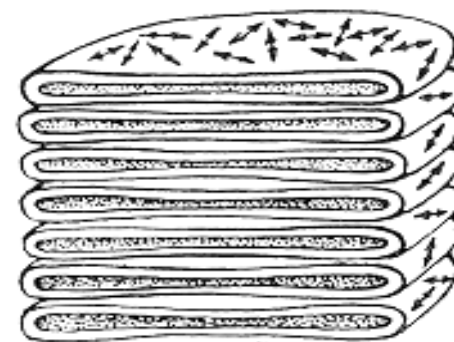
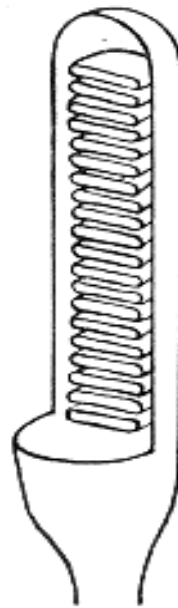
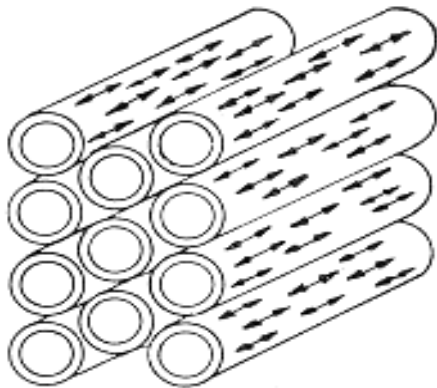
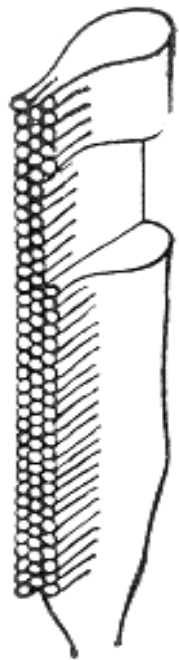


rohovka
čočka

sítnicové buňky



Složené oko hmyzu se skládá z mnoha omatidií, oddělených od sebe pigmentem. Každé omatidium má vlastní rohovku, čočku a sítnicovou tyčinku (rabdom) tvořenou osmi sítnicovými buňkami, jež přecházejí v nerv.

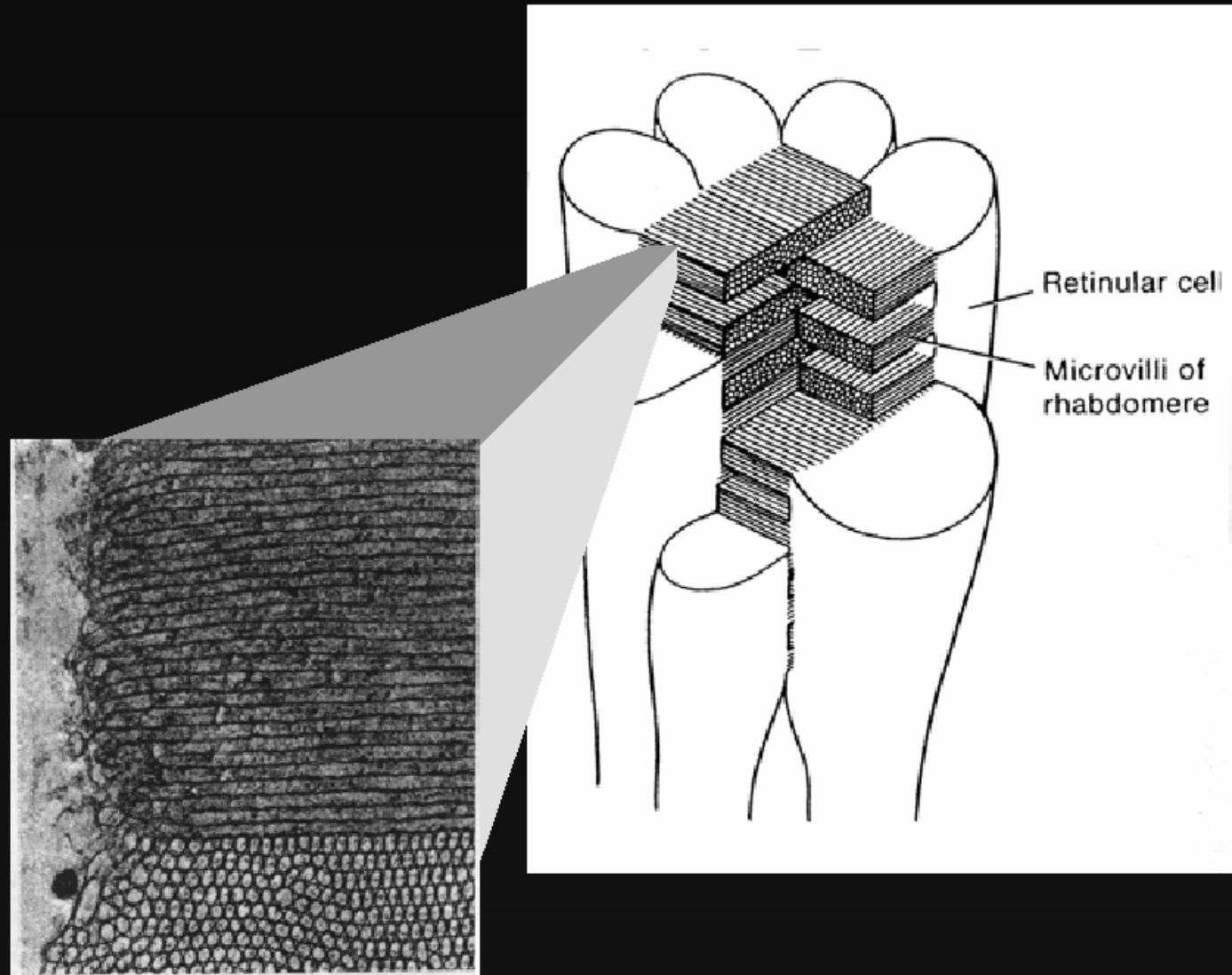


sítnicová buňka hmyzu

zraková tyčinka obratlovců

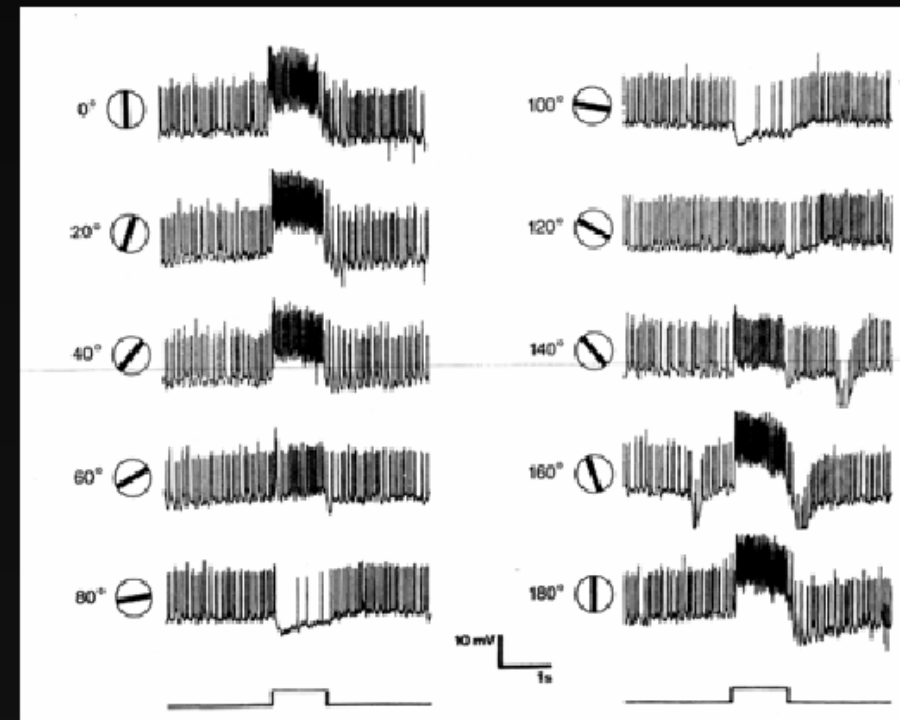
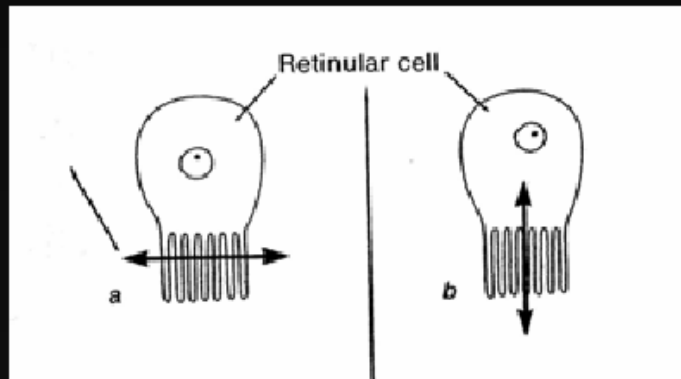
Molekuly světločivého pigmentu (rodopsinu) jsou v tyčince hmyzího oka uspořádány jedním směrem, kdežto v tyčince oka obratlovce jsou neuspořádané. Vysvětluje to rozdíl ve schopnostech obou očí rozlišovat rovinu polarizovaného světla.

Organization of retinular cells allows for detection of polarized light



Arthropod visual neurons can be sensitive to specific planes of polarized light

Cricket



(Wehner 1989)

